

الله اعلم



دانشکده مهندسی مکانیک و مکاترونیک

پایان نامه کارشناسی ارشد مهندسی تبدیل انرژی

طراحی و مدل سازی یک سیستم تولید همزمان برق و حرارت و سرما با سیستم ذخیره ساز
انرژی برای ساختمان مکانیک و عمران دانشگاه صنعتی شاهروド پردیس ۲

نگارنده: حسن گرдан اسفیانی

استاد راهنمای

مهندس احمد مددی

اساتید مشاور

دکتر محمود چهار طاقی

دکتر سید مجید هاشمیان

بهمن ۹۶

شماره:
تاریخ:
۳۵/۲۹۴ / ۱۷۳
۰۹/۱۱/۲۸

با سمه تعالی



مدیریت تحصیلات تکمیلی

فرم شماره (۳) صورتجلسه نهایی دفاع از پایان نامه دوره کارشناسی ارشد

با نام و باد خداوند متعال، ارزیابی جلسه دفاع از پایان نامه کارشناسی ارشد خانم / آقای حسن گوдан اسفانی با شماره دانشجویی ۹۴۱۵۱۸۴ رشته مکانیک گرایش تبدیل انرژی تحت عنوان طراحی و مدل سازی یک سیستم تولید همزمان برق و حرارت و سرما با سیستم ذخیره ساز انرژی برای ساختمان مکانیک و عمران دانشگاه صنعتی شهرورد پردیس ۲ که در تاریخ ۹۶/۱۱/۰۹ با حضور هیات محترم داوران در دانشگاه صنعتی شهرورد برگزار گردید به شرح ذیل اعلام می گردد:

قبول (با درجه: <input checked="" type="checkbox"/> خوب <input type="checkbox"/> نسبتی <input type="checkbox"/> محدود)		نوع تحقیق: <input type="checkbox"/> نظری <input checked="" type="checkbox"/> عملی	
امضاء	مرتبه علمی	نام و نام خانوادگی	عضو هیأت داوران
	مریبی	مهندس احمد مددی	۱- استادرهاینمای اول
	استاد بار	دکتر محمود چهارطاقی	۲- استادرهاینمای دوم
	استاد بار	دکتر سید مجید هاشمیان	۳- استاد مشاور
	استاد بار	دکتر علی عباس نژاد	۴- نماینده تحصیلات تکمیلی
	استاد بار	دکتر محمد حسین احمدی	۵- استاد ممتحن اول
	استاد بار	دکتر محمد ضامن	۶- استاد ممتحن دوم

نام و نام خانوادگی رئیس دانشکده: دکтор محمد محسن شاه محدود

تاریخ و امضاء و مهر دانشکده:

تصریه: در صورتی که کسی محدود شود حداقل یکبار دیگر (در مدت مجاز تحصل) می تواند از پایان نامه خود دفاع نماید (دفاع

محدود نباید زودتر از ۴ ماه برگزار شود).



تشکر و قدردانی

با سپاس از سه وجود مقدس:

آنان که ناتوان شدند تا ما به توانایی برسیم...

موهایشان سپید شد تا ماروسفید شویم...

و عاشقانه سوختند تا گرمابخش وجود ما و روشنگر راهمان باشند...

پدرانمان

مادرانمان

استادانمان

با تشکر از زحمات استادان عزیزم جناب آقای مهندس مددی، دکتر چهارطاقی، دکتر هاشمیان، دکتر احمدی، دکتر ضامن، دکتر عباس نژاد و همچنین دوستان و کسانی که اینجانب را در این پژوهش یاری کردند.

تعهد نامه

اینجانب حسن گردان اسفیانی دانشجوی دوره کارشناسی ارشد رشته مهندسی تبدیل انرژی دانشگاه صنعتی شاهرود نویسنده پایان نامه "طراحی و مدل سازی یک سیستم تولید همزمان برق و حرارت و سرما با سیستم ذخیره ساز انرژی برای ساختمان مکانیک و عمران دانشگاه صنعتی شاهرود پردیس ۲" تحت راهنمایی مهندس مددی متعهد می شوم.

تحقیقات در این پایان نامه توسط اینجانب انجام شده است و از صحت و اصالت برخوردار است.

در استفاده از نتایج پژوهش‌های محققان دیگر به مرجع مورد استفاده استناد شده است.

مطلوب مندرج در پایان نامه تاکنون توسط خود یا فرد دیگری برای دریافت هیچ نوع مدرک یا امتیازی در هیچ جا ارائه نشده است.

کلیه حقوق معنوی این اثر متعلق به دانشگاه صنعتی شاهرود می باشد و مقالات مستخرج با نام « دانشگاه صنعتی شاهرود » و یا « University of Technology Shahrood » به چاپ خواهد رسید.

حقوق معنوی تمام افرادی که در به دست آمدن نتایج اصلی پایان نامه تأثیرگذار بوده اند در مقالات مستخرج از پایان نامه رعایت می گردد.

در کلیه مراحل انجام این پایان نامه ، در مواردی که از موجود زنده (یا بافت‌های آنها) استفاده شده است ضوابط و اصول اخلاقی رعایت شده است.

در کلیه مراحل انجام این پایان نامه، در مواردی که به حوزه اطلاعات شخصی افراد دسترسی یافته یا استفاده شده است اصل رازداری ، ضوابط و اصول اخلاق انسانی رعایت شده است.

تاریخ

امضا دانشجو

مالکیت نتایج و حق نشر

کلیه حقوق معنوی این اثر و محصولات آن (مقالات مستخرج، کتاب، برنامه های رایانه ای، نرم افزار ها و تجهیزات ساخته شده است) متعلق به دانشگاه صنعتی شاهرود می باشد. این مطلب باید به نحو مقتضی در تولیدات علمی مربوطه ذکر شود. استفاده از اطلاعات و نتایج موجود در پایان نامه بدون ذکر مرجع مجاز نمی باشد.

چکیده

با توجه به افزایش تقاضا روز افزون انرژی، و همچنین افزایش آلودگی زیست محیطی در دنیا استفاده از سیستم های تهویه مطبوع مناسب ضروری است. یکی از نگرانی های قرن ۲۱ میزان محدود منابع سوخت فسیلی است. به علاوه مشکلاتی که این سوختها از لحاظ آلودگی محیط زیست ایجاد می کنند نیاز به یافتن راه حل هایی جهت مدیریت مصرف اینگونه منابع را دوچندان می کند. یکی از مهمترین راهکارهای بهینه سازی مصرف انرژی، با هدف افزایش بازده تولید انرژی، استفاده از سیستم های تولید همزمان برق، حرارت و سرما می باشد.

این تحقیق در دانشگاه صنعتی شاهرود صورت گرفته است و هدف، طراحی و مدل سازی یک سیستم تولید همزمان برق و حرارت و سرما با سیستم ذخیره ساز انرژی برای ساختمان دانشگاه می باشد، با طراحی سیستم ذخیره ساز علاوه بر بهبود عملکرد سیستم، مازاد انرژی تولیدی را ذخیره کرده و در موقع لزوم از انرژی ذخیره شده استفاده شود.

برای مدل سازی و طراحی تجهیزات مختلف سیستم از نرم افزار Aspen B-JAC EES استفاده شده است. ظرفیت مخزن ذخیره سازی در ۳ روش مختلف شامل طراحی با بار کلی، بار جزئی و طراحی با افزایش ظرفیت چیلر، صورت گرفت. همچنین یک سیکل ارگانیک رانکین پیشنهاد گردید و مدل سازی عملکرد آن انجام پذیرفت و در نهایت کل سیستم در ۴ بخش مختلف از نظر اقتصادی تحلیل و سیستم از نظر بازگشت سرمایه (PB)، نرخ بازگشت سرمایه (IRR) و ارزش حال خالص در آمد ها (NPV) بررسی شد.

نتایج نشان می دهد که طراحی سیستم ذخیره با بار جزئی، دارای ظرفیت حجم ذخیره سازی کمتر و همچنین نیاز به چیلر سرمایش کوچکتر تا ۲۰۰ تن تبرید است و این سیستم از لحاظ طراحی سیستم ذخیره بهتر از دو سیستم دیگر است.

با توجه به بار حرارتی مورد نیاز ساختمان، که با استفاده از دو مبدل حرارتی از انرژی اتلافی حاصل از ژاکت و گاز های حاصل از احتراق موتور تأمین شد و مقدار آن ۱۴۹۰ کیلو وات محاسبه شد، توان الکتریکی ۱۲۵۳ کیلو وات و توان سرمایش چیلر جذبی ۲۵۰ تن تبرید است. راندمان سیستم تولید هم زمان برق، حرارت و سرما حدود ۸۵ درصد محاسبه شد و راندمان سیکل ارگانیک رانکین با مبرد R141B در نهایت ۲۴ درصد بدست آمد.

سیستم در ۴ بخش که شامل سیستم تولید هم زمان سه گانه با ذخیره ساز کلی و سیکل ارگانیک رانکین، ذخیره ساز جزئی، بدون سیستم ذخیره ساز با ساعت کارکرد یکسان و سیستم تولید هم زمان سه گانه با ساعت کارکرد معقول در سال مورد ارزیابی اقتصادی قرار گرفت.

سیستم برای ۲۰ سال محاسبه شد و نتایج نشان می دهد که سیستم های ذخیره ساز با آب سرد نسبت به سیستم های تولید هم زمان سه گانه با ساعت کارکرد یکسان، زمان بازگشت سرمایه بیشتری داشته و سیستم های تولید هم زمان سه گانه بدون سیستم ذخیره ساز توجیه اقتصادی بهتری دارند. در بخش بعدی با ساعت کارکرد معقول برای سیستم آموزشی، مشخص شد که سیستم تولید هم زمان سه گانه با ذخیره ساز جزئی، دارای توجیه اقتصادی بهتر از سایر سیستم های دیگر حتی تولید هم زمان سه گانه بدون سیستم ذخیره ساز می باشد.

کلمات کلیدی: سیستم تولید هم زمان، سیستم ذخیره ساز، توجیه اقتصادی

فهرست

۱	فصل اول مقدمه
۲	۱-۱ مقدمه
۵	۱-۲ مقدمه ای بر سیستم های تولید زمان
۶	۱-۲-۱ مقایسه سیستم های سنتی و سیستم های تولید هم زمان
۶	۱-۲-۲ مزایای سیستم های تولید همزمان
۸	۱-۳-۲-۱ تجهیزات و اجزاء سیستمهای تولید همزمان سه گانه
۸	۱-۳-۲-۱-۱ محرک های اولیه
۹	۱-۳-۲-۱-۱ توربین گاز
۱۰	۱-۳-۲-۱-۲ توربین های بخار
۱۱	۱-۳-۲-۱-۳ موتورهای رفت و برگشتی
۱۳	۱-۳-۱-۳-۲-۱ موتورهای صنعتی
۱۴	۱-۳-۱-۲-۱ موتور دیزل
۱۴	۱-۳-۱-۲-۱-۵ موتور گازی
۱۵	۱-۳-۱-۲-۱-۶ موتور استرلینگ
۱۷	۱-۳-۲-۱-۲ تجهیزات الکتریکی
۱۷	۱-۳-۲-۱-۱ ژنراتورها
۱۸	۱-۳-۲-۱-۳ تجهیزات بازیابی حرارت
۱۹	۱-۳-۲-۱-۴ چیلهای جذبی
۲۰	۱-۳-۲-۱-۵ چیلهای تراکمی
۲۱	۱-۳-۲-۱-۳ مقدمه ای بر سیستم های ذخیره سازی
۲۲	۱-۳-۱-۳-۱ تاریخچه
۲۳	۱-۳-۱-۳-۱-۲ موارد کاربرد
۲۴	۱-۳-۱-۳-۱-۳ روش های ذخیره سازی
۲۵	۱-۳-۱-۳-۱-۴ ماده ذخیره کننده
۲۵	۱-۴-۳-۱-۱ آب سرد
۲۶	۱-۴-۳-۱-۲ یخ
۲۶	۱-۴-۳-۱-۳-۴ ذخیره سازی انرژی در مواد دارای فاز متغیر

۱-۳-۵ طبقه بندی مواد دارای تغییر فاز	۲۷
۱-۳-۶ تکنولوژی های ذخیره سازی	۲۷
۱-۳-۷ ذخیره کننده آب سرد	۲۷
۱-۳-۸ تولید و انباشت کننده یخ	۳۰
۱-۳-۹ تکنیک های ذخیره سازی	۳۰
۱-۳-۱۰ سیستم های ذخیره سازی کامل	۳۰
۱-۳-۱۱ سیستم های ذخیره ساز جزئی	۳۱
۱-۳-۱۲ سیستم های محدود کننده تقاضا	۳۲
۱-۴-۱ سیکل ارگانیک رانکین	۳۲
۱-۴-۲ مقدمه	۳۲
۱-۴-۳ اجزای سیکل ارگانیک رانکین	۳۲
۱-۴-۴ جمع بندی	۳۳
فصل دوم مروری بر کارهای پیشین	۳۵
۱-۲-۱ مقدمه	۳۶
۱-۲-۲ مروری بر کارهای انجام شده در زمینه CCHP	۳۶
۱-۲-۳ مروری بر کارهای انجام شده در زمینه ذخیره سازی انرژی در قسمت تهویه مطبوع	۳۹
۱-۲-۴ مروری بر کارهای انجام شده در زمینه CCHP همراه با ذخیره ساز انرژی	۴۲
۱-۲-۵ مروری بر کارهای انجام شده در زمینه CCHP و CHP همراه با سیکل ارگانیک رانکین	۴۵
۱-۲-۶ ضرورت انجام کار و جنبه های نوآوری	۴۶
فصل سوم مدل سازی و معادلات حاکم	۴۷
۱-۳-۱ مقدمه	۴۸
۱-۳-۲ نمای کلی سیستم فرضیات و روابط حاکم بر مدل سازی سیستم	۴۸
۱-۳-۳ نمای کلی سیستم	۴۸
۱-۳-۴ فرضیات سیستم	۵۰
۱-۳-۵ روابط حاکم محركه اولیه	۵۰
۱-۳-۶ روابط حاکم بر چیلر جذبی	۵۳
۱-۳-۷ پمپ محلول	۵۵

۵۶ ۳-۴-۲-۳ ژنراتور
۵۷ ۵-۴-۲-۳ شیر انبساط
۵۷ ۵-۳-۲-۳ کندانسور
۵۸ ۶-۴-۲-۳ اوپرатор
۵۹ ۷-۴-۲-۳ ابزوربر
۵۹ ۵-۲-۲ روابط حاکم بر مبدل حرارتی پوسته و لوله
۶۰ ۱-۱-۵-۲-۳ طراحی مبدل
۶۸ ۵-۲-۲ روابط حاکم بر سیکل ارگانیک رانگین
۶۸ ۱-۵-۲-۳ فرضیات:
۶۹ ۲-۵-۲-۳ سیکل ارگانیک رانگین با مبدل حرارتی
۶۹ ۱-۲-۵-۲-۳ پمپ
۷۰ ۱-۲-۵-۲-۳ ۱- مبدل‌های حرارتی شامل اوپرатор، کندانسور و IHE
۷۰ ۲-۲-۵-۲-۳ توربین
۷۰ ۲-۲-۵-۲-۳ راندمان سیکل
۷۱ ۳-۵-۲-۳ سیکل ارگانیک رانگین بدون مبدل حرارتی
۷۱ ۱-۳-۵-۲-۳ پمپ
۷۱ ۱-۳-۵-۲-۳ ۱- مبدل‌های حرارتی شامل اوپرатор، کندانسور
۷۱ ۲-۳-۵-۲-۳ توربین
۷۲ ۶-۲-۳ روابط حاکم بر سیستم ذخیره ساز حرارتی
۷۵ ۲-۶-۲-۳ بدست آوردن حجم مخزن ذخیره ساز آب سرد
۷۶ ۲-۲-۳ ۷ راندمان کلی سیستم تولید هم زمان
۷۷ ۱-۷-۲-۳ تحلیل اقتصادی سیستم تولید هم زمان
۸۱ فصل چهارم شبیه سازی و ارائه نتایج
۸۲ ۱-۴ مقدمه
۸۲ ۲-۴ انتخاب موتور احتراق داخلی
۸۶ ۳-۴ طراحی و انتخاب مبدل های حرارتی
۸۶ ۱-۴-۳ مبدل حرارتی پوسته و لوله ۱
۸۷ ۱-۱-۴-۳ تحلیل حرارتی مبدل حرارتی پوسته و لوله ۱ با Hetran

۲-۱-۴-۳ تحلیل مکانیکی مبدل حرارتی پوسته و لوله ۱ با Teames	۸۷
۲-۴-۳ مبدل حرارتی پوسته و لوله ۲	۹۱
۱-۲-۴-۳ تحلیل حرارتی مبدل حرارتی پوسته و لوله ۲ با Hetran	۹۱
۲-۲-۴-۳ تحلیل مکانیکی مبدل حرارتی پوسته و لوله ۲ با Teames	۹۱
۴-۴ مدل سازی چیلر جذبی	۹۶
۴-۴ سیکل تبرید جذبی تک اثره با مدل انتقال حرارت	۹۶
۲-۴-۴ ورودی های چیلر جذبی تک اثره لیتیوم بروماید	۹۸
۱-۲-۴-۴ بررسی تغییرات پارامتر ها بر روی سیکل چیلر جذبی	۱۰۰
۱-۲-۴-۴ تاثیر دمای ورودی به ژنراتور	۱۰۰
۲-۱-۲-۴-۴ تأثیر دمای ورودی به اوپراتور	۱۰۴
۳-۱-۲-۴-۴ تأثیر دمی جرمی محلول رقیق	۱۰۷
۴-۱-۲-۴-۴ تأثیر مبدل حرارتی محلول لیتیوم بروماید	۱۰۸
۵-۱-۲-۴-۴ تأثیر دمای ورودی به کندانسور	۱۰۹
۵-۴ سیستم ذخیره ساز	۱۱۰
۱-۵-۴ مقدمه	۱۱۰
۲-۵-۴ ذخیره سازی به صورت بار کامل	۱۱۱
۳-۵-۴ ذخیره سازی با افزایش ظرفیت چیلر	۱۱۴
۴-۵-۴ ذخیره سازی به صورت بار جزئی	۱۱۶
۵-۵-۴ محاسبه حجم مخزن ذخیره	۱۱۸
۶-۴ سیستم ارگانیک رانکین	۱۲۰
۱-۶-۴ مقدمه	۱۲۰
۲-۶-۴ محاسبه تولید برق	۱۲۰
۷-۴ تحلیل کلی سیستم	۱۲۶
۱-۷-۴ تحلیل اقتصادی سیستم	۱۲۶
۲-۷-۴ سیستم تولید هم زمان با سیستم ذخیره ساز و سیکل ارگانیک رانکین	۱۲۷
۳-۷-۴ سیستم تولید هم زمان سه گانه با سیستم ذخیره ساز جزئی	۱۳۱
۴-۷-۴ سیستم تولید هم زمان سه گانه	۱۳۳
۵-۷-۴ سیستم تولید هم زمان سه گانه بدون سیستم ذخیره ساز و ساعات کاری کمتر	۱۳۶

۱۳۹	۶-۷-۴ مقایسه نتایج کلی
۱۳۹	۱-۶-۷-۴ بازگشت سرمایه (PB)
۱۴۰	۲-۶-۷-۴ نرخ بازگشت سرمایه (IRR)
۱۴۱	۳-۶-۷-۴ ارزش خالص در آمد ها (NPV)
۱۴۳	فصل پنجم ارائه نتایج و پیشنهادات
۱۴۴	۱-۵ نتیجه گیری و جمع بندی
۱۴۵	۲-۵ پیشنهادات
۱۴۶	پیوست
۱۴۹	مراجع

فهرست شکل ها

شکل(۱-۱): ساختار یک سیستم تولید هم زمان برق، حرارت و سرما ۴
شکل (۲-۱): چند نمونه از محرک های اولیه سیستم تولید همزمان ۸
شکل (۳-۱): توربین گاز با ظرفیت بسیار بالا ساخت شرک زیمنس ۱۰
شکل (۴-۱): واحد تولید مشترک موتور گازسوز ۱۳
شکل (۵-۱): سیکل موتور استرلینگ ۱۵
شکل (۶-۱): بالانس انرژی سیستم تولید مشترک موتور با سوخت گاز ۱۶
شکل (۷-۱): نمایی از کل تجهیزات CHP شامل موتور-زنراتور، مبدل حرارتی، پمپها، ورودی گاز ۱۹
شکل (۸-۱): نمودار طبقه بندی PCM ها ۲۷
شکل (۹-۱): پروفیل تغییر دما در مخزن ذخیره سازی آب سرد ۲۸
شکل (۱۰-۱): مخازن ذخیره آب سرد ۲۹
شکل (۱۱-۱): دفیوزر در مخازن ذخیره سازی ۲۹
شکل (۱۲-۱): نحوه قرار گیری دفیوزر در مخزن ۳۰
شکل (۱۳-۱): نحوه قرار گیری دفیوزر چند ضلعی در یک مخزن ذخیره آب سرد ۳۰
شکل (۱۴-۱): سیکل ذخیره ساز سرمایشی به صورت یخ ۳۱
شکل (۱۵-۱): سیکل ارگانیک رانکین ۳۳
شکل (۱-۳): نمای کلی سیستم تولید هم زمان سه گانه همراه با ذخیره ساز حرارتی و سیکل ارگانیک رانکین ۴۹
شکل (۲-۳): انرژی های ورودی و خروجی از یک موتور احتراق داخلی ۵۱
شکل (۳-۳): شماتیک یک سیستم تبرید جذبی تک اثره لیتیوم بروماید ۵۳
شکل (۴-۳): پیکربندی دو مبدل حرارتی پوسته و لوله در سیستم ۶۰
شکل (۳-۵): نمونه ای از پیکربندی سیستم ORC با مبدل حرارتی ۶۹

شکل (۳-۶): نمونهای از پیکربندی سیستم ORC بدون مبدل حرارتی.....	۷۱
شکل (۷-۳) شارژ مخزن ذخیره در زمان غیر پیک	۷۴
شکل (۸-۳) تخلیه مخزن ذخیره در صورت کمبود چیلر برای تقاضای بار ساختمان(ذخیره ساز جزئی).....	۷۵
شکل (۹-۳) تخلیه مخزن ذخیره بدون چیلر برای تقاضای بار ساختمان (ذخیره ساز کامل).....	۷۵
شکل (۱-۴): موتور انتخابی Waukesha gas engines VHP Series Four L7044GSI	۸۳
شکل (۲-۴) نمای کلی از تحلیل مکانیکی مبدل حرارتی پوسته ولوله ۱ با Teames	۸۹
شکل (۳-۴) نمای کلی از وضعیت چیدمان ولوله ها در مبدل حرارتی پوسته و ولوله ۱ با Teames	۹۰
شکل (۴-۴) نمای کلی از تحلیل مکانیکی مبدل حرارتی پوسته ولوله ۲ با Teames	۹۴
شکل (۵-۴) نمای کلی از وضعیت چیدمان ولوله ها در مبدل حرارتی پوسته و ولوله ۲ با Teames	۹۵
شکل (۶-۴) شماتیک یک سیستم تبرید جذبی تک اثره لیتیوم بروماید.....	۹۷
شکل (۷-۴) شکل دو خاصیتی محلول لیتیوم بروماید – آب	۹۸
شکل (۸-۴) تأثیر دمای ورودی ژنراتور بر ضریب عملکرد و مقدار سرمایش اوپراتور	۱۰۱
شکل (۹-۴) تأثیر دمای ورودی ژنراتور بر مقدار بار حرارتی اجزاء اجزاء.....	۱۰۲
شکل (۱۰-۴) تأثیر دمای ورودی ژنراتور بر دما های مختلف	۱۰۳
شکل (۱۱-۴) تأثیر دمای ورودی ژنراتور بر فشار سیکل	۱۰۳
شکل (۱۲-۴) تأثیر دمای ورودی ژنراتور بر درصد غلظت	۱۰۴
شکل (۱۴-۴) تأثیر دمای ورودی اوپراتور بر مقدار بار حرارتی اجزاء شکل	۱۰۵
شکل (۱۵-۴) تأثیر دمای ورودی ژنراتور بر فشار سیکل	۱۰۵
شکل (۱۶-۴) تأثیر دمای ورودی اوپراتور بر درصد غلظت	۱۰۶
شکل (۱۷-۴) تأثیر دمای ورودی اوپراتور بر دما های مختلف سیکل	۱۰۶
شکل (۱۸-۴) تأثیر دبی جرمی محلول رقیق بر دما های مختلف سیکل	۱۰۸
شکل (۱۹-۴) تأثیر دبی جرمی محلول رقیق بر ضریب عملکرد و بار حرارتی	۱۰۷

..... شکل (۲۰-۴) تأثیر مبدل حرارتی محلول لیتیوم بروماید بر ضریب عملکرد	۱۰۹
..... شکل (۲۱-۴) تأثیر مبدل حرارتی محلول لیتیوم بروماید بر بار حرارتی اجزاء سیکل	۱۱۰
..... شکل (۲۲-۴) تأثیر دمای ورودی کندانسور بر ضریب عملکرد	۱۱۰
..... شکل (۲۳-۴) ذخیره سازی با بار کلی	۱۱۳
..... شکل (۲۴-۴) ذخیره سازی با افزایش توان چیلر	۱۱۶
..... شکل (۲۵-۴) ذخیره سازی به صورت بار جزئی	۱۱۸
..... شکل (۲۶-۴) شماتیک سیکل ارگانیک رانکین با و بدون مبدل حرارتی	۱۲۱
..... شکل (۲۷-۴) تغییرات کار مفید با تغییر فشار	۱۲۴
..... شکل (۲۸-۴) تغییرات راندمان اول و دوم با تغییر فشار	۱۲۴
..... شکل (۲۹-۴) تغییرات دبی جرمی سیال منبع حرارت با تغییرات اختلاف دما	۱۲۵
..... شکل (۳۰-۴) راندمان سیستم ارگانیک رانکین برای سه مبرد	۱۲۵
..... شکل (۳۱-۴) مقایسه بازگشت سرمایه (PB) سیستم ها	۱۴۰
..... شکل (۳۲-۴) مقایسه بازگشت سرمایه (IRR) سیستم ها	۱۴۱
..... شکل (۳۳-۴) مقایسه ارزش خالص در آمد ها (NPV) سیستم ها	۱۴۲

فهرست جداول

جدول (۴-۱) خروجی های موتور احتراق داخلی Waukesha [۴۸]	۸۴
جدول (۴-۲) داده های موتور احتراق داخلی Waukesha	۸۵
جدول (۴-۳) تحلیل حرارتی مبدل حرارتی پوسته ولوله ۱ با Hetran [۴۹]	۸۸
جدول (۴-۴) تحلیل حرارتی مبدل حرارتی پوسته ولوله ۲ با Hetran [۴۹]	۹۳
جدول (۴-۵) شرایط عملیاتی برای سیکل تبرید جذبی لیتیوم بروماید و آب تک اثره	۹۹
جدول (۴-۶) نرخ انتقال گرما و اختلاف دمای لگاریتمی برای سیکل تبرید جذبی لیتیوم بروماید و آب تک اثره ..	۱۰۰
جدول (۴-۷) ضریب عملکرد سیکل تبرید جذبی و مبدل حرارتی توان مصرفی پمپ لیتیوم بروماید و آب تک اثره ..	۱۰۰
جدول (۴-۸) محاسبات بار حرارتی برای بار کامل	۱۱۲
جدول (۴-۹) اعتبار سنجی محاسبات با کار Heel	۱۱۳
جدول (۴-۱۰) محاسبات بار حرارتی با حداکثر بار چیلر	۱۱۴
جدول (۴-۱۱) اعتبار سنجی محاسبات با کار Heel	۱۱۵
جدول (۴-۱۲) محاسبات بار حرارتی با بار جزئی	۱۱۶
جدول (۴-۱۳) اعتبار سنجی محاسبات با کار Heel	۱۱۸
جدول (۴-۱۴) محاسبه حجم مخزن ذخیره با بار کلی	۱۱۹
جدول (۴-۱۵) محاسبه حجم مخزن ذخیره با افزایش حداکثر توان چیلر	۱۱۹
جدول (۴-۱۶) محاسبه حجم مخزن ذخیره با بار جزئی	۱۱۹
جدول (۴-۱۷) مقادیر استفاده شده در سیکل ارگانیک رانکین [۵۱، ۵۲، ۵۷]	۱۲۲
جدول (۴-۱۸) پارامترهای عملکرد سه سیال ارگانیک در سیکل ساده ORC	۱۲۳
جدول (۴-۱۹) پارامترهای عملکرد سه سیال ارگانیک در سیکل IHE با ORC	۱۲۳
جدول (۴-۲۰) پارامتر های بدست آمده از سیستم تولید هم زمان	۱۲۶

جدول (۲۰-۴) راندمان کلی سیستم ۱۲۶
جدول (۲۱-۴) پارامتر های فنی و اقتصادی سیستم CHP ۱۲۷
جدول (۲۲-۴) تحلیل اقتصادی سیستم تولید هم زمان سه گانه با ذخیره ساز کلی ۱۲۸
جدول (۲۳-۴) تحلیل اقتصادی سیستم تولید هم زمان سه گانه با ذخیره ساز جزئی ۱۳۱
جدول (۲۴-۴) تحلیل اقتصادی سیستم تولید هم زمان سه گانه بدون سیستم ذخیره ساز ۱۳۴
جدول (۲۵-۴) تحلیل اقتصادی سیستم تولید هم زمان سه گانه بدون سیستم ذخیره ساز و ساعت کارکرد معقول ۱۳۷
جدول (۲۶-۴) مقایسه بازگشت سرمایه سیستم ها ۱۴۰
جدول (۲۷-۴) مقایسه نرخ بازگشت سرمایه سیستم ها ۱۴۱
جدول (۲۸-۴) مقایسه ارزش خالص در آمد ها سیستم ها ۱۴۲

فهرست علائم

درصد محلول لیتیوم برومایید و آب (درصد)	X	آنتالپی ویژه	h
توان الکتریکی (KW)	E	دربی جرمی	\dot{m}
ذخیره ساز حرارت	TES	فشار	P
ارزش حرارتی پائین سوخت	LHV	نرخ حرارت	\dot{q}
سطح انتقال حرارت (m^2)	A	آنتروبی ویژه	s
چگالی سیال (kg/m^3)	ρ	دما	T
سرعت جرمی ($kg/m^2.s$)	G	نرخ کار	\dot{W}
ضریب انتقال حرارت کلی ($W/m^2.k$)	U	ضریب عملکرد چیلر جذبی	COP
مقاومت حرارتی ($W/m^2.k$)	R	مواد تغییر فاز دهنده	PCM
قطر (mm)	D	راندمان	η

زیرنویس‌ها

انتقال حرارت جابه جایی و تشعشع	cr	حالت مرده	0
فشار (Kpa)	p	نقاط سیکل	۱ و ۲
هو	a	به شکل حرارت	heat
سوخت مصرفی	f	قانون اول	I
آب	w	مبدل حرارتی داخلی	IHE
سطح انتقال حرارت لگاریتمی	lm	ورودی	in
گاز خروجی موتور	g	به طور خالص	net
سیکل ارگانیک رانکین	orc	خروجی	out
سیستم تولید هم زمان برق و حرارت	chp	کندانسور	c
سیستم تولید هم زمان برق و حرارت و سرما	cchp	اوپراتور	e
ژاکت موتور	jacket	پمپ	P
گاز خروجی موتور	exhaust	توربین	T

فصل اول

مقدمه

۱-۱ مقدمه

افزایش قیمت انرژی الکتریکی در ایران در طول سال های آینده با توجه به برنامه های اقتصادی دولت و نیاز به نصب سیستم های تهویه مطبوع در ساختمان های در حال ساخت، از جمله عوامل موثر و تاثیر گذار هستند که می تواند موجب افزایش استفاده از سیستم های کارآمد در تهویه مطبوع شود.

با توجه به عواملی چون افزایش روز افزون تقاضا انرژی، و افزایش قیمت حامل های انرژی و همچنین با افزایش آلودگی محیط زیست، و کمبود منابع سوخت های فسیلی باعث می شود، به دنبال سیستمی باشیم که در جهت کاهش آلودگی زیست محیطی، کاهش مصرف سوخت و ... باشد. با توجه به وجود فناوری های جدید در صنعت تهویه مطبوع باعث توسعه فناوری های جدید برای ترویج صرفه جویی در مصرف انرژی و همچنین کاهش آلودگی زیست محیطی می شود. با توجه به فناوری های جدید و با استفاده از منابع ذخیره انرژی در کنار سیستم های تهویه مطبوع نوین و همچنین با استفاده بهینه از انرژی هایی که در زمان کارکرد سیستم تلف می شوند قدمی در جهت کاهش مصرف انرژی برداریم.

از جمله این فناوری های جدید شامل سیستم های تولید هم زمان سرمایش، گرمایش و برق^(۱) (CCHP) و سیستم تولید هم زمان سرمایش و گرمایش (CHP^(۲)) می باشد که این سیستم ها می توانند با یک سیستم ذخیره ساز انرژی^(۳) و سیکل ارگانیک رانکین^(۴) به کار گرفته شوند. سیستم های CHP همان سیستم های CCHP هستند با این تفاوت که در سیستم های CCHP علاوه بر تولید گرمایش و برق تولید سرمایش هم دارند، اما در سیستم CHP تولید سرمایش نداشته و فقط تولید برق و گرمایش داریم. سیستم تولید همزمان برق، حرارت و سرما، سیستم تامین کننده انرژی است که در آن انرژی الکتریکی مورد نیاز در محل، به وسیله یک محرک اولیه تولید می گردد و حرارت اضافی از محرک اولیه

^(۱) Combined Cooling, Heating and Power

^(۲) Heating and Power Combined

^(۳) energy storage

^(۴) organic rankine cycle

به منظور تامین گرمایش، آبگرم مصرفی و سرمایش بازیاب می گردد. یکی از بخش های کاربردی سیستم تولید هم زمان استفاده در بخش ساختمان است. این بخش در کشور ایران بیشترین سهم مصرف انرژی اولیه را به خود اختصاص داده است. کاربرد این سیستمها در مکان های تجاری، صنعتی، عمومی و یا حتی خانگی می باشد.

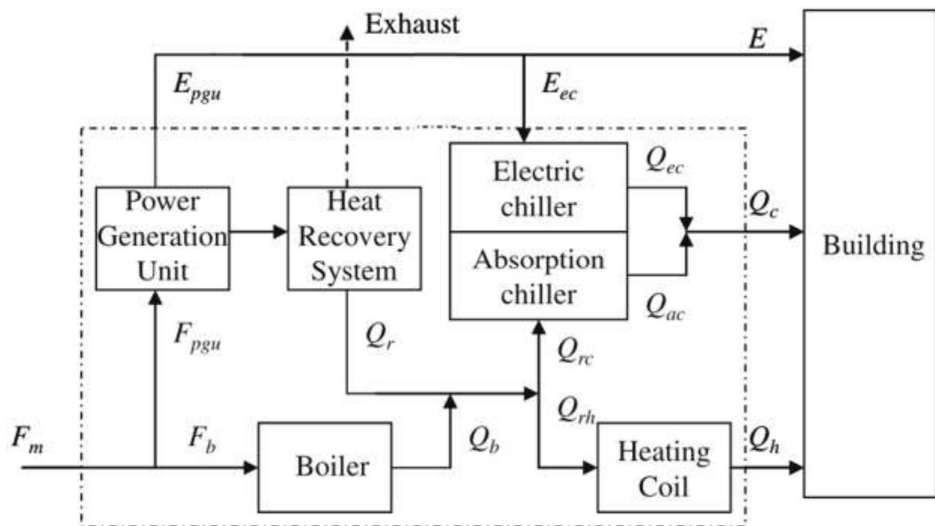
با کمک فن آوری تولید همزمان، حرارتی که از گازهای اگزوز و سیال مصرفی جهت خنک کاری در حال چرخش در سیستم به هدر می رود، با استفاده از مبدل های حرارتی مناسب بازیافت می گردد. بازیافت حرارت برای تامین آب گرم، یا حتی بخار آب نیز می تواند بکار گرفته شود. حرارت بازیافت شده برای کاربری های مختلفی مانند تامین آب گرم مصرفی، جهت گرمایش ناحیه ای و یا استفاده در چیلر جذبی و تولید سرمایش می تواند مورد استفاده قرار گیرد. انتخاب سیالی که جهت گرمایش ناحیه ای و یا سرمایش ناحیه ای مورد استفاده قرار می گیرد، خود تابع شرایطی است که می تواند آب گرم، بخار پر فشار یا کم فشار و یا حتی هوا باشد.

در سیستم های تولید هم زمان سرمایش، گرمایش و برق، تولید سرمایش با توجه به کاربرد های آن متفاوت است به عنوان مثال در کاربرد های صنعتی تولید سرمایش می تواند در کل ماه های سال صورت پذیرد، یا در کاربرد های مسکونی و اداری و آموزشی در ماه های مختلفی از سال تولید سرمایش صورت می پذیرد. با توجه به این که این پژوهش مختص یک ساختمان آموزشی- اداری می باشد و با توجه به محل این پژوهش، نیاز تولید سرمایش در بعضی از ماه های سال از اوایل خرداد تا پایان شهریور می باشد.

در این پژوهش تولید سرمایش در سیستم های تولید هم زمان در فصل تابستان صورت می گیرد و همچنین در فصل تابستان تقاضای سرمایش در سرتاسر ایران افزایش چشم گیری دارد.

پیک مصرف برق به صورت چشمگیری در فصل تابستان بالا رفته و هزینه برق نیز افزایش می یابد. در دوره پیک مصرف، برای جلوگیری از آسیب رساندن به نیروگاه های تولید برق در ساعت اوج مصرف که

در ساعات اولیه ظهر می باشد، با استفاده از یک سیستم ذخیره ساز انرژی در کنار سیستم تولید هم زمان باعث جلوگیری از خسارات واردہ به نیروگاه ها و جلوگیری از هزینه های ساخت نیروگاه های اضافی در سطح کلان و همچنین می تواند باعث جلوگیری از هزینه های اضافی اقتصادی دیگر شود. با این عملکرد که سرما را در شب تولید کرده و دریک سیستم ذخیره ساز سرما ذخیره کنیم و در ساعات پیک مصرف استفاده شود. با این کار در اوج ظهر برق بسیار کمتری استفاده می شود و باعث جلوگیری از افزایش هزینه های اقتصادی نیز می شود و همچنین برق اضافی که سیستم تولید هم زمان تولید می کند به شبکه شهری فروخته شود. در شکل ۱-۱ ساختار یک سیستم CCHP نشان داده شده است.



شکل(۱-۱): ساختار یک سیستم تولید هم زمان برق، حرارت و سرما [۱]

با توجه به مصرف زیاد انرژی در بخش تهویه مطبوع و عدم توازن در مصرف انرژی گرمایی، سرمایی و بار قدرت، هدف در این تحقیق، بررسی و طراحی یک سیستم ذخیره ساز انرژی در کنار سیستم تولید توزیع همزمان برق، گرمایش، سرمایش، می باشد تا با ایجاد تعادل در مصرف انرژی، مصرف انرژی ورودی نیز کاهش یابد.

۲-۱ مقدمه ای بر سیستم های تولید زمان

سیستم ترکیبی سرمایش، گرمایش و برق (CCHP)، و سیستم ترکیبی سرمایش، گرمایش (CHP) که سیستم های توزیع تولید هم زمان نامیده می شود، یک تکنولوژی اثبات شده و قابل اعتماد می باشد که عمدتا در دستگاه های مت مرکز قدرت در مقیاس بزرگ و کاربردهای صنعتی استفاده شده است. در چند سال اخیر مطالعات زیادی بر روی سیستم های تولید همزمان صورت گرفته است.

در اغلب کاربردهای سیستم های تولید همزمان، انرژی شیمیایی سوخت به انرژی مکانیکی و گرمایش تبدیل می گردد. معمولاً انرژی مکانیکی برای تولید برق و انرژی گرمایی برای تولید گرمایش و سرمایش مورد استفاده قرار می گیرد. سیستم های تولید هم زمان در مراکز خرید، فرودگاه ها، بیمارستان ها، هتل ها، ادارات، مراکز آموزشی و منازل مورد استفاده قرار می گیرد.

سیستم های تولید هم زمان از سه قسمت اصلی به شرح ذیل تشکیل می شوند: [۲]

- واحد تولید قدرت یا همان محرک اولیه مانند توربین گاز، میکرو توربین، موتور استرلینگ و...

- واحد گرمایش مانند بویلر ها، کویل های حرارتی

- واحد سرمایش مانند چیلر های جذبی و چیلر های الکتریکی

فرآیند ها مورد انجام در سیستمهای تولید همزمان به شرح زیر است:

- ۱- در واحد تولید قدرت، که همان محرک اولیه می باشد قدرت مکانیکی تولید می شود.

- ۲- قدرت مکانیکی تولید شده از طریق ژنراتور کوپل با موتور برق تولید می کند.

- ۳- حرارت اتصالی تولید شده در واحد تولید قدرت، که می تواند حرارت خروجی از اگزار باشد بازیافت می شود.

۴- همه یا بخشی از حرارت اتلافی بازیافت شده توسط مبدل حرارتی برای برطرف کردن نیاز گرمایشی به کار می رود.

۵- همه یا بخشی از حرارت اتلافی بازیافت شده توسط مبدل حرارتی برای برطرف کردن نیاز سرمایشی به کار می رود.

۱-۲-۱ مقایسه سیستم های سنتی و سیستم های تولید هم زمان

در روش های قدیمی یا سنتی تولید انرژی الکتریکی که انرژی شیمیایی سوخت در نیروگاههای بزرگ گازی به انرژی الکتریکی تبدیل می شود، معمولاً بخش اعظمی از انرژی گرمایی به دست آمده از سوخت به محیط تخلیه شده و تلف می شود و این باعث راندمان پایین نیروگاه گازی در حدود ۳۰ درصد است. از طرفی کاربران در بخش های مسکونی و تجاری گرمایی مورد نیاز را از طرق بویلهای^۱ دیگ ها و یا پکیجهاي حرارتی^۲ تأمین می کنند. در مقایسه با سیستم های تولید انرژی سنتی، سیستم تولید همزمان قابلیت تأمین حداقل بخشی از بار الکتریکی مورد نیاز را داشته و نیازهای گرمایشی و سرمایشیرا با بازیافت گرمای اتلافی، از موتور و اگراز به منظور تأمین نیاز کاربران مورد استفاده قرار می دهند. به این ترتیب سیستم تولید هم زمان قادر به بهره برداری بیشتر از انرژی ورودی سوخت به سیستم بوده و دارای راندمان بالاتری نسبت به سیستم سنتی و قدیمی تر می باشد.

۱-۲-۲ مزایای سیستم های تولید همزمان

سیستم های تولید همزمان دارای مزایای فراوانی از جمله موارد زیر می باشد:

- افزایش راندمان و کاهش هزینه ها: استفاده از سیستم تولید همزمان باعث افزایش راندمان کلی نیروگاه و کاهش هزینه های اجرایی می شود. بازده نیروگاه گازی معمولاً کمتر از ۳۵ درصد است این بدان معنی است که بیش از ۶۵ درصد از ارزش حرارتی سوخت مصرفی در نیروگاه ها،

^۱ Boiler

^۲ Thermal packages

هدر می رود. بازده کلی سیستم های تولید هم زمان برق و حرارت حدود ۶۵ درصد است که با استفاده از بازیافت حرارت تلف شده توسط مبدل حرارتی در سیستم های تولید همزمان

میزان راندمان به ۸۰ درصد هم خواهد رسید.^[۲]

کاهش انتشار گاز های گلخانه ای: استفاده از سیستم های تولید همزمان سه گانه و دو گانه

باعث کاهش انتشار گازهای گلخانه ای (GHG^۱) می شود. سیستم تولید همزمان سه گانه

نسبت به یک نیروگاه معمولی از سوخت کمتری استفاده می کند به طوری که کاهش مصرف

سوخت تا ۴۵ درصد را دارند. در نتیجه میزان انتشار گازهای گلخانه ای توسط سیستم های

تولید هم زمان کمتر خواهد بود. اگر چه تولید گاز های گلخانه ای توسط سیستم های تولید

هم زمان نسبت به سیستم های سنتی و نیروگاه ها تولید برق کمتر است ولی به دلیل اجرا

سیستم تولید هم زمان در محل مورد نظر آنلودگی با افراد در آن محل بیشتر از نیروگاه های

تولید برق که در خارج از شهر هستند است.

کوتاه تر شدن خطوط انتقال انرژی: سیستم های تولید همزمان در نزدیکی مصرف کننده

ساخته می شوند، و نسبت به نیروگاه های برق که اغلب در بیرون از شهر ساخته می شوند نیاز

به خطوط انتقال برق کمتری دارند که باعث کاهش هزینه و همچنین کاهش تلفات انرژی می

شود. در نیروگاه های تولید برق معمولاً برق مورد نیاز کاربران توسط یک یا چند نیروگاه در

محلی دور از شهر تولید شده و بعد از طی فاصله تقریباً زیاد به مصرف کنندگان میرسد. فاصله

زیاد منجر به تلفات انرژی و همچنین هزینه های انتقال زیادی می شود. در سیستم های تولید

هم زمان، انرژی در محل مصرف تولید شده و در همان محل مصرف، مصرف می شود، که این

کار باعث حذف هزینه های انتقال انرژی به محل مصرف می شود.

^۱ Green House Gases

- افزایش قابلیت اطمینان: سیستمهای تولید همزمان قابلیت اطمینان بالایی دارند، به این دلیل که خطوط انتقال در همان محل مصرف می باشد. در مقایسه با سیستم های تولید برق در نیروگاه ها که فاصله زیادی را برای انتقال انرژی به محل مصرف طی می کنند، در صورت ایجاد حوادث طبیعی باعث قطع برق شده و با وقوع این حوادث خسارات اقتصادی برای سیستم و مصرف کننده ها ایجاد می شود.[۲]

۱-۲-۳- تجهیزات و اجزاء سیستمهای تولید همزمان سه گانه

سیستم های تولید هم زمان دارای قطعات و اجزا های مختلفی می باشد که در این قسمت هر کدام از آن ها را معرفی می کنیم:

- محرک های اولیه
- تجهیزات الکتریکی
- دستگاه های بازیاب حرارتی(مبدل های حرارتی)
- چیلر (جذبی، تراکمی)

۱-۲-۳-۱- محرک های اولیه

راه های مختلفی برای طبقه بندی فن آوری محرک، بر اساس ساخت، بلوغ فنی، سهم بازار یا محدوده ظرفیت وجود دارد. اگر چه کاملاً چند فن آوری نوظهور به نظر امیدوار کننده می رسد، موتورهای احتراق داخلی رفت و برگشتی، توربین های بخار و توربین احتراق می تواند به عنوان



شکل (۱-۲): چند نمونه از محرک های اولیه سیستم تولید همزمان [۳]

محرك اول معمولی هنوز هم بسیاری از ظرفیت ناخالص را تشکیل می دهنده در نظر گرفته و نصب شوند.

۱-۲-۳-۱ توربین گاز

توربین های گازی ثابت همانند توربین های بخار در بسیاری از نیروگاه ها بعنوان تجهیزات عمدۀ طرح می باشند بسیاری از تجهیزات توربین های گازی ثابت مشابه با توربین های گاز هوایی می باشد.

در حقیقت، هم توربین های ثابت صنعتی و هم توربین های گاز هوایی در سیستم های تولید همزمان مورد استفاده قرار می گیرند. توربین های گازی در اندازه ها، طرحها و شکل های مختلفی وجود دارند.

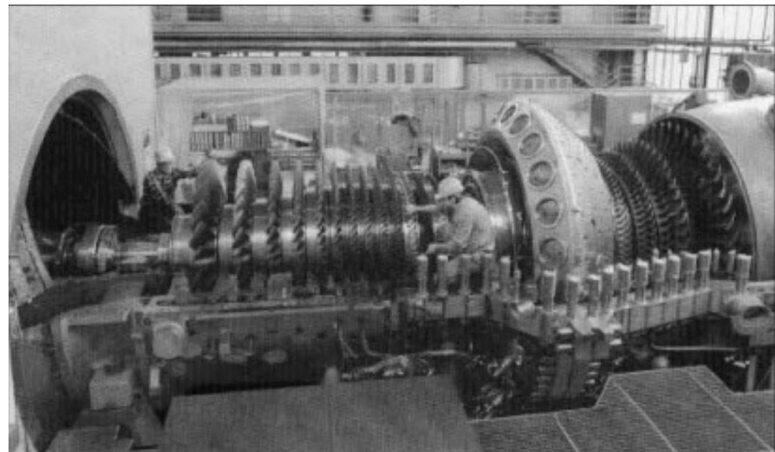
در توربین گازی با سیکل ساده از هیچ گونه روش خارجی مثل بازیابی حرارت برای بهبود راندمان استفاده نمی شود. بنابراین راندمان حرارتی توربین های گازی با سیکل ساده را با استفاده از چند روش خارجی می توان افزایش داد، اما در این شرایط طراحی و شکل توربین گاز پیچیده خواهد شد. بسیاری از این تغییرات در توربین گاز با سیکل ساده در جهت استفاده از انرژی گازهای اگزوز است تا توان الکتریکی خروجی و راندمان افزایش یابد. البته این چنین تغییراتی میزان انرژی در دسترس اگزوز را کاهش خواهد داد. بنابراین توربین گاز با بالاترین راندمان برای بکار بردن در سیستمهای تولید همزمان، ممکن است بهترین انتخاب نباشد.

توربین های گازی در طیف گسترده ای از میزان خروجی یعنی از ۵۰۰ کیلو وات تا ۱۰۰ مگا وات وجود دارند. منوط به نوع طراحی مخصوص، نسبت حرارت به توان الکتریکی برای توربینهای گازی می تواند از ۱ تا ۳ تغییر کند.^[۲]

راندمان حرارتی طراحی با اندازه توربین گاز (سطح قدرت) و پیچیدگی آن تغییر کرده و با افزایش آن، افزایش می یابد که معمولاً از ۱۵ تا ۳۰٪ می باشد، در مقایسه با توربین های بخار بالاتر بودن راندمان حرارتی باعث پایین تر بودن نسبت حرارت به توان الکتریکی می شود. این راندمان بالا برای کارکرد در

حالت تمام بار (از جهت طراحی) می باشد. در حالت کارکرد با بخشی از بار، راندمان توربین گاز به سرعت کاهش پیدا می کند.

به علت مقادیر زیاد هوای اضافی مصرفی (جرم هوای کل در مقایسه با جرم سوخت در حدود ۱۰۰ برابر می باشد) در فرآیند احتراق توربین گاز، گاز اگزوز خروجی دارای غلظت نسبتاً زیادی نیتروژن و اکسیژن می باشد.



شکل (۱-۳): توربین گاز با ظرفیت بالا ساخت شرکت زیمنس [۳]

۱-۲-۱-۳ توربین های بخار

از توربین های بخار در نیروگاه ها و صنعت بطور گسترده استفاده می شود. توربین های بخار از بخار با فشار و درجه حرارت بالای یک بویلر استفاده می کنند. بخار، درون توربین جریان یافته و توربین را به گردش در می آورد. بخار خروجی از توربین در درجه حرارت و فشار پایین می باشد. اختلاف عمدۀ توربین بخار نسبت به موتورهای رفت و برگشتی و توربین های گاز در احتراق است که در خارج و در یک دستگاه مجزا به نام بویلر اتفاق می افتد. این کار اجازه می دهد تا از طیف گسترده ای از سوخت ها از جمله سوخت های منجمد نظیر زغال سنگ یا مواد ضایعاتی جامد استفاده کرد.

البته بخار خروجی می تواند برای مصارف گرمایش و یا تأمین انرژی مورد نیاز چیلر جذبی نیز مورد استفاده قرار بگیرد. توربین های بخار در اندازه ها و شکل های مختلف موجود هستند. یک تفاوت عمده در آنها این است که توربین بخار تقطیر کننده است یا غیر تقطیر!^۱

توربین های بخار کندانس شونده، اینگونه هستند که بخار در فشار پائین (کمتر از فشار یک اتمسفر) از توربین خارج شده به صورتی که بخار را بتوان در یک کندانسور با درجه حرارت های نزدیک به درجه حرارت محیط، تقطیر کرد.

توربین های بخار تقطیری بیشترین قدرت برقی را تأمین کرده و بنابراین پر مصرف ترین نوع توربین در نیروگاهها و سرویس های برقی می باشد. از آنجایی که بخار خروجی انرژی در دسترس کمی را دارد، از کاربرد توربین های بخار تقطیری برای تولید همزمان صرفنظر می گردد.

توربین های بخار غیر تقطیری توربین های بخاری هستند که بخار خروجی آن در فشاری بالاتر از فشار اتمسفریک قرار دارد. این توربین های بخار را توربین های بخار با فشار عقب نیز می نامند.

۱-۲-۳-۳-۱ موتورهای رفت و برگشتی^۲

نوع دیگری از محرکهای اولیه برای سیستم های تولید همزمان احتراق داخلی موتورهای رفت و برگشتی می باشد. اگر چه از موتورهای پره ای نیز می توان در سیستم های تولید همزمان استفاده کرد، ولی کاربرد خاصی برای آنها شناخته نشده است. موتورهای احتراق داخلی به چندین صورت وجود دارند و شاید معمول ترین شکل از موتورهای رفت و برگشتی، موتورهای بنزینی با احتراق جرقه عمده موتورهای رفت و برگشتی را در سیستم های تولید همزمان با اندازه ای در اتومبیل ها باشد

^۱ Condensing or Noncondensing (Back Pressure) Turbine

^۲ Reciprocating Engines

های متوسط تا بزرگ موتورهای دیزل ثابت که با سوخت دیزل (گازوئیل) یا در یک حالت دو گانه با گاز طبیعی کار می کنند، تشکیل می دهد.

این موتورها ضمن وجود برخی خصوصیات مشترک با یکدیگر، موارد اختلافی نیز در کاربردهای تولید همزمان دارند. قدرت موتورهای رفت و برگشتی همانند توربین های گازی و برای دو حالت کار دائم و مقطعي ارائه شده است. قدرت اسمی موتورهای رفت و برگشتی همانطور که برای توربین های گاز نیز مطرح است در شرایط استاندارد درجه حرارت محیط، فشار و اختلاف سطح نسبت به دریا بوده و قدرت استاندارد باید برای شرایط محلی نصب دستگاه مزبور تنظیم گردد. این نوع موتورها برای کاربرد تولید همزمان، در بسیاری از سطوح قدرت و با طرحهای مختلف وجود دارد. این سطوح قدرت کمتر از ۵۰ کیلو وات تا بیشتر از ۲۰۰ مگا وات تغییر کنند. بعضی از تولید کننده ها حتی سیستم تولید هم زمان کوچک را با قدرت خروجی کم (تا میزان ۶ کیلو وات) نیز پیشنهاد می کنند.

سیستم های با موتور سیلندر پیستونی^۱ که رایج ترین محرک اولیه (موتور) در سیستم های CHP در اندازه های ۵۰ تا ۱۰۰۰ کیلو وات است.

استفاده از این نوع موتور زمینه ای مناسب برای سازندگان این سیستم ها فراهم می آورد تا هر چه بیشتر به خواسته های مصر ف کنندگان نزدیک شوند. پنج نوع اصلی موتور که امروزه بکار می رود عبارتند از:

- موتور صنعتی^۲
- موتور خودرو^۳
- موتور دیزل^۴

^۱ reciprocating engine systems

^۲ Industrial Engine

^۳ Automotive Derived Engine

^۴ Diesel Engine

موتور گازی^۱

موتور استرلینگ^۲



Packaged gas engine cogeneration unit (courtesy of Geveke Motoren).

شکل (۴-۱) واحد تولید مشترک گاز سوز [۴]

سوخت اغلب این موتورها گاز طبیعی است که در موتورهای گازی با سیستم جرقه ز نی مصرف می شود. همچنین گاهی در واحدهای بزرگتر از ۵۰۰ کیلو وات موتورهای با قابلیت مصرف دوگانه سوخت گاز- دیزل به چشم می خورد.

۱-۳-۱-۳-۲-۱ موتورهای صنعتی^۳

موتورهای صنعتی موتورهای پرقدرت، بزرگ و از نوع ثابت^۴ هستند که برای تولید قدرت مطمئن با حداقل هزینه تعمیر و نگهداری طراحی می شوند. اجزاء این موتورها با هدف بیشترین استحکام در برابر سایش و همچنین سادگی در تعمیر و نگهداری آن ساخته شده است و طول عمر بالایی دارند. به گونه ای که نمونه های زیادی با ساعت کارکردبیش از ۷۰۰۰ ساعت وجود دارد. این موتورها در هر دو

^۱ Gas Engine

^۲ Stirling Engine

^۳ Industrial Engine

^۴ Stationary

نوع جرقه ای با سوخت گاز و دیزل موجود است که البته در سیستم های CHP بیشتر از نوع جرقه ای استفاده می شود. موتورهای صنعتی معمولاً در سیستم های CHP با توان الکتریکی بیش از ۱۵۰ تا ۲۰۰ کیلو وات بکار برده می شود.

۲-۳-۱ موتور خودرو

عموماً موتور خودرویی که در سیستم CHP بکار برده می شود، موتورهای کامیون است که با اصلاحات و تغییراتی در ساختمان آن گازسوز شدند، توسط سیستم جرقه^۱ کار می کنند. امروزه استفاده از این نوع موتورها گستره بیشتری پیدا کرده است. در سیستم های CHP تا اندازه ۲۰۰ کیلو وات قابل استفاده است و از طرف دیگر برای واحدهای بسیار کوچک CHP با اندازه های کمتر از ۳۰ کیلو وات کارایی زیادی دارند.

۳-۱-۲ موتور دیزل (ژنراتورهای اضطراری)

دو نوع مصرف عمده موتور دیزل عبارت است از ماشین های سنگین جاده ای و مولدهای برق اضطراری که در هر دو صورت سوخت آن گازوئیل است. یکی از راه های تهیه CHP برای یک واحد، تبدیل مولد برق اضطراری موجود به سیستم CHP است، که در این صورت هزینه سرمایه گذاری کمتری بر مصرف کننده تحمیل می شود. اگر چه غالباً محرک این ژنراتورها نیز از نوع موتورهای صنعتی است، اما در موقعيت آمیز بودن این تبدیل در درازمدت شبهاتی وجود دارد.

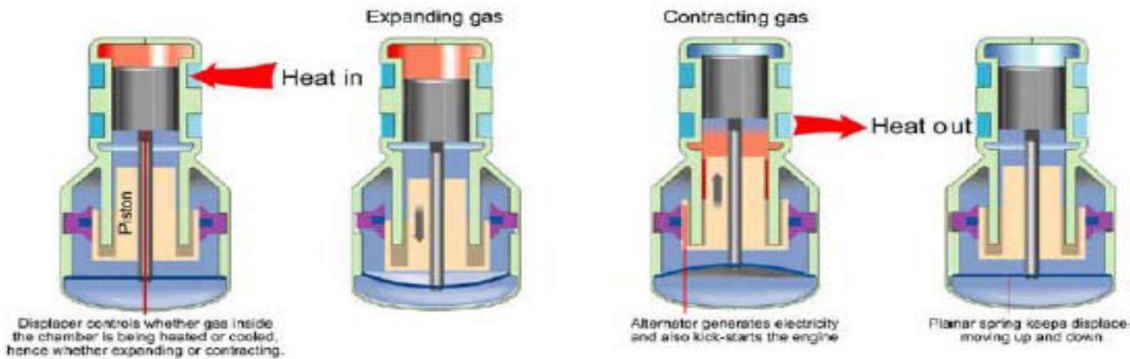
۴-۱-۲ موتور گازی

موتور گازی مانند موتور خودرو از انواع احتراق جرقه ای^۲ است و با سوخت گاز طبیعی یا گاز مایع کار می کند. به عبارت دیگر مکانیزم عملکرد این موتور همانند موتور خودرو است.

^۱ Spark Ignition

^۲ Spark Ignition

اما ساختمان آن برای استفاده در سیستم های CHP کوچک^۱ در اندازه های کمتر از ۶ کیلو وات طراحی شده است.



شکل (۱-۵) سیکل موتور استرلینگ^[۴]

موتور گازی، تک سیلندر است و توانایی کار در مدت زمان زیاد را دارد. امروزه این موتور از موتورهای موفق و مناسب در سیستم mini CHP محسوب می شود و نمونه های تجاری آن با قیمت مناسب عرضه شده است. اما از طرف دیگر اندازه بزرگ موتور و تولید صدای زیاد آن که برای واحدهای مسکونی نامناسب است، بهمراه هزینه تعمیر و نگهداری نسبتاً بالای آن از عیوب قابل ذکر موتور گازی است.

۱-۲-۳-۵ موتور استرلینگ^۲

موتور استرلینگ یک نوع موتور حرارتی است که بر خلاف موتورهایی که تاکنون نامبرده شد، از انواع برونوسوز است. گرچه امروزه موتور استرلینگ از موتورهای پرکاربرد محسوب نمی شود، اما توانایی آنرا دارد که از بازدهی بیشتری نسبت به موتورهای دیزل بربوردار باشد.

مهمنترین ویژگی های این موتور عبارتند از:

■ امکان استفاده از سوخت های متنوع از جمله بیوگاز

^۱ mini CHP

^۲ Stirling Engine

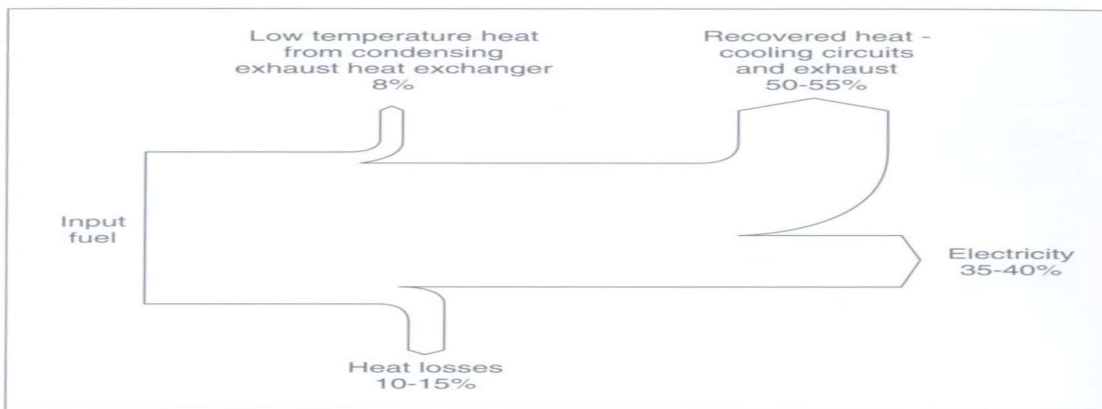
- آلایندگی کم

- نیاز اندک به تعمیر و نگهداری

- تولید صدای کم درهنگام کار

امروزه کاربرد جدیدی که برای موتور استرلینگ پیشنهاد شده است، سیستم های CHP است که در اندازه های کمتر از ۱۰۰ کیلو وات قابل استفاده می باشد. در این میان نصب موتور استرلینگ در سیستم های Mini CHP با موفقیت بیشتری همراه بوده است و نمونه های تجاری آن نیز در بازار مصرف عرضه شده است.

راندمان الکتریکی بدست آمده از موتورهای سیلندر پیستونی ۳۰ تا ۴۰٪ (و برای موتور های استرلینگ ۲۵ تا ۲۹ درصد) است، که در میان سایر انواع محركها بیشترین می باشد و نسبت توان حرارتی به توان الکتریکی (H/P) ۱:۱ و ۱:۲ دارد. در این نوع سیستم های CHP تا ۹۰٪ اتلاف حرارتی موتور به صورت آب داغ یا بخار کم فشار قابل بازیافت است.



Typical energy balance of a gas engine cogeneration system with condensing exhaust heat exchanger. Input based on the lower heating value of the fuel.

شکل(۶): بالанс انرژی سیستم تولید مشترک موتور با سوخت گاز [۴]

در اینجا منابع حرارت عبارتند از:

- آب خنک کن پوسته موتور

▪ سیستم روغنکاری

▪ گازهای خروجی از موتور

با خاطر وجود مشکلات ناشی از فشار، خوردگی و شوک حرارتی نمی توان مستقیماً از سیال موجود در

سیستم حرارتی سایت استفاده کرده به همین دلیل بکارگیری و انواع مبدل های حرارتی لازم است.

۱-۲-۳-۲ تجهیزات الکتریکی^۱

تجهیزات الکتریکی برای سیستم های تولید همزمان شامل ژنراتورها، ترانسفورمرها، رله ها، کنتورها،

کنترل ها، مدار شکن ها، تجهیزات سوئیچینگ، خطوط انتقال و دیگر تجهیزات وابسته می باشد.

۱-۲-۳-۲-۱ ژنراتورها^۲

در این قسمت بصورت خلاصه به تشریح برخی از ویژگی های مربوط به ژنراتورهای برقی، اتصالات

پرداخته خواهد شد. ژنراتور برقی وسیله ای است که انرژی مکانیکی چرخنده از یک محرک اولیه را

به انرژی الکتریکی تبدیل می کند. اصول اساسی در این فرآیند را به نام ”اثر فاراد“ می شناسند که

عبارةست از اینکه با حرکتی که جسم هادی برق مثل یک سیم درون یک میدان مغناطیسی، جریان

برق در درون سیم ایجاد می شود.

در سیستم های CHP هر دو نوع ژنراتور سنکرون و آسنکرون بکار بردہ می شود. توان خروجی این

ژنراتورها از ۱۸ کیلو وات آغاز شده و برق سه فاز متناوب^۴ (AC) با ولتاژ ۴۱۵ ولت تولید می کنند. در

سیستم های CHP با اندازه کوچکتر از ۱۸ کیلو وات و سیستم های Micro CHP از ژنراتور های

استفاده می شود. این مولدات از نوع بدون جاروبک^۵ هستند و بطور مستقیم به چرخ طیار محور DC^۶

^۱ Electrical Equipment

^۲ Circuit Breakes

^۳ Generators

^۴ Alternating Current

^۵ Direct Current

^۶ Bruoshlebs

موتور نصب می شوند. در کنار این ژنراتور یک Inverter برای تبدیل الکتریسته تولیدی به برق سه فاز و همچنین یک چرخه آب خنک کن در نظر گرفته می شود.

۱-۲-۳- تجهیزات بازیابی حرارت^۱

تجهیزات بازیابی حرارت اولیه که در سیستم های تولید همزمان مورد استفاده قرار می گیرند، انواع تجهیزات تولید کننده بخار و آب گرم را شامل می شود. چندین نوع از تجهیزات بازیابی حرارت وجود دارد. همانطور که قبلًا توضیح داده شد این تجهیزات را می توان به نام تجهیزات تولید بخار از حرارت بازیابی شده یا ^۲(HRSG) نامید. تجهیزات مذبور غالباً به چند دسته تقسیم می شوند:

۱- بدون احتراق^۳

۲- احتراق جزئی^۴

۳- احتراق کامل^۵

یک سیستم HRSG بدون احتراق همانا یک مبدل حرارتی می باشد. یک سیستم HRSG با احتراق جزئی از یک کانال احتراق تشکیل شده که غالباً برای افزایش درجه حرارت گاز خروجی از یک مشعل گاز در بالادست HRSG استفاده می شود. یک سیستم HRSG با احتراق کامل اساساً یک بویلر است که در آن از گاز خروجی بصورت هوای پیش گرم استفاده می کنند. در اکثر این تجهیزات، گاز خروجی از دستگاه عبور کرده و از بالای دستگاه خارج می شود. انرژی گاز خروجی برای گرم کردن و تبخیر آب و سوپر هیت کردن بخار مورد استفاده قرار می گیرد. اختلاف حرارت بین گاز خروجی و آب موقعی که شروع به تبخیر می نماید، به عنوان نقطه پینج اختلاف درجه حرارت می نامند، این نقطه

^۱ Heat Recovery Equipment

^۲ Heat Recovery Steam Generation

^۳ Unfired

^۴ Partially Fired

^۵ Fully Fired

دارای کمترین اختلاف درجه حرارت بوده و عملکرد کلی وسیله بازیابی حرارت را محدود می کند. از آنجایی که میزان انتقال حرارت متناسب با اختلاف درجه حرارت است، هر قدر که مقدار این اختلاف بیشتر باشد، میزان انتقال حرارت بزرگتر است.



شکل(۷-۱): نمایی از کل تجهیزات CHP شامل موتور-ژنراتور، مبدل حرارتی، پمپها، ورودی گاز و غیره

۱-۲-۳-۴ چیلرهای جذبی^۱

در چیلرهای جذبی می توان از انرژی حرارتی موجود در سیستم های تولید همزمان برای ایجاد سرمایش یک محل استفاده کرد. در این قسمت بطور خلاصه عملکرد چیلرهای جذبی و کاربرد آنها برای سیستمهای تولید همزمان تشریح خواهد شد.

در چیلرهای جذبی از سیالات بخصوص و سیکل ترمودینامیکی مشخصی استفاده می شود که درجه حرارت های پائین را بدون نیاز به یک کمپرسور بخار که در چیلرهای مکانیکی وجود دارد ایجاد می کنند.

یک چیلر جذبی بجای استفاده از کمپرسور بخار از پمپ های مایع و منابع با درجه حرارت پائین مثل آب گرم، بخار یا گاز دودکش استفاده می کند.

^۱ Absorption Chillers

در چیلرهای جذبی از سیالات محلولی استفاده می شود که از دو جزء تشکیل شده اند. اصول کلی عملکرد چیلر جذبی بر این اساس است که بعد از پمپ شدن محلول به فشار بالا، از انرژی با درجه حرارت پایین برای تبخیر یک جزء محلول استفاده می شود. از این جزء عنوان مبرد در این سیکل استفاده می شود. نمونه هایی از محلول ها به شرح زیر می باشند:

- آب و آمونیاک
- لیتیوم بروماید و آب
- لیتیوم کلراید و آب

در مورد اول آمونیاک عنوان مبرد بوده و در ۲ مورد دیگر آب عنوان مبرد مورد استفاده قرار می گیرد. در کاربردهای تولید همزمان، ویژگی مهم چیلرهای جذبی آن است که آنها از انرژی درجه حرارت نسبتاً پایین که بطور مستقیم و یا غیر مستقیم از محرک اولیه بدست می آید، می توانند برای تولید آب سرد در سرمایش استفاده کنند. استفاده از چیلرهای جذبی بخصوص برای محل هایی که بارهای حرارتی آب و فضاهای در مدت معینی از سال حداقل می باشند، مفید می باشد. برای این موارد، خروجی حرارتی یک سیستم تولید هم زمان را می توان برای گرمایش در خلال فصل سردتر سال و با استفاده از چیلر جذبی برای سرمایش در خلال فصل گرمتر سال استفاده کرد. ضمن اینکه عدم استفاده از چیلرهای تراکمی، باعث ثابت تر شدن بارهای الکتریکی در خلال سال می شود.

۵-۳-۲-۱ چیلر تراکمی

در چیلرهای تراکمی گاز ابتدا توسط کمپرسور، متراکم می گردد. این گاز سپس به کندانسور وارد شده توسط آب یا هوای محیط، خنک شده و به مایع تبدیل می گردد این مایع با عبور از شیر انبساط یا لوله موئین وارد خنک کننده(اوپراتور) که در فشار کمتری قرار دارد می شود که این کاهش فشار باعث تبخیر مایع گردیده و در نتیجه مایع سرد کننده با گرفتن حرارت نهان تبخیر خود از محیط خنک

کننده، باعث ایجاد برودت در موادی که با قسمت خنک کننده در ارتباط هستند می‌گردد. سپس گاز ناشی از تبخیر، به کمپرسور منتقل می‌شود و این چرخه تکرار می‌شود.

۱-۳ مقدمه ای بر سیستم‌های ذخیره سازی

تامین شرایط آسایش و راحتی انسانها در فصل گرما نیاز به انرژی الکتریکی دارد در طول دوره گرما که در شاهروд معمولاً از اواسط اردیبهشت شروع شده و تا پایان شهریور ادامه می‌یابد بین ساعت ۱۰ صبح تا ۶ بعد از ظهر توان الکتریکی زیادی توسط بخش ساختمان تقاضا می‌شود. سیستم ذخیره کننده سرمایی این امکان را می‌دهد تا چیلر بخشی از سرمایش مورد نیاز در طول روز را در طی ساعات شب فراهم کرده و در موادی مانند آب و یخ ذخیره نموده و در طول روز از آنها استفاده نماید.

این سیستم در درجه اول به حذف پیک مصرف کمک فراوانی می‌نماید. انتقال بخشی از بار به شب در کشورهایی که قیمت انرژی الکتریکی در روز و شب متفاوت است باعث کاهش هزینه‌های مصرف انرژی می‌شود. در سیستمهای سرمایش مستقیم انتخاب چیلر بر اساس بیشترین بار سرمایشی روز طرح انجام می‌شود و در اغلب اوقات فصل گرما چیلر در بار کامل کار نمی‌کند در حالی که با استفاده از سیستم ذخیره کننده سرمایی می‌توان چیلر کوچکتری انتخاب کرد و بنابراین می‌تواند باعث کاهش ظرفیت تجهیزات، کاهش مصرف انرژی و کاهش هزینه‌ها شود. متاسفانه در کشور ما به دلیل ارزان بودن انرژی استفاده از این سیستم مورد استقبال چندانی قرار نگرفته است. امید است تا با انجام پژوهش‌های مشابه اهمیت و مزایای استفاده از این سیستم روشن شرده و در مسیر حرکت به سوی مصرف بهینه انرژی یک گام به جلو برداشته باشیم. حال در این پژوهش با استفاده از یک سیستم ذخیره ساز انرژی در کنار یک سیستم تولید هم زمان سرمایش، گرمایش و برق این امر را تحقق می‌بخشیم.

۱-۳-۱ تاریخچه

بین سالهای ۱۹۷۰ تا ۱۹۸۰ شرکتهای تولید کننده برق در آمریکا متوجه شدند به دلیل افزایش تقاضای انرژی الکتریکی و جوابگو نبودن توان تولید و توزیع نیاز شدیدی به کاهش تقاضا در ساعت پیک دارند. این احساس نیاز منجر به تصویب سیاستهایی در جهت انتقال مصرف به ساعت غیر پیک شد. از جمله آنها می‌توان به ارزان تر بودن قیمت انرژی در ساعت غیر پیک، لحاظ کردن تخفیف‌های مالیاتی و پاداش‌هایی اینگونه به صنایع اشاره کرد. عوامل فوق موجب شد تا صنایع آمریکا در دهه ۷۰ میلادی به طور چشمگیری به استفاده از این سیستم علاقه نشان دهند.

استفاده از سیستم‌های ذخیره سازی سرما با کاربری تهويه مطبوع در کشورهای پیشرفته از سال ۱۹۹۲ شروع شد، به گونه‌ای که در بسیاری از کشورها استفاده از این سیستم‌ها به عنوان یک گزینه اصلی جهت تامین مصارف برودتی، نسبت به سایر سیستم‌های سرمایشی از مزیت نسبی برخوردار هستند. استفاده از سیستم‌های ذخیره سازی در کشورهای بلژیک، فرانسه، آلمان، ایتالیا، هلند و ... شاهدی بر این ادعا می‌باشد. نتایج به دست آمده نیز نشان می‌دهد که در کشور ما نیز در بسیاری از موارد استفاده از سیستم‌های سرمایشی در مقایسه با سیستم‌های تراکمی از مزیت بالایی برخوردار هستند و باعث کاهش هزینه‌های جاری و سرمایه‌گذاری اولیه می‌شوند. با توجه به مزایای پیش‌گفته، ترویج و توسعه استفاده از سیستم‌های ذخیره سازی در ایران به عنوان یک فعالیت هدفمند قابل بررسی بوده و می‌تواند به نتایج پر باری منتهی گردد.

در مطالعات انجام شده در صنایع مشخص شده بود بار سرمایشی فضاهای تولید و فضاهای اداری در فصل گرم و متعاقباً توان مصرفی سیستمهای تهويه مطبوع تاثیر چشمگیری بر پیک تقاضا دارد و با انتقال آن به ساعت غیر پیک می‌توانستند از انرژی که در ساعت پیک در دسترس دارند برای افزایش توان تولید استفاده کرده و همچنین با انتقال بخشی از بار به شب مشمول تشویق‌های مالیاتی نیز بشوند.

طبق برآوردهای انجام شده در یک ساختمان اداری در فصل تابستان در حدود ۶۳٪ تقاضای انرژی

الکتریکی مربوط به سیستم تهویه مطبوع می باشد.^[۶]

۲-۳-۱ موارد کاربرد

استفاده از سیستم ذخیره کننده همیشه ممکن است مطلوب نباشد. در مورد استفاده از سیستم ذخیره کننده بایستی موارد ذیل در نظر قرار گیرند:

- ماکزیمم بار سرمایی تجهیزات خیلی بیشتر از بار متوسط آنها باشد. این توصیه در بیشتر ساختمانهای غیر صنعتی نتیجه مطلوبی می دهد.
 - هزینه برق مصرفی در ساعت پیک و غیر پیک تفاوت فاحشی داشته باشد و یا نصب این سیستم مشمول تشویق های مالیاتی شود. ذکر این نکته ضروری است که این موضوع تا کنون در کشور ما در خور نیاز مورد توجه قرار نگرفته است.
 - سیستم سرمایش کنونی یک ساختمان کفاف طرح توسعه جدید را نمی دهد.
 - در سایتی که ساختمان مورد نظر وجود دارد تقاضای انرژی الکتریکی در ساعت روز با محدودیتهایی روبه رو است.
 - یک مقدار ظرفیت سرمایشی پشتیبان (رزرو) مورد نیاز است.
- مهمنترین کاربرد این سیستم در ساختمان های اداری است که معمولاً پیک بار سرمائی در حدود دو تا چند برابر متوسط بار سرمایی در طول روز می باشد. این مورد همچنین در بعضی از فضاهای صنعتی نیز به چشم می خورد در واقع هر چه نسبت بار پیک به بار متوسط بیشتر باشد پتانسیل بیشتری برای استفاده از این سیستم وجود دارد.

استفاده از سیستم ذخیره کننده در مواردی که یک سیستم سرمایش نیاز به توسعه داشته باشد بسیار می تواند اقتصادی باشد. این امر زمانی اتفاق می افتد که یک ساختمان بزرگتر شده و یا تغییراتی در

آن اعمال شده باشد که در نهایت منجر به افزایش بار سرمایشی مورد نیاز در تابستان شود. با افزایش سیستم ذخیره به سیستم سرمایش موجود می‌توان از توان سرمایشی دستگاهها در ساعت‌های غیر پیک نیز استفاده نمود و قطعاً هزینه افزودن یک تانک ذخیره به سیستم قبلی بسیار کمتر از افزودن یک سیستم جدید با ظرفیت بالاتر خواهد بود.

در بعضی موارد صنعتی که برای مصارفی نظیر آتش نشانی تانک آب وجود دارد و یا منبع با استفاده ای در دسترس است می‌توان از آن برای این منظور استفاده نمود. مخصوصاً تانک ذخیره آب آتش نشانی را با اعمال تغییرات اندکی می‌توان مورد بهره برداری دو منظوره قرار داد. بدین صورت که در موقع معمول به عنوان ذخیره آب سرد عمل کرده و در موقع حريق با بستن و باز شدن چند شیر به طور اتوماتیک از آن برای عملیات اطفاء بهره جست.

از دیگر مواردی که کاربرد این سیستم توجیه پیدا می‌کند می‌توان به مواردی اشاره نمود که در آن تجهیزات سرد کننده نظیر چیلر، برج خنک کن و . . . به صورت وارداتی خریداری می‌شوند. در این مواقع هزینه تهیه این اقلام بالاتر از حد معمول خواهد بود. با طراحی چنین سیستمی می‌توان ظرفیت چیلر را تا حد زیادی کاهش داده و لذا موجبات تعديل در هزینه‌ها را فراهم نمود.

۱-۳-۳ روشهای ذخیره سازی

روش‌های ممکن برای ذخیره سازی سرمایش در ساختمانها را بر اساس سه مشخصه کلی می‌توان تقسیم بنده نمود: ماده ذخیره کننده، منبع انرژی اولیه و تکنولوژی ذخیره. به اجمال می‌توان گفت ماده ذخیره کننده می‌تواند آب سرد، یخ و یا نمکهای یوتکتیکی باشد. انرژی اولیه برای تولید سرمایش شامل گاز طبیعی، انرژی الکتریکی، بخار و یا حرارت بازیافت شده از یک سیستم گرمایی دیگر باشد. از تکنولوژیهای ذخیره می‌توان به سیستم تانک آب سرد، یخ روی لوله، یخ روی کویل و کیسه‌های یخی نام برد که در ادامه توضیحات لازم در مورد هر کدام ارائه خواهد شد.

۱-۳-۴ ماده ذخیره کننده

همانطور که قبلا اشاره شد مرسوم ترین مواد مورد استفاده در این صنعت، آب، یخ و نمکهای فاز متغیر یوتکتیکی^۱ می باشد. مقدار انرژی قابل ذخیره در واحد حجم این مواد با یکدیگر متفاوت است. همچنین دمای ذخیره و نیازمندیهای فیزیکی و مکانیکی برای ذخیره سازی هر کدام با یکدیگر تفاوت دارد و این تفاوت باعث گستردگی ترشدن دامنه کاربرد این سیستم می شود.

۱-۴-۱ آب سرد

در این روش از ظرفیت حرارتی محسوس آب $\frac{kJ}{kg \cdot K}$ ۴.۱۸ برای ذخیره سازی انرژی استفاده می شود. تجربه نشان می دهد اختلاف دمای $(20F^{\circ})$ $(11C^{\circ})$ بهترین و کاراترین اختلاف دما برای اکثر کاربردها می باشد. این در حالی است که در بعضی موارد سیستم هایی با اختلاف دمای $(30F^{\circ})$ $(17C^{\circ})$ نیز مورد استفاده قرار گرفته اند.

حجم آب ذخیره شده در درجه اول به اختلاف دمای بین آب رفت و برگشت و در درجه دوم به میزان جدایش آب رفت و برگشت بستگی پیدا می کند. میزان جدایش آب رفت و برگشت در تکنولوژیهای مختلف متفاوت است. معمولا در سیستمهای با اختلاف دمای $(20F^{\circ})$ $(11C^{\circ})$ معادل $0.0788 \frac{m^3}{kwh}$ در نظر گرفته می شود.

آب سرد با دمایی در $(45F^{\circ})$ $(7C^{\circ})$ در تانک ذخیره می شود و این دما با اکثر چیلرهای معمولی و سیستم های توزیع مناسب است. [۶]

^۱ Eutectic variable phase

۱-۳-۴-۲-یخ

سیستم های ذخیره کننده یخ از انرژی نهان ذوب یخ $\frac{kj}{kg}$ ۳۵۵ بهره می برند. انرژی حرارتی در دمای

انجماد آب در آن ذخیره می شود. برای ذخیره این انرژی سیستم تبرید مورد استفاده بایستی بتواند مایع شارژ کننده را در دمای ۳- تا ۹- درجه سانتیگراد فراهم کند. این دما معمولاً پایین تر از دمایی است که چیلرهای استاندارد می توانند تامین نمایند.

همچنین دمای کارکرد سایر اجزای سیستم تهویه مطبوع در این دامنه نمی گنجد. بسته به تکنولوژی ذخیره سازی یخ، تجهیزات و لوازم دیگری نیز مورد نیاز خواهد بود.

حجم مخزن مورد استفاده در این سیستم به نسبت یخ به آب در مخزن کاملاً شارژ شده بستگی دارد و

$$\text{معمولتا در حدود } \frac{m^3}{kwh} (0.2-0.3) \text{ می باشد.}$$

۱-۳-۴-۳- ذخیره سازی انرژی در مواد دارای فاز متغیر^۱

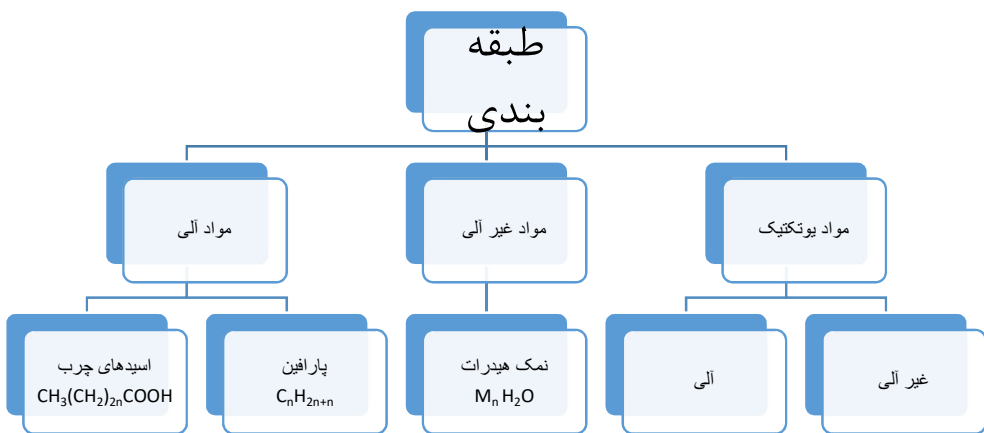
روش های غیر متعارف ذخیره سازی انرژی به صورت محسوس ، باعث بروز مواد(PCM) شده است، که قابلیت آنها در ذخیره سازی انرژی به صورت بالایی می باشد و این کار در دمای ثابتی صورت می گیرد. این مواد می توانند ذخیره نمودن انرژی هم جهت سرمایش و هم جهت گرمایش مورد استفاده قرار گیرند.

در حالت کلی(PCM) ها می توانند به صورت مواد استوانه ای شکل در نظر گرفته شوند که جنس آنها از مصالحی نظیر بتن یا سنگ گچ و یا غیره می باشد.

^۱ Phase Change Material

۵-۳-۱ طبقه بندی مواد دارای تغییر فاز

(PCM) ها در رنج های محدوده های دمایی گوناگونی قرار دارند. یک طبقه بندی از آنها با توجه به خاصیت آنها در شکل زیر آمده است.



شکل (۱-۸): نمودار طبقه بندی PCM ها

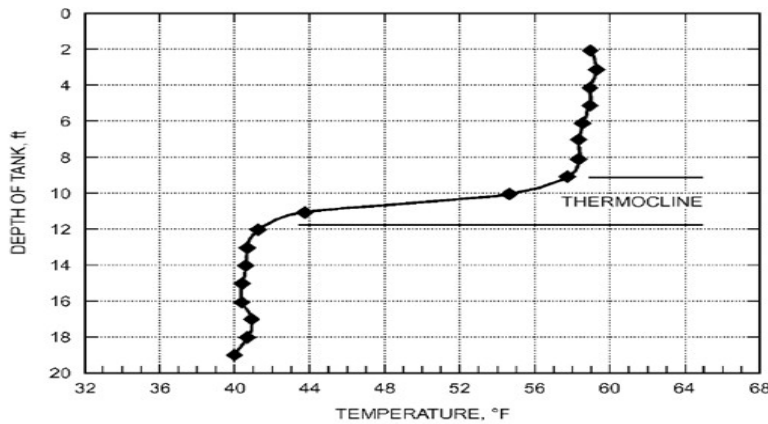
۷-۳-۱ تکنولوژی های ذخیره سازی

۱-۷-۳-۱ ذخیره کننده آب سرد

آب سرد تهیه شده در یک تانک ذخیره می شود و در وقت لزوم مصرف می گردد. در این روش، از انرژی حرارت محسوس آب برای ذخیره سازی سرمایشی استفاده می شود. آب در طی ساعات غیر پیک شب توسط یک پمپ بین مخزن و اوپرатор سیستم تبرید جریان داشته و پس از سرد شدن در داخل مخزن برای استفاده در ساعات پیک جمع آوری می شود. با اضافه کردن برخی از مواد ظرفیت حرارتی محلول افزایش می یابد و در نتیجه می توان تفاوت بین دماهای ورودی و خروجی آب از مخزن را افزایش داد که در این صورت حجم مخزن کاهش می یابد.

عملکرد ذخیره سازی طبقه بندی شده بستگی به توانایی ذخیره آب گرم و سرد را دارد و در طی ذخیره سازی آن به شدت تحت فشار قرار می گیرد. منطقه بین آب گرم و سرد در مخزن ذخیره سازی، جایی

که گرadiان درجه حرارت بالا وجود دارد، thermocline نامیده می شود و ضخامت آن باید کوچک باشد. افزایش ضخامت ترموکالین در زمان، منجر به از دست دادن ظرفیت خنک کننده می شود. ثبیت در مخزن ذخیره سازی به طور عمد بستگی به اختلاف دمای ورودی و خروجی دارد. در شکل (۹-۱)



شکل (۹-۱) پروفیل تغییر دما در مخزن ذخیره سازی آب سرد [۷]

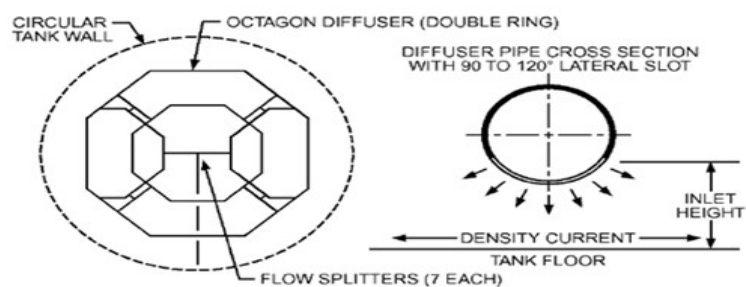
نمودار تغییر دمایی را در مخزن ذخیره آب را نشان می دهد، هرچه ضخامت لایه ترموکالین کمتر باشد حجم مخزن ذخیره سازی کمتر و راندمان سیستم بالاتر است.

به دلیل استفاده از آب سرد برای ذخیره سازی و همچنین استفاده از گرمای محسوس آب، اندازه این مخازن بزرگ بوده و گاهی مانند یک ساختمان غول پیکر به صورت استوانه ای ساخته می شوند.

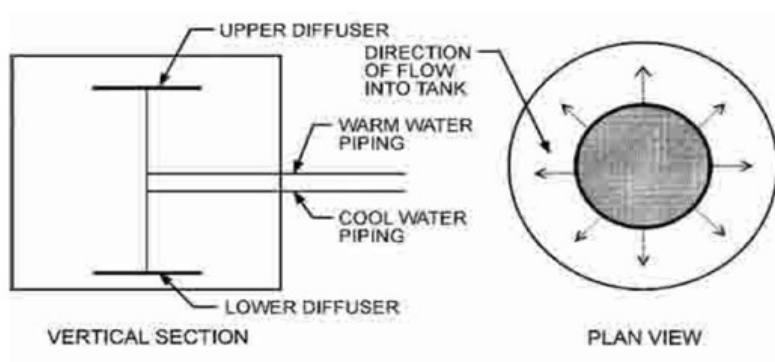
برای به وجود آمدن پدیده ترموکالین در مخزن ذخیره سازی آب سرد از دو دفیوزر در بالا و کف مخزن استفاده می کنند تا جریان آرام و لایه ای به وجود آمده و آب سرد رفت و برگشت با یکدیگر مخلوط نشوند. دفیوزر ها در نوع دیسکی و چند ضلعی بوده که دفیوزر های دیسکی دارای افت فشار کمتر بوده و بهتر می باشند. در شکل (۱۱-۱) دفیوزر شعاعی و در شکل (۱۲-۱) نصب آن در مخزن ذخیره سازی آب سرد نشان داده است. در مخزن ذخیره سازی آب سرد، آب سرد رفت از چیلر از پایین وارد مخزن شده و آب سرد برگشتی از بالای مخزن وارد می شود.



شکل (۱۰-۱) مخازن ذخیره آب سرد [۷]



شکل (۱۱-۱) دفیوزر در مخازن ذخیره سازی [۷]



شکل (۱۲-۱) نحوه قرار گیری دفیوزر در مخزن [۷]



شکل (۱۳-۱) نحوه قرار گیری دفیوزر چند ضلعی در یک مخزن ذخیره آب سرد [۸]

۱-۳-۲-۷ تولید و انباست کننده یخ

در این سیستم یخ در جوار اوپراتور چیلر تولید شده و به صورت متناوب در تانکی از آب و یخ ریخته می شود و مخلوطی از آب و یخ ذخیره می شود.

۱-۴-۳ تکنیک های ذخیره سازی

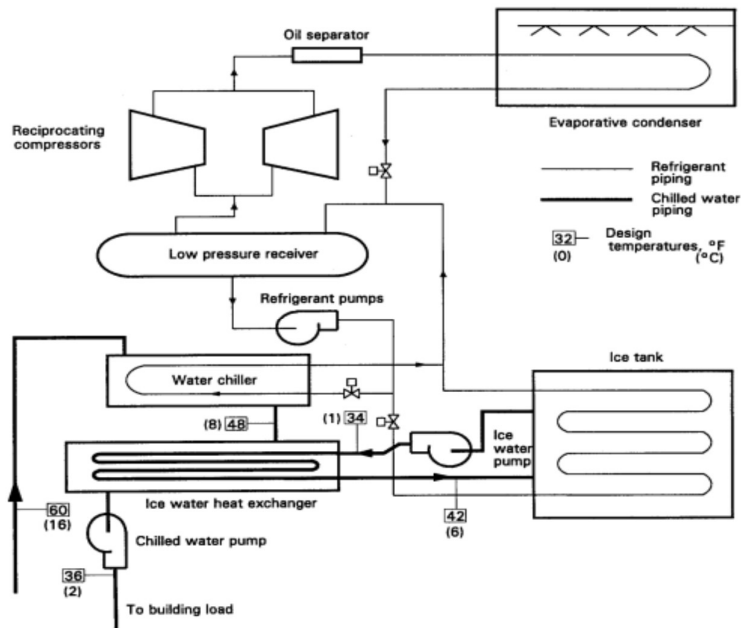
طراحان در سرتاسر جهان در طول سالیان دراز تکنیک های متفاوت و تعداد زیادی طرحهای منحصر به فرد ارائه داده اند، در ادامه به یک سری از این تکنیک ها اشاره شده است.

۱-۴-۱ سیستم های ذخیره سازی کامل

کل بار گرمایشی- سرمایشی را به دوره کمینه تقاضا انتقال می دهند و برای دستیابی به بهینه ترین حالت از لحاظ اقتصادی، منبع بار سرمایشی- گرمایشی هیچ گاه حین دوره اوج مصرف، مورد استفاده قرار نمی گیرد. سیستم ذخیره کامل برای کارکرد در ساعت پیک مصرف طراحی می شوند.

در این سیستم پیک تقاضای چیلر در ساعت کم مصرف می باشد، تا سیستم ذخیره توسط چیلر شارژ شود. این نوع سیستم ها بزرگتر و در نتیجه دارای چیلر گرانتری نسبت به سیستم ذخیره ساز جزئی می

باشند. سیستم های ذخیره کامل در هنگام تغییر شیفت جریان از پیک مصرف تا ساعات کم مصرف به ذخیره بیشتری دست پیدا می کنند.



شکل(۱۴-۱): سیکل ذخیره ساز سرمایشی به صورت یخ [۹]

سیستم کامل اکثراً جذبی می باشند هنگامی که نیاز به شارژ زیاد می باشد یا اختلاف تقاضاً بین ساعت پیک کم باشد و مصرف زیاد شود یا دوره تقاضای پیک مصرف کم باشد مورد استفاده قرار می گیرد.

۱-۸-۳-۲ سیستم های ذخیره ساز جزئی

در طول دوره های اوج تقاضا، با کاهش ظرفیت ذخیره سازی اولیه از منبع سرمایشی-گرمایشی استفاده می کنند. بطور کلی سیستم های ذخیره سازی جزئی در ساعات پیک مصرف، بخشی از بار سرمایی را بوسیله ذخیره و قسمت دیگر را به وسیله چیلر تامین می کنند. گونه هایی از تراز کردن بار برای عملکرد چیلر با ظرفیت کامل در ساعات پیک تقاضا طراحی می شوند.

وقتی بار کمتر از خروجی چیلر باشد، شارژ شدن صورت گرفته و هنگامی که بار بیشتر از خروجی چیلر باشد تخلیه انجام می شود.

براساس تراز بندی بار، اندازه و هزینه چیلر و اجزای ذخیره سازی بصورت کمینه طراحی می شوند. اما

ذخیره هزینه الکتریکی نسبت به سیستم با ذخیره کامل کمتر می باشد.^[۸]

۱-۳-۹ سیستم های محدود کننده تقاضا

این نوع سیستم ها بطور گسترده ای برای محدود کردن تقاضا حین دوره اوج به کار می روند و این تکنیک محدود کردن تقاضا نامگذاری می شود. این سیستم نوعی سیستم ذخیره سازی جزئی می باشد که به موجب آن ظرفیت مازاد به وسیله یک منبع ذخیره انرژی گرمایی کامل می شود.

برای این که ظرفیت مازاد زیر حد ماکزیمم تقاضای الکتریکی باقی بماند، تمام تکنیک های بالا می توانند طی یک سیکل روزانه (سیکل روزانه کامل - جزئی) یا دوره طولانی تر هفته ای یا فصلی (ذخیره سازی هفتگی کامل - جزئی) مورد استفاده قرار گیرد.

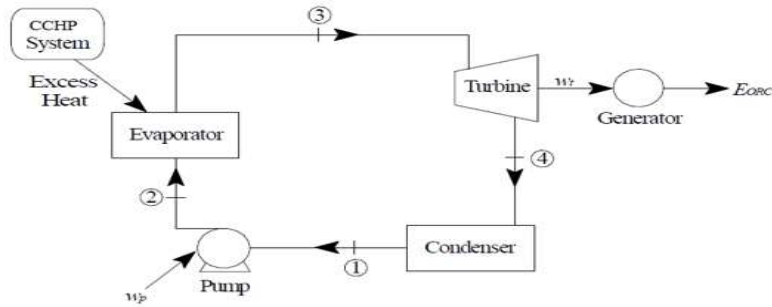
۱-۴-۱ سیکل ار گانیک رانکین

۱-۴-۱ مقدمه

سیکل ار گانیک رانکین در اوایل دهه ۷۰ میلادی ابداع شد. این سیکل مانند سیکل رانکین معمولی است اما با این تفاوت که سیال کاری آن مبرد یا هیدور کربن ها می باشد به این دلیل که دارای نقطه جوش پایین تراز آب می باشد. این سیکل با دمای پایین کار می کند به این معنی که منبع تامین گرما برای سیکل می تواند انرژی زمین گرمایی، گرمای تلافی از سیستم های تولید هم زمان و ... باشد.

۱-۴-۲ اجزای سیکل ار گانیک رانکین

اجزای اصلی این سیستم مانند سیکل رانکین شامل پمپ، اوپراتور یا تبخیر کننده، توربین یا اکسپندر و کندانسور می باشد و می توان برای افزایش راندمان در سیکل از مبدل حرارتی نیز استفاده کرد.



شکل(۱۵-۱) سیکل ارگانیک رانکین [۱۰]

۱-۸ جمع بندی

در این فصل که شامل سه قسمت بود و هر قسمت شامل موارد زیر می باشد:

در قسمت اول مقدمه ای بر این پژوهش آمده و همچنین مقدمه ای بر سیستم تولید هم زمان، مزایای آن، مقایسه سیستم های تولید هم زمان با سیستم های سنتی، تجهیزات و اجزا سیستم های تولید هم زمان سه گانه و همچنین مرور کلی بر هریک از این تجهیزات صورت گرفت. در قسمت دوم مقدمه ای بررسی سیستم های ذخیره سازی، تاریخچه، مواد کاربرد سیستم های ذخیره سازی، روش های ذخیره سازی، طبقه بندی آن ها، انواع سیستم ذخیره سازی صورت گرفت. چون که در این پژوهش از مخزن ذخیره سازی آب سرد استفاده شده است مخزن ذخیره سازی آب سرد به صورت جزئی بررسی شد. در قسمت سوم به معرفی سیکل ارگانیک رانکین پرداخته شد.

فصل دوم

مروایی بر کارهای پیشین

۱-۲ مقدمه

در این فصل، ابتدا به مروری بر کارهای پیشین در زمینه سیستم‌های تولید هم زمان پرداخته و سپس مروری بر کارهای پیشین در زمینه سیستم‌های ذخیره سازی صورت می‌گیرد. در انتهای به مقالات مرتبط با سیستم تولید هم زمان سه گانه همراه با سیستم ذخیره سازی می‌پردازیم.

۲-۲ مروری بر کارهای انجام شده در زمینه CCHP

مروری بر کارهای انجام شده در زمینه CCHP در ابعاد مختلفی می‌توان بررسی کرد که شامل مواردی چون نوع محرک‌های اولیه، نوع سیستم‌های خنک‌کننده، نوع کاربرد، نوع سوخت و نوع آنالیز انجام شده طبقبندی کرد. اما آنچه که در این پژوهش مهم‌تر است مرور تحقیقات انجام شده در زمینه انتخاب و مدل سازی یک سیستم تولید هم زمان سه گانه برای یک مکان خاص نظیر مکان اداری – آموزشی می‌باشد و همچنین بهینه سازی سیستم تولید هم زمان سه گانه نیز مد نظر می‌باشد.

امکان تجزیه و تحلیل CCHP با ذخیره انرژی حرارتی همراه با توربین کوچک، توسط لانگ وانگ^۱ و همکاران مورد بررسی قرار گرفت و نتیجه نشان می‌دهد که سیستم‌های CCHP با TES^۲ دارای هزینه‌های بالای سرمایه و مصرف انرژی و هزینه عملیات کمتر، در مقایسه با سیستم بدون TES است. و هزینه چرخه عمر سالانه سیستم CCHP با TES کمتر از سیستم بدون TES بود. علاوه بر این، مزیت اقتصادی سیستم CCHP با TES و خیم تراز سیستم تولید جداگانه متعارف^۳ (SP) است، اگر چه مصرف انرژی اولیه آن به طور قابل توجهی پایین تر از سیستم SP است. [۱]

طراحی و ارزیابی ترکیبی از خنک‌کننده، گرمایش و قدرت با استفاده از توربین گاز، جذب کننده چیلر و مخزن مجهز به حرارت در مقیاس میکرو توسط مسعود ابراهیمی و محمد سلیمان پور^۴ مورد بررسی

^۱ Lang Wang

^۲ thermal energy storage

^۳ separate production

^۴ Masood Ebrahimi, Mohammad Soleimanpour

قرار گرفت. نتایج نشان می دهد که ضریب عملکرد چیلر به $0/63^{\circ}$ رسیده و صرفه جویی در انرژی اولیه به 35% رسیده است. و از نظر آلایندگی محیط زیست کاهش CO_2 , CO و NOx از ۵ تا ۴۵ گرم، ۴ تا ۳۵ گرم و ۵ تا ۴۳ گرم در هر ساعت و برای توربین های کوچک گاز کاهش مصرف از ۱۵-۲۰ کیلو وات محاسبه می شود. [۱۲]

مایا لی و همکاران استفاده از یک چرخه CCHP را در سه کاربرد مختلف ساختمان هتل ها، دفاتر و ساختمان های مسکونی در دالیان، چین از نظر انرژی، اقتصادی و محیطی ارزیابی کردند. نتایج نشان می دهد که: (۱) هتل ها با توجه به مدل فرعی تحلیل انرژی با توجه به بارهای الکتریکی نسبتاً پایدار خود، بیشترین سهم (۴۲/۲۸ درصد) را برای صرفه جویی در انرژی دارند. (۲) سیستم های CCHP هزینه های کلی سالانه را برای تمام موارد عملیاتی در مقایسه با سیستم مرجع برای هتل ها و ادارات کاهش می دهد. با این حال، سیستم CCHP هیچ مزیت اقتصادی برای ساختمان های مسکونی ندارد. (۳) برنامه های کاربردی سیستم CCHP باعث کاهش میزان انتشار آلاینده ها در تمام موارد عملیاتی برای ساختمان های مورد مطالعه می شود. (۴) سیستم CCHP رانده شده توسط موتور گاز دارای عملکرد بهتر نسبت به توربین گاز است. همراه با منابع انرژی تجدید پذیر و با مخزن ذخیره سازی حرارتی، عمدها موارد عملی مطلوب از معیارهای انرژی، اقتصادی و محیطی است. [۱۳]

و و و نگ وضعیت توسعه سیستم های CCHP را مورد بررسی قرار دادند. چهار نمونه سیستم CCHP با فن آوری های موجود برای ظرفیت های مختلف را بررسی کردند. آن ها برخی از محرک های اصلی و فن آوری های فعال حرارتی را نیز به طور خلاصه معرفی کردند. آن ها نشان دادند که راندمان سیستم CCHP می تواند به اندازه ۷۰ تا ۹۰٪ باشد. این مقدار به طور قابل توجهی بالاتر از راندمان سیستم های مستقل متداول تأمین انرژی است. [۱۴]

مرزهای ترمودینامیکی صرفه جویی در انرژی در سیستم های CCHP معمولی توسط مینجی لی و همکاران مورد بررسی قرار گرفت که در این تحقیق، روش محاسباتی بهبود یافته ESR (نرخ صرفه

جویی انرژی) با توجه به تنظیمات انرژی ناشی از اثرات آب و هوایی بر اساس استانداردهای بین المللی یا مقررات مدیریت انرژی می باشد. نتایج نظری نشان داد که مناسب ترین کاربران CCHP باید نسبت گرما به برق خود را در محدوده ۰,۹ تا ۲,۸ (بدون تقاضای گرمایش) و یا ۰,۵ تا ۱,۳ (با تقاضای گرمایش) ارزش گذاری کنند. علاوه بر این، به ویژه در پکن، حداکثر ESR سیستم های CCHP بدون و با موارد تقاضای گرما به ترتیب ۳۲,۵٪ و ۳۸٪ است.^[۱۵]

استراتژی طراحی و عملیات بهینه برای ارزیابی یکپارچه سیستم CCHP توسط مایا لی^۱ و همکاران مورد بررسی قرار گرفت این پژوهش ارائه بهینه سازی سیستم CCHP در طراحی و بهره برداری از تجزیه و تحلیل انرژی، عملیات اقتصادی و دیدگاه های اثر محیطی می باشد. سیستم CCHP برای هتل ها، دفاتر و ساختمان های مسکونی در دالیان (چین) برای اثبات اثربخشی مدل ارائه شده است. روش ارزیابی و نظریه انتخاب بهینه فازی برای ارزیابی عملکرد یکپارچه سیستم های CCHP با استراتژی های عملیاتی مختلف مورد استفاده قرار می گیرند. نتایج نشان می دهد که: (۱) هتل ها با توجه به مدل فرعی تجزیه و تحلیل انرژی، به دلیل بارهای الکتریکی نسبتاً پایدار خود، بیشترین سهم (۴۲/۲۸ درصد) را به صرفه جویی در انرژی دارند. (۲) سیستم های CCHP هزینه های کلی سالانه را برای تمام موارد عملیاتی در مقایسه با سیستم مرجع برای هتل ها و ادارات کاهش می دهد. با این حال، سیستم CCHP هیچ مزیت اقتصادی برای ساختمان های مسکونی ندارد. (۳) برنامه های کاربردی سیستم CCHP باعث کاهش میزان انتشار آلاینده ها در تمام موارد عملیاتی برای ساختمان های مورد مطالعه می شود. (۴) سیستم CCHP توسط موتور گاز دارای عملکرد بهتر نسبت به توربین گاز است. همراه با منابع انرژی تجدید پذیر و با مخزن ذخیره سازی حرارتی، عمدتاً موارد عملی مطلوب از معیارهای انرژی، اقتصادی و محیطی است.^[۱۶]

^۱ Miao Li

مطالعات زیادی بر روی موتور احتراق داخلی به عنوان محرک اولیه سیستم‌های تولید همزمان سه‌گانه صورت گرفت. یک سیستم میکرو CCHP خانگی که شامل یک چیلر جذبی است توسط هانگ فو^۱ و همکاران مورد بررسی تجربی قرار گرفت. محققان عملکرد چیلر جذبی را تحت شرایط مختلف گرمایشی مورد مطالعه قرار دادند. آن‌ها دریافتند که تقریباً یک رابطه خطی بین چیلر جذبی با تغییر دمای آب گرم ورودی وجود دارد.^[۱۶]

مطالعات متفاوتی بر روی سیستم‌های تولید همزمان با محرک اولیه توربین گاز صورت گرفته است. برخی از مطالعات تنها بر اساس آنالیز انرژی بوده است. کالوا^۲ و همکاران برای ارزیابی سیستم‌های توربین گازی مختلف یک مدل ساده را توسعه دادند. آن‌ها بر اساس نتایج بدست آمده از مدل نحوه طراحی یک سیستم تولید همزمان سه‌گانه را نشان دادند. برخی از مطالعات بر اساس آنالیز انرژی و اقتصادی یک سیستم تولید همزمان سه‌گانه با محرک اولیه توربین گازی بوده است.^[۱۷]

۳-۲ مروی بر کارهای انجام شده در زمینه ذخیره سازی انرژی در قسمت تهویه مطبوع ارزیابی اقتصادی سیستم تهویه مطبوع با ذخیره آب سرد توسط هیولین^۳ و همکاران صورت گرفت. نتایج نشان می‌دهد که تفاوت قیمت در نمودار تغییر پیک و قیمت برق تنها عامل عملکرد اقتصادی نیست، عملکرد ترمودینامیکی سیستم ذخیره سازی عامل مهم‌تر در کارایی اقتصادی سیستم است.^[۱۸]

یک رویکرد جدید برای اندازه گیری یک سیستم تهویه مطبوع با ذخیره انرژی حرارتی سرد توسط لیوجی^۴ و همکاران صورت گرفت. در این کار، یک روش جدید برای طراحی سیستم‌های تهویه مطبوع با ذخیره انرژی حرارتی سرد توضیح داده شده و آزمایش شده است، یک مطالعه موردی برای چند ساختمان اداری در ایتالیا انجام شد. مشخصات مربوط به استراتژی عملیاتی گزارش شده است و ویژگی

^۱ Huangfu

^۲ Calva

^۳ Hu Lin

^۴ Luigi Mongibello

های مدل های تحلیلی مورد استفاده برای شبیه سازی عددی سیستم ذخیره سازی سرد نسبت به مطالعه مورد ایتالیایی نیز نشان داده شده است. نتایج مربوط به مطالعه موردي ایتالیا اثربخشی روش فعلی را در محدود کردن تعداد خاموش شدن و راه اندازی چیلر نشان داد.^[۱۹]

شبیه سازی سیستم تهویه مطبوع یخ با قیمت گذاری پویای برق: مطالعه پاسخ تقاضاً توسط چی چان^۱ و همکاران مورد بررسی قرار گرفت. نتایج شبیه سازی نشان می دهد که راه حل های معقول ارائه یک چارچوب عملی و انعطاف پذیر را قادر می سازد پاسخ تقاضای سیستم های تهویه مطبوع ذخیره یخ بهینه سازی صرفه جویی در انرژی خود و بهره وری عملیاتی و ارائه بهره وری انرژی بیشتر را نشان می دهد. این مقاله همچنین بهره وری انرژی بیشتر را در توزیع چیلرها و ذخیره سازی یخ، در نتیجه کاهش هزینه ی برق کاربر را دارد.^[۲۰]

بهینه سازی حرارتی اقتصادی یک سیستم ذخیره انرژی یخ برای برنامه های تهویه مطبوع توسط سپهر صنایع و علی شیرازی^۲ مورد بررسی قرار گرفت. نتایج یک مطالعه موردي نشان داد که به طور متوسط، میزان مصرف سالانه برق و انتشار CO₂ از سیستم ITES نسبت به یک سیستم خنک کننده معمولی به ترتیب ۹٪ و ۹/۸٪ کاهش یافته است. علاوه بر این، هزینه اضافی سیستم ITES نسبت به یک دستگاه معمولی جبران شد و طی ۳,۴۳ سال بهبود یافت.^[۲۱]

تأثیر ذخیره یخ بر مصرف انرژی الکتریکی در ساختمان های اداری توسط فیکه سهر^۳ و همکاران مورد بررسی قرار گرفت. در این تحقیق تأثیر سیستم های ذخیره یخ بر مصرف انرژی خنک کننده برای ساختمان های بزرگ و متوسط در مناطق مختلف آب و هوایی مورد بررسی قرار گرفته است. یافته های تحقیق نشان می دهد که سیستم های ذخیره یخ انرژی مصرفی بیشتر از سیستم های بدون ذخیره و علت آن عملیات روزانه و شبانه چیلر است. مصرف انرژی چیلر برای سیستم های ذخیره یخ، بستگی به

^۱ Chi-Chun Lo

^۲ Sepehr Sanaye*, Ali Shirazi

^۳ Fakhea Sehar

شرایط آب و هوازی دارد. با این حال نتایج حاصل از این مقاله اطلاعات ضروری برای صرفه جویی در مصرف انرژی مورد نیاز برای تجزیه و تحلیل هزینه ها را فراهم می کند.[۲۲]

بهینه سازی سیستم تهویه مطبوع یخ با استفاده از روش برنامه ریزی پویا توسط هیو جیون چن^۱ و همکاران مورد بررسی قرار گرفت. در این مقاله بهینه سازی یک سیستم تهویه مطبوع تهویه یخ با در نظر گرفتن حداقل هزینه ی چرخه عمر و کارایی مخزن ذخیره یخ مورد بررسی قرار گرفت. بهینه سازی برای دستیابی به ظرفیت چیلر مطلوب، ظرفیت ذخیره سازی یخ و شرایط عملیاتی انجام می شود. چیلر با ضریب مصرف کم انرژی می تواند هزینه انرژی را کاهش دهد. در ترتیب لوله گذاری، حالت اولویت خنک کننده عملکرد بهتر چیلر را ارائه می دهد، زیرا دمای آب ورودی سرد بالاتر باعث ضریب عملکرد بهتر می شود. برای برآورد بار خنک کننده ساختمان های عادی، اولویت یخ هزینه های چرخه کارکرد را نسبت به اولویت های چیلر کاهش می دهد و سریعتر بازپرداخت می یابد.[۲۳]

تجزیه و تحلیل اقتصادی ذخیره سرمایش در سیستم های تهویه مطبوع توسط لی^۲ و همکاران صورت گرفت. مطالعه موردی برای نشان دادن کاربرد مدل توسعه یافته انجام شده است. با استفاده از این مدل، تجزیه و تحلیل اقتصادی ذخیره سازی آب سرد، ذخیره یخ و سیستم ذخیره سازی نمک های یوتکتیک انجام می شود. نتایج تجزیه و تحلیل اقتصادی با جزئیات مقایسه و مورد بحث قرار گرفته است. [۲۴] نتایج نشان می دهد که سیستم ذخیره سازی آب سرد بهترین طرح در سه سیستم تهویه مطبوع سرد است.

^۱ Chen, H.J

^۲ H. Li

۴-۲ مروری بر کارهای انجام شده در زمینه CCHP همراه با ذخیره ساز انرژی

بهینه سازی طراحی و تجزیه، ترکیب سیستم زیست توده با سیستم خنک کننده، گرمایش و برق با سیستم های ذخیره انرژی حرارتی توسط مارتینا کلینانو^۱ و همکاران مورد بررسی قرار گرفت. این استراتژی عملیاتی برای انجام بهینه سازی اقتصادی طراحی دو دستگاه از ترکیب خنک کننده، گرمایش و سیستم قدرت، یعنی چیلر جذبی و سیستم ذخیره سازی، اتخاذ می شود. تجزیه و تحلیل حساسیت به منظور ارزیابی اثر انگیزه برای تولید برق بر نتایج بهینه شده انجام شده است، و نیز به طور جداگانه، تأثیرات تغییر سایز چیلر جذبی و تاثیرات تغییرات سیستم ذخیره انرژی حرارتی بر روی عملکرد سیستم بررسی شد. علاوه بر این، یک سیستم ذخیره انرژی حرارتی سرد نیز تحلیل می شود، همچنین فرض می شود که مقادیر مختلفی برای هزینه سیستم ذخیره سازی سرد وجود دارد. نتایج تجزیه و تحلیل حساسیت نشان می دهد که بیشترین عامل تأثیرگذار از دیدگاه اقتصادی از طریق انگیزه برای تولید برق و توان چیلر جذبی نشان داده شده است. نتایج همچنین نشان می دهد که استفاده ترکیبی از ذخیره انرژی حرارتی و ذخیره انرژی حرارتی سرد در فصل گرم می تواند یک راه حل مناسب از دیدگاه اقتصادی

[۲۵] باشد

ارزیابی سیستم های ترکیبی خنک کننده، گرمایش و برق (CCHP) با واحد ذخیره انرژی در مکان های مختلف توسط لین شی^۲ و همکاران صورت گرفت و نتایج زیر حاصل شد: ترکیب واحد های ذخیره انرژی^۳ (ESUs)، اجزای سیستم های خنک کننده، گرمایش و برق ترکیبی (CCHP) را قادر می سازد تا به طور ثابت مقیاس های سیستم کاهش یابد. در فرضیه "اولویت خنک سازی"، دو موقعیت بالقوه ESU ها که به صورت جداگانه تکنولوژی های مختلف ذخیره سازی انرژی را نشان می دهند، به بررسی موقعیت و عملکرد آنها بر میزان صرفه جویی انرژی^۴ (ESRs) سیستم های CCHP پرداخته

^۱ Martina Calianoa

^۲ Lin Shi

^۳ Energy storage unit

^۴ Energy saving rate

اند. بحث و بررسی دقیق به منظور بررسی اینکه پارامترهای مهم (کارایی مصرف انرژی و ضریب عملکرد) ESRs از سیستم های CCHP بررسی شد، انجام شد. تجزیه و تحلیل نظری نشان داده است که چگونه تقاضای انرژی الکتریکی تاثیر متقابل بر نتایج نهایی داشته است. هنگامی که سیستم های CCHP تنها می توانند تقاضای برق را برآورده کنند، یک سیستم ذخیره سازی سرد توصیه می شود که بین چیلر جذبی و کاربر CCHP نصب شود. اگر برق اضافی از شبکه برای پاسخگویی به تقاضای انرژی الکتریکی مورد نیاز باشد، انتخاب مکان های ESU بستگی به راندمان هر دو شبکه و واحد تولید انرژی سیستم CCHP خواهد بود.^[۲۶]

خنک کننده ترکیبی، همراه با سیستم CCHP توسط فیومو^۱ و همکاران مورد بررسی قرار گرفت و به طور کلی نتایج نشان داد که کاهش انرژی اولیه برای سیستم های CCHP hybridcooling بیشتر از سیستم CCHP که تنها با چیلر جذبی کار می کنند باشد.^[۲۷]

استراتژی عملیاتی یک ساعتی یک سیستم CCHP با GSHP و ذخیره انرژی حرارتی^۲ (TES) تحت بارهای متغیر(مطالعه موردنی) توسط وی لیو جیونیا^۳ و همکاران مورد بررسی قرار گرفت، که در این پژوهش یک سیستم CCHP با ذخیره انرژی حرارتی (TES) به عنوان یک ایستگاه انرژی استفاده می شود که معمولاً شامل یک واحد تولید انرژی^۴ (PGU)، یک دستگاه جذب^۵ (AM)، دو پمپ گرم کننده زمین^۶ (GSHP)، یک مخزن ذخیره سازی^۷ (ST) و دو چیلر الکتریکی^۸ (EC) می باشد. PGU موجود بین توربین گاز و موتور احتراق داخلی^۹ (ICE) مقایسه شد و استراتژی های عملیاتی ساعتی با بارهای

^۱ N Fumo

^۲ thermal energy storage

^۳ Wei Liua

^۴ power generation unit

^۵ absorption machine

^۶ ground source heat pumps

^۷ storage tank

^۸ electric chillers

^۹ internalcombustion engine

خنک کننده و حرارت مختلف مورد تجزیه و تحلیل قرار گرفت. اثرات زیست محیطی نیز محاسبه شد. نتایج نشان می دهد که ICE برای ایستگاه انرژی مناسب تر است. TES کاهش می دهد ۱۵,۸٪. کل ظرفیت نصب شده خنک کننده و ۳۷,۵٪ کل سیستم گرمایش نصب شده سیستم CCHP کاهش می یابد. استراتژی های عملیاتی ساعتی باید با شرایط آب و هوایی تغییر کند. این نتایج بسیار مفید هدایت سیستم CCHP در پروژه های مهندسی هستند. [۲۸]

تجزیه و تحلیل مقایسه ای در استراتژی های عملیاتی سیستم CCHP با ذخیره سازی حرارتی سرد برای یک مرکز داده توسط زو سونگ^۱ و همکاران صورت گرفت. در این کار، عملکرد سیستم CCHP را تحت دو استراتژی عملیاتی مختلف، یعنی پیرو بار حرارتی^۲ (FTL) و پیرو بار الکتریکی^۳ (FEL) ارزیابی می شود. ارزیابی با استفاده از نرم افزار TRNSYS انجام می شود. در سیستم FEL، مقدار سرمایش تولید شده توسط چیلر جذبی بزرگتر از بار خنک کننده است و بنابراین می تواند در زمان خاموش شدن ذخیره شده و دوباره استفاده شود. نتایج نشان می دهد که سیستم های تحت هر دو عمل استراتژی ها در زمینه صرفه جویی در انرژی و حفاظت از محیط زیست مزایایی دارند. بزرگترین درصد کاهش مصرف انرژی اولیه، انتشار CO₂ و هزینه عملیاتی سیستم FEL، به ترتیب ۱۸,۵٪. و ۴۶,۵٪. ۳۷,۴٪ است. علاوه بر این، عملکرد سیستم به طور دقیق بستگی به انتخاب تجهیزات دارد. رابطه بین مقدار انرژی حاصل از ذخیره سازی حرارتی سرد و مصرف انرژی اولیه نیز مورد توجه قرار گرفته است. علاوه بر این، معرفی ذخیره انرژی سرد می تواند نسبت انرژی به قدرت را در سمت عرضه انرژی نزدیک به سمت مصرف کننده تنظیم کند و در نتیجه، انعطاف پذیری سیستم و بهره وری انرژی را ارتقا دهد. [۲۹]

^۱ Xu Song

^۲ following thermal load

^۳ following electric load

امکان تجزیه و تحلیل CCHP با ذخیره انرژی حرارتی همراه با توربین کوچک توسط لانگ وانگ^۱ و همکاران مورد بررسی قرار گرفت. این سیستم خنک کننده، گرمایش و برق ترکیبی (CCHP) با ذخیره انرژی حرارتی^۲ (TES) که توسط توربین کوچک هدایت می شود، در این مقاله مورد بررسی قرار گرفته است که در رستوران و ساختمان تجاری مورد استفاده قرار می گیرد. تأثیر معرفی TES بر عملکرد انرژی و اقتصادی سیستم CCHP مورد تجزیه و تحلیل قرار گرفته است. نتیجه نشان می دهد که سیستم های TES با CCHP دارای هزینه های بالای سرمایه و مصرف انرژی و هزینه عملیات کمتر، در مقایسه با سیستم بدون TES است. و هزینه چرخه عمر سالانه سیستم CCHP با TES کمی کمتر از سیستم بدون TES بود. علاوه بر این، مزیت اقتصادی سیستم CCHP با TES بدتر از سیستم تولید جداگانه متعارف^۳ (SP) است، اگر چه مصرف انرژی اولیه آن به طور قابل توجهی پایین تر از سیستم SP است.^[۲۸]

۲-۵ مروری بر کارهای انجام شده در زمینه CHP و CCHP همراه با سیکل ارگانیک رانکین

در سیستم های تولید هم زمان ممکن است بار حرارتی تامین شده توسط سیستم زیاد تر از مقدار مورد نیاز کاربران باشد در این صورت می توان گرمایی اضافی را در سیکل ارگانیک رانکین استفاده کرده و از این گرما اضافی برق تولید کرد.

السلیما^۴ و همکاران عملکرد انرژی سیستم های تولید همزمان سه گانه بیومس^۵، پیل سوختی^۶ و خورشیدی^۷ را با هم مقایسه کردند. پارامترهای مورد بررسی در این مقاله راندمان انرژی، مقدار برق

^۱ Lang Wang

^۲ thermal energy storage

^۳ Separate production

^۴ Al-Sulaiman

^۵ Biomass-Trigeneration

^۶ SOFC-Trigeneration

^۷ Solar-Trigeneration

تولیدشده، نسبت برق تولیدشده به گرمایش و سرمایش تولید شده و میزان انتشار آلایندگی تولید شده است. این مطالعه نشان می‌دهد که سیستم تولید همزمان سه‌گانه پیل سوختی مذاب جامد دارای بهترین راندمان الکتریکی بین بقیه سیستم می‌باشد. این پژوهش انجام شده، نشان می‌دهد که سیکل ارگانیک رانکین دارای فواید زیادی برای تولید برق در انرژی حرارتی که با دمای پایین کار می‌کنند می‌باشد و ترکیب آن با سیستم‌های تولید همزمان دارای مزایای خوبی است.^[۳۰]

استفاده از ترکیب سیکل ارگانیک رانکین با سیستم تولید هم زمان سه‌گانه برای تولید برق بیشتر از حرارت مازاد تولیدی توسط سیستم تولید هم زمان سه‌گانه نیاز به تحقیقات بیشتری دارد.

فنگ^۱ و همکاران بر روی یک سیستم تولید هم زمان با سیکل ارگانیک رانکین مطالعاتی را انجام دادند. از ویژگی‌های این سیستم این است که نسبت برق خروجی به انرژی گرمایی خروجی با تغییر بار چیلهای برقی به صورت دینامیکی قابل تنظیم می‌باشد. مطالعات موردی بر اساس یک سیستم سه‌گانه بر پایه سیکل ارگانیک رانکین برای یک هتل در پکن انجام شد. مصرف انرژی اولیه، انتشار دی اکسید کربن و هزینه اجرا سیستم پیشنهادی سیستم سه‌گانه همراه با سیستم ارگانیک رانکین بهتر از سیستم تولید هم زمان سه‌گانه معمولی می‌باشد.^[۳۱]

۲-۶ ضرورت انجام کار و جنبه‌های نوآوری

در فصل ۲ سیستم‌های مختلفی مورد بررسی قرار گرفت. ترکیب سیستم تولید هم زمان سه‌گانه با سیستم ذخیره ساز آب سرد و سیکل ارگانیک رانکین جنبه نوآوری پژوهش و برتری نسبت به کارهای پیشین می‌باشد. با ارزیابی سیستم‌های مختلف در این زمینه به نتایج مهمی در مورد ترکیب سیستم تولید هم زمان سه‌گانه با سیستم ذخیره ساز پرداخته و از نظر اقتصادی مورد تحلیل قرار می‌گیرد.

^۱ Fang

فصل سوم

مدل سازی و معادلات حاکم

۱-۳ مقدمه

در این فصل به مدل سازی سیستم CCHP همراه با سیستم ذخیره ساز انرژی و سیکل ارگانیک رانکین می پردازیم. این سیستم از سه قسمت اساسی که شامل یک سیستم CCHP و یک سیستم ذخیره ساز انرژی سرد می باشد و سیکل ارگانیک رانکین تشکیل شده است. سیستم CCHP شامل یک محرک اولیه، سیستم بازیافت حرارتی که شامل دو مبدل حرارتی، یکی از مبدل ها برای بازیافت گرمای آب جکت^۱ موتور و مبدل دوم برای بازیافت گرمای گاز خروجی از موتور می باشد و چیلر جذبی تک اثره از نوع لیتیوم بروماید می باشد و سیستم ذخیره ساز انرژی شامل مخزن ذخیره آب سرد و پمپ و متعلقات آن می باشد و سیستم ارگانیک رانکین که از پمپ، اوپراتور، کندانسور و توربین تشکیل شده است.

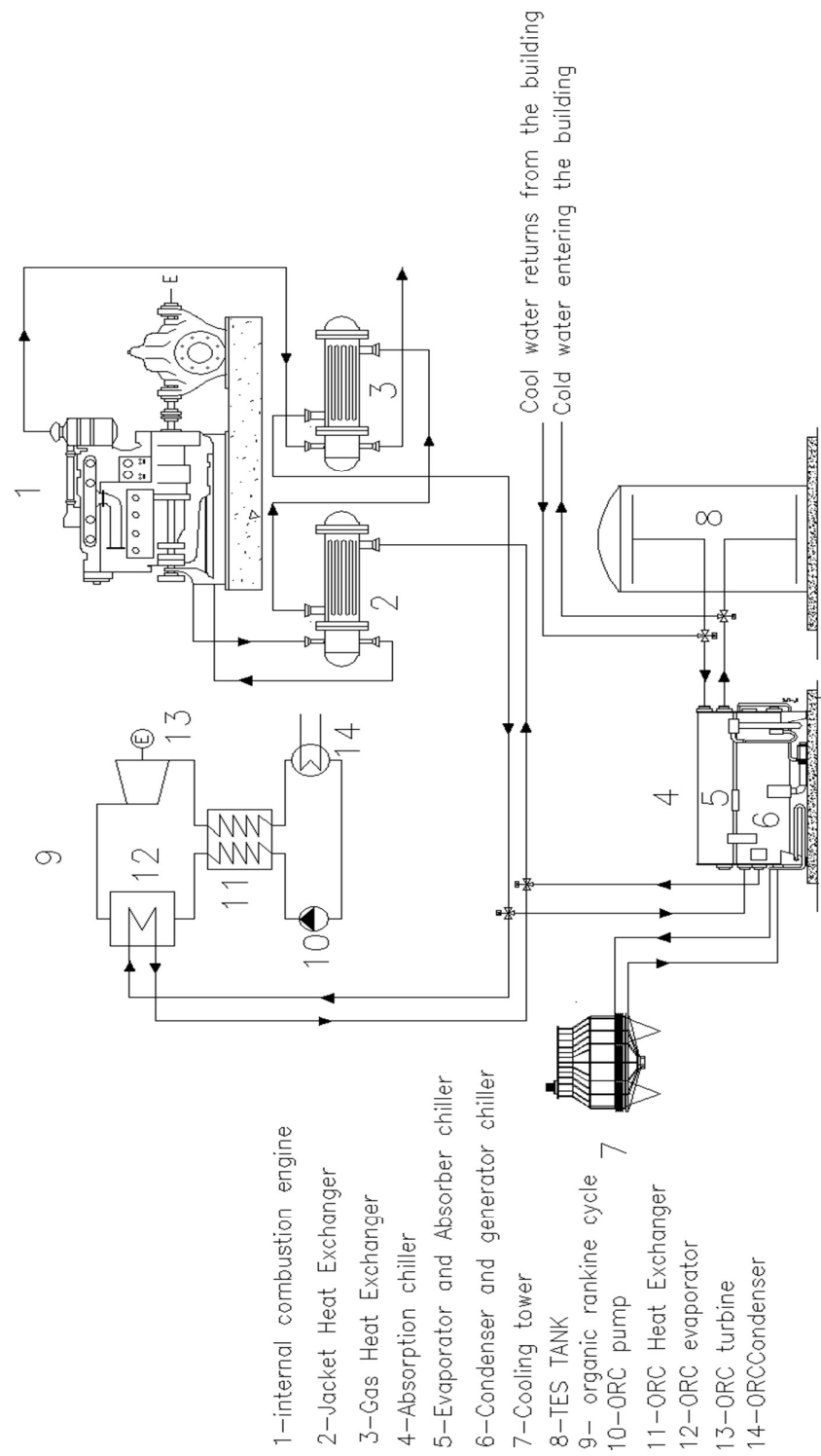
۲-۳ نمای کلی سیستم فرضیات و روابط حاکم بر مدل سازی سیستم

۱-۲-۳ نمای کلی سیستم

در این بخش به سیستم کلی که برای این پژوهه مد نظر است می پردازیم.

این سیستم از یک موتور احتراق داخلی با سوخت مصرفی گاز، جهت تولید برق و استفاده از گرمای بازیافتی موتور، دو مبدل حرارتی جهت بازیافت حرارت، یک سیستم ذخیره ساز حرارتی آب سرد، جهت ذخیره آب سرد، یک دستگاه چیلر جذبی تک اثره لیتیوم بروماید جهت تولید آب سرد و یک سیستم ارگانیک رانکین جهت تولید برق تشکیل شده است.

^۱ Jachat



شكل (۳-۱) نمای کلی سیستم تولید هم زمان سه گانه همراه با ذخیره ساز حرارتی و سیکل ارگانیک رانکین

۲-۲-۳ فرضیات سیستم

- وضعیت سیستم در حالت پایا^۱ قرار دارد.
- افت فشار و اتلافات حرارتی در لوله‌ها و مبدل‌ها ناچیز است.
- تغییرات انرژی جنبشی^۲ و انرژی پتانسیل^۳ ناچیز است.
- مبدل‌ها غیر همسو هستند.
- سیستم قادر به برآورده کردن انرژی مورد نیاز کاربران است.
- سیستم در مکانی احداث گردیده که دسترسی به شبکه برق داریم.

حال به بررسی هر سیستم به صورت جداگانه می‌پردازیم.

۳-۲-۳ روابط حاکم محرکه اولیه

محرك اوليه شامل يك موتور گاز سوز می باشد که در شکل (۲-۳) شماتيك اين سیستم نشان داده شده است. موتور به صورت يك سطح کنترل در نظر گرفته شده است، ورودی و خروجی ها به صورت زير می باشد.

وروادي ها

- سوخت گاز با توجه به ظرفیت موتور.
- هوا ورودی که توسط موتور مصرف می‌شود.

خروجی ها

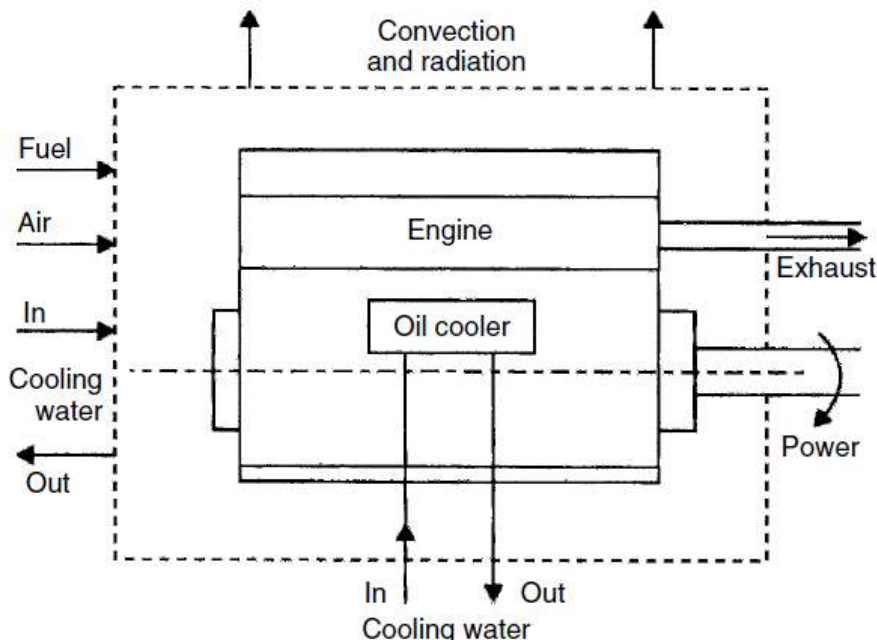
- برق تولیدی توسط موتور.

^۱ Steady State

^۲ Kinetic energy

^۳ potential energy

- گاز اگزاست^۱ خروجی از اگزو موتور
- آب خروجی از جکت موتور
- گرمای اتلافی به محیط اطراف شامل جایی و تشعشع^۲



شکل (۲-۳) انرژی های ورودی و خروجی از یک موتور احتراق داخلی [۳۲]

با توجه به رابطه بین اجزای موتور رابطه به صورت کلی بیان می شود[۳۳]:

$$Q_f = P_s + (Q_{exhaust} - Q_a) + Q_{jacket} + Q_{cr} \quad (1-3)$$

که هر کدام درون معادله به صورت زیر می باشد:

انرژی حاصل از احتراق سوخت در موتور بر حسب کیلو وات: $= Q_f^3$

^۱ exhaust

^۲ convection and radiation

^۳ combustion energy of fuel

$$Q_f = \dot{m}_f * LHV * 10^{-3} \quad (۲-۳)$$

\dot{m}_f دبی جرمی برحسب $(\frac{\text{kg}}{\text{s}})$ و LHV^* ارزش حرارتی پایین سوخت و برحسب $(\frac{\text{J}}{\text{kg}})$

$=$ مقدار برق تولیدی توسط موتور بر حسب کیلو وات. P_s

$=$ مقدار گرمای خروجی از اگزاست: $Q_{exhaust}^*$

$$Q_{exhaust} = (\dot{m}_f + \dot{m}_a) C_p T_e \quad (۳-۳)$$

T_e دبی جرمی هوا بر حسب $(\frac{\text{kJ}}{\text{kg.K}})$ و C_p^* گرمای ویژه هوا در فشار ثابت بر حسب $(\frac{\text{kg}}{\text{s}})$ و \dot{m}_a

دمای گاز خروجی بر حسب درجه کلوین.

$=$ آنتالپی هوا ورودی: Q_a^*

$$Q_a = \dot{m}_a C_p T_a \quad (۴-۳)$$

دمای هوا بر حسب درجه کلوین. T_a

$=$ گرمای آب خنک کننده در موتور (جکت): Q_{jacket}^*

$$Q_{jacket} = \dot{m}_w C_w (T_{2w} - T_{1w}) \quad (۵-۳)$$

\dot{m}_w دبی جرمی آب بر حسب $(\frac{\text{kg}}{\text{s}})$ و C_w^* گرمای ویژه آب بر حسب $(\frac{\text{kJ}}{\text{kg.K}})$ و T_{2w} دمای خروجی

آب از موتور و T_{1w} دمای ورودی آب به موتور بر حسب درجه کلوین.

* Fuel consumption rate

† Low heating value

‡ Output heat exhaust gas

§ Air consumption rate

¶ Specific heat of air at constant pressure

¤ enthalpy of inlet air

¤ heat to cooling water

^۱ گرمای ناشی از انتقال حرارت جابه جایی و تشعشع $= Q_{cr}$

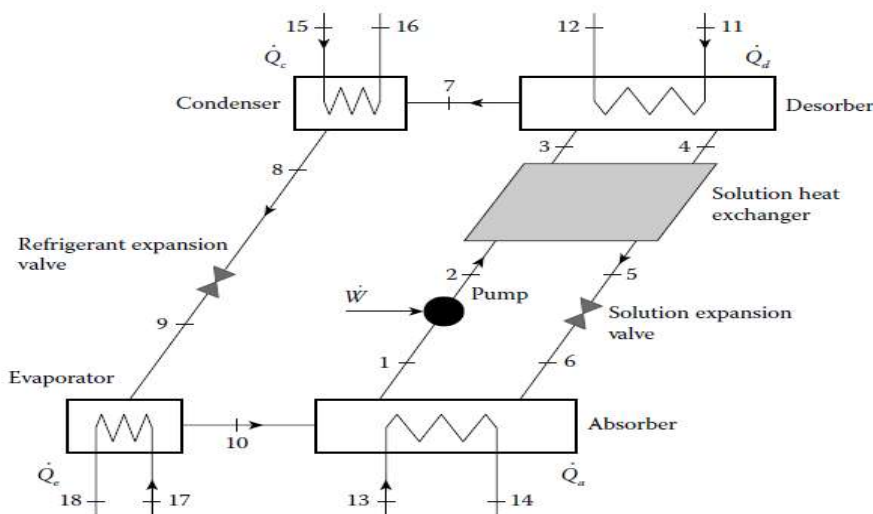
$$Q_{cr} = Q_f - P_s - (Q_{exhaust} - Q_a) - Q_{jacket} \quad (6-3)$$

۴-۲-۳ روابط حاکم بر چیلر جذبی

در این پژوهش چیلر جذبی از نوع تک اثره که مبرد آن آب و حلول جاذب آن لیتیوم بروماید است معادلات انرژی برای چیلر جذبی برای اجزا به ترتیب شامل پمپ محلول^۲، مبدل حرارتی چیلر، ژنراتور، کندانسور، اوپراتور و ابزوربر به صورت زیر است:

کارایی چرخه و ویژگی های عملیاتی سیستم بستگی به مایعات کاری، دما و اثرات مبدل حرارتی سیستم دارد.

شماتیک کلی یک سیستم تبرید جذبی تک اثره در شکل (۳-۳) نشان داده شده است. با توجه به فرضیات انجام شده و همچنین هر کدام از اجزای چیلر به عنوان یک حجم کنترل فرض می شود.



شکل (۳-۳) شماتیک یک سیستم تبرید جذبی تک اثره لیتیوم بروماید [۳۴]

^۱ convection and radiation

^۲ solution heat exchanger

فرضیات:

- جریان پایا
- از افت فشار و تلفات حرارتی صرف نظر می کنیم.
- شیر انبساط در سیستم جذبی به صورت آنتاپی ثابت فرض می کنیم.
- همه معادلات با توجه به شماره گذاری شماتیک شکل (۳-۳) نوشته می شود.
- قانون اول برای حجم کنترل نوشته می شود.
- مبدل (آب) در خروجی از کندانسور مایع اشباع فرض شده است.
- مبدل (آب) در خروجی اوپراتور بخار اشباع شده است.
- محلول لیتیوم بروماید در خروجی جاذب یک محلول قوی است و در دمای جاذب قرار دارد.
- تبادل حرارتی بین سیستم و محیط اطراف، غیر از آنچه که توسط انتقال گرما در ژنراتور(دیزروبر)، اوپراتور، کندانسور و جذب انجام می شود رخ نمی دهد.
- تغییرات انرژی جنبشی^۱ و انرژی پتانسیل^۲ ناچیز است.

محصول کلی ضریب انتقال گرما، سطح مبدل حرارتی راه مناسب برای تعیین اندازه و عملکرد مبدل حرارتی در یک پارامتر واحد (به عنوان مثال ارزش UA) است. معمولاً استفاده از فرمول UA همراه با اختلاف دمای میانگین لگاریتمی به شرح زیر است.

با این فرضیات معادلات ترمودینامیکی بالانس جرم و انرژی و اختلاف دمای لگاریتمی و سطح انتقال حرارت به صورت زیر نوشته می شوند.^[۳۴]

$$\sum \dot{m}_{in} = \sum \dot{m}_{out} \quad (7-3)$$

^۱ Kinetic energy

^۲ potential energy

$$\sum m \cdot x_{in} = \sum m \cdot x_{out} \quad (8-3)$$

$$\dot{Q} - \dot{W} = \sum \dot{m}_{out} h_{out} - \sum \dot{m}_{in} h_{in} \quad (9-3)$$

$$\dot{Q} = UA\Delta t_{lm} \quad (10-3)$$

$$\Delta t_{lm} = \frac{(T_{h,1} - T_{c,1}) - (T_{h,2} - T_{c,2})}{\ln \left(\frac{T_{h,1} - T_{c,1}}{T_{h,2} - T_{c,2}} \right)} \quad (11-3)$$

$$\varepsilon = \frac{\dot{Q}_{act}}{\dot{Q}_{max}} = \frac{(\dot{m}c_p)(T_{c,1} - T_{c,2})}{(\dot{m}c_p)(T_{h,1} - T_{c,2})} = \frac{(T_{c,1} - T_{c,2})}{(T_{h,1} - T_{c,2})} \quad (12-3)$$

در رابطه (7-3) تا (12-3) به ترتیب حرارت ورودی و کار خروجی، \dot{m} دبی جرمی سیال، h آنتالپی و زیرنوبیس in و out ۱ و ۲ به معنای ورودی و خروجی، Δt_{lm} اختلاف دمای لگاریتمی و ε راندمان مبدل حرارتی و U ضریب انتقال گرما بحسب $(\frac{W}{m^2 \cdot k})$ و A سطح انتقال حرارت بحسب (m^2) می باشد.

^۱ پمپ محلول^۲

بالанс انرژی برای پمپ محلولی، که بین ابزوربر و مبدل حرارتی قرار دارد و برای انتقال محلول رفیق مورد استفاده قرار می گیرد.^[۳۴]

$$\dot{m}_2 X_2 = \dot{m}_1 X_1 \quad (13-3)$$

$$\text{بالанс جرم لیتیوم بروماید برای پمپ محلول} \rightarrow \quad (14-3)$$

^۲ مبدل حرارتی چیلر^۳

^۱ Solution pump

^۲ Chiller Heat Exchanger

بالانس جرم، انرژی، اختلاف دما لگاریتمی، سطح تبادل حرارتی، اختلاف دما لگاریتمی انتقال حرارت

[۳۵] جریان سرد و گرم به ترتیب برای مبدل حرارتی چیلر به صورت زیرمی باشد:

$$\dot{m}_4 x_4 = \dot{m}_5 x_5 \rightarrow \text{بالانس جرم لیتیوم بروماید برای جریان گرم} \quad (۱۵-۳)$$

$$\dot{m}_3 x_3 = \dot{m}_2 x_2 \rightarrow \text{بالانس جرم لیتیوم بروماید برای جریان سرد} \quad (۱۶-۳)$$

$$\dot{Q}_{hx-h} = \dot{m}_4 h_4 - \dot{m}_5 h_5 \rightarrow \text{بالانس انرژی برای جریان گرم} \quad (۱۷-۳)$$

$$\dot{Q}_{hx-c} = \dot{m}_3 h_3 - \dot{m}_2 h_2 \rightarrow \text{بالانس انرژی برای جریان سرد} \quad (۱۸-۳)$$

$$\dot{Q}_{hx} = UA\Delta t_{lm,hx} \rightarrow \text{سطح انتقال حرارت مبدل حرارتی} \quad (۱۹-۳)$$

$$\Delta t_{lm,hx} = \frac{(T_4 - T_3) - (T_5 - T_2)}{\ln \left(\frac{T_4 - T_3}{T_5 - T_2} \right)} \rightarrow \text{اختلاف دمای لگاریتمی مبدل حرارتی} \quad (۲۰-۳)$$

$$\varepsilon_{hx} = \frac{(T_4 - T_5)}{(T_4 - T_2)} \rightarrow \text{راندمان مبدل حرارتی} \quad (۲۱-۳)$$

$$C_{hot} = \dot{m}_4 \frac{(h_4 - h_5)}{(T_4 - T_5)} \rightarrow \text{انرژی جریان گرم} \quad (۲۲-۳)$$

$$C_{cold} = \dot{m}_2 \frac{(h_3 - h_2)}{(T_3 - T_2)} \rightarrow \text{انرژی جریان سرد} \quad (۲۳-۳)$$

در معادلات (۱۵-۳) تا (۲۳-۳) زیر نویس *hot* و *cold* سیال گرم و سرد می باشد.

۱-۳-۴-۲-۳ ژنراتور

بالانس جرم، انرژی، راندمان حرارتی، سطح تبادل حرارتی، اختلاف دما لگاریتمی ژنراتور چیلر به ترتیب

[۳۵] به صورت زیرمی باشد:

$$\dot{m}_{11} = \dot{m}_{12} \rightarrow \text{بالانس جرم کل} \quad (۲۴-۳)$$

^۱ Desorber

$$\dot{m}_3 x_3 = \dot{m}_4 x_4 + \dot{m}_7 x_7 \quad (25-3)$$

$$\dot{Q}_d = \dot{m}_4 h_4 - \dot{m}_3 h_3 + \dot{m}_7 h_7 \quad (26-3)$$

$$\dot{Q}_d = \dot{m}_{11} (h_{11} - h_{12}) \rightarrow \text{بالانس انرژی ژنراتور} \quad (27-3)$$

$$\varepsilon_d = \frac{(T_{11} - T_{12})}{(T_{11} - T_7)} \rightarrow \text{راندمان ژنراتور} \quad (28-3)$$

$$\dot{Q}_d = UA\Delta t_{lm,d} \rightarrow \text{سطح انتقال حرارت ژنراتور} \quad (29-3)$$

$$\Delta t_{lm,d} = \frac{(T_{11} - T_4) - (T_{12} - T_7)}{\ln \left(\frac{T_{11} - T_4}{T_{12} - T_7} \right)} \rightarrow \text{اختلاف دمای لگاریتمی ژنراتور} \quad (30-3)$$

۱-۳-۲-۴-۵ شیر انبساط^۱

بالانس جرم و انرژی برای شیر انبساط محلول^۲ به صورت زیر است:

$$\dot{m}_5 = \dot{m}_6 \rightarrow \text{بالانس جرم کل} \quad (31-3)$$

$$h_5 = h_6 \rightarrow \text{بالانس انرژی} \quad (32-3)$$

بالانس جرم و انرژی برای شیر انبساط مبرد^۳ به صورت زیر است:

$$\dot{m}_8 = \dot{m}_9 \rightarrow \text{بالانس جرم کل} \quad (33-3)$$

$$h_8 = h_9 \rightarrow \text{بالانس انرژی} \quad (34-3)$$

۳-۲-۴-۵ کندانسور^۴

¹ expansion valve

² Solution expansion valve

³ Refrigerant expansion valve

⁴ Condenser

بالانس جرم، انرژی، راندمان حرارتی، سطح تبادل حرارتی، اختلاف دما لگاریتمی کندانسور چیلر به

ترتیب به صورت زیرمی باشد:^[۳۶]

$$\dot{m}_{15} = \dot{m}_{16} \rightarrow \text{بالانس جرم کل} \quad (۳۵-۳)$$

$$\dot{m}_7 = \dot{m}_8 \rightarrow \text{بالانس جرم کل} \quad (۳۶-۳)$$

$$\dot{Q}_c = \dot{m}_7(h_7 - h_8) \rightarrow \text{بالانس انرژی کندانسور} \quad (۳۷-۳)$$

$$\dot{Q}_c = \dot{m}_{15}(h_{15} - h_{16}) \quad (۳۸-۳)$$

$$\varepsilon_c = \frac{(T_{17} - T_{18})}{(T_{17} - T_{10})} \rightarrow \text{راندمان کندانسور} \quad (۳۹-۳)$$

$$\dot{Q}_c = UA\Delta t_{lm,c} \rightarrow \text{سطح انتقال حرارت کندانسور} \quad (۴۰-۳)$$

$$\Delta t_{lm,c} = \frac{(T_{15} - T_8) - (T_{16} - T_8)}{\ln \left(\frac{T_{15} - T_8}{T_{16} - T_8} \right)} \rightarrow \text{اختلاف دمای لگاریتمی کندانسور} \quad (۴۱-۳)$$

۶-۴-۲-۳ اوپراتور^۱

بالانس جرم، انرژی، راندمان حرارتی، سطح تبادل حرارتی، اختلاف دما لگاریتمی اوپراتور چیلر به

ترتیب به صورت زیرمی باشد:^[۳۶]

$$\dot{m}_9 = \dot{m}_{10} \rightarrow \text{بالانس جرم کل} \quad (۴۲-۳)$$

$$\dot{m}_{18} = \dot{m}_{17} \quad (۴۳-۳)$$

$$\dot{Q}_e = \dot{m}_{17}(h_{17} - h_{18}) \quad (۴۴-۳)$$

$$\varepsilon_e = \frac{(T_{17} - T_{18})}{(T_{17} - T_{10})} \rightarrow \text{راندمان اوپراتور} \quad (۴۵-۳)$$

$$\dot{Q}_e = UA\Delta t_{lm,e} \rightarrow \text{سطح انتقال حرارت اوپراتور} \quad (۴۶-۳)$$

^۱ Evaporator

$$\Delta t_{lm,e} = \frac{(T_{17} - T_{10}) - (T_{18} - T_9)}{\ln \left(\frac{T_{17} - T_{10}}{T_{18} - T_9} \right)} \rightarrow \text{اختلاف دمای لگاریتمی اواپراتور} \quad (47-۳)$$

^۱ ابزوربر ^۱

بالанс جرم، انرژی، راندمان حرارتی، سطح تبادل حرارتی، اختلاف دما لگاریتمی ابزوربر چیلر به ترتیب

به صورت زیر می باشد: [۳۶]

$$\dot{m}_{13} = \dot{m}_{14} \rightarrow \text{بالанс جرم کل} \quad (48-۳)$$

$$\dot{m}_1 x_1 = \dot{m}_{10} x_{10} + \dot{m}_6 x_6 \quad (49-۳)$$

$$\dot{Q}_a = \dot{m}_1 h_1 - \dot{m}_{10} h_{10} - \dot{m}_6 h_6 \rightarrow \text{بالанс} \quad (50-۳)$$

$$\dot{Q}_a = \dot{m}_{13} (h_{14} - h_{13}) \quad (51-۳)$$

$$\varepsilon_a = \frac{(T_{14} - T_{13})}{(T_6 - T_{13})} \rightarrow \text{راندمان ابزوربر} \quad (52-۳)$$

$$\dot{Q}_a = UA \Delta t_{lm,e} \rightarrow \text{سطح انتقال حرارت ابزوربر} \quad (53-۳)$$

$$\Delta t_{lm,a} = \frac{(T_6 - T_{14}) - (T_1 - T_{13})}{\ln \left(\frac{T_6 - T_{14}}{T_1 - T_{13}} \right)} \rightarrow \text{اختلاف دمای لگاریتمی ابزوربر} \quad (54-۳)$$

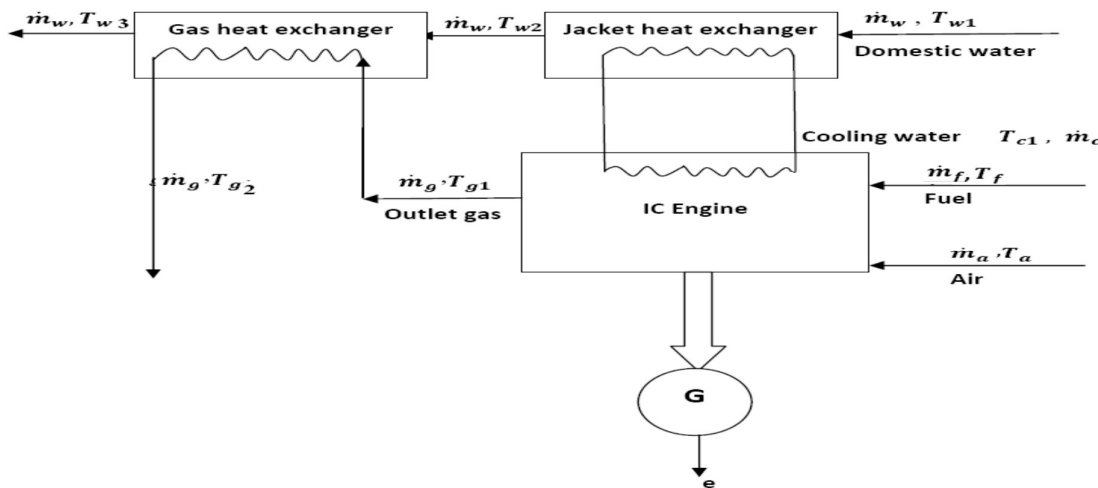
برای بدست آوردن ضریب عملکرد چیلر جذبی تک اثره لیتیوم بروماید از رابطه زیر استفاده می کنیم:

$$COP = \frac{\dot{Q}_e}{\dot{Q}_d} \quad (55-۳)$$

۵-۲-۳ روابط حاکم بر مبدل حرارتی پوسته و لوله

در این بخش هدف طراحی دومبدل حرارتی پوسته و لوله است که یکی با آب جفت در ارتباط است و دیگری با گاز بازیافتی از اگزوز در ارتباط است.

^۱ Absorber



شکل (۴-۳) پیکربندی دو مبدل حرارتی پوسته و لوله در سیستم [۳۷]

در این بخش به روابط حاکم بر مبدل حرارتی پوسته و لوله پرداخته که شامل دو قسمت طراحی و تعیین عملکرد مبدل حرارتی می باشد. مبدل حرارتی با نرم افزار Aspen B-JAC طراحی شده است که ابتدا در زیر بخش Hetran طراحی حرارتی شده و بعد در زیر بخش Teams تحلیل مکانیکی پوسته و لوله انجام شده است، البته لازم به ذکر است که هردو نرم افزار زیر بخش هایی از Aspen B-JAC هستند.

۱-۵-۲-۳ طراحی مبدل حرارتی

طراحی مبدل حرارتی شامل مراحل زیر می باشد:

۱-۱-۵-۲-۳ طراحی مبدل

۱- تعیین دبی جرمی آب و خواص سیال سرد و گرم

از رابطه موازنہ انرژی، دبی جرمی آب را تعیین می کنیم:[۳۸]

$$Q_c = Q_h \leftrightarrow (\dot{m}C_p)_c(t_2 - t_1) = (\dot{m}C_p)_h(T_1 - T_2) \quad (۵۶-۳)$$

خواص مورد نیاز را از جداول ترمودینامیکی با توجه به دمای سیال بدست می آوریم.

دمای سیال سرد و T دمای سیال گرم بر حسب درجه سانتیگراد است.

۲- حدس ضریب انتقال حرارت کلی

اکنون از جدول محدوده تقریبی ضریب انتقال حرارت کلی U در مبدل های حرارتی با توجه به نوع سیال ضریب انتقال حرارت کلی را حدس می زنیم.

۳- تعیین پیکر بندی مدل :

با توجه به در اختیار داشتن تمام ورودی ها و خروجی ها، پارامتر های R و P را از معادلات زیر بدست می آوریم:

$$R = \frac{(T_1 - T_2)}{(t_2 - t_1)} \quad (57-3)$$

$$P = \frac{(t_2 - t_1)}{(T_1 - T_2)} \quad (58-3)$$

حال با بدست آوردن R و P ضریب تصحیح F را از نمودار ضریب تصحیح برای مبدل های حرارتی لوله و پوسته بدست آورده و با توجه به این ضریب تعداد گذر پوسته لوله را بدست می آوریم.

۴- تعیین اختلاف دمای واقعی

ابتدا از رابطه زیر مقدار اختلاف دمای لگاریتمی را بدست می آوریم:[۳۸]

$$\Delta T_{lm} = \frac{(T_1 - t_2) - (T_2 - t_1)}{\ln\left(\frac{T_1 - t_2}{T_2 - t_1}\right)} \quad (59-3)$$

از رابطه زیر با داشتن ضریب تصحیح و اختلاف دمای لگاریتمی، اختلاف دمای واقعی را بر حسب درجه سانتیگراد بدست می آوریم:

$$\Delta T_m = F \Delta t_{lm} \quad (60-3)$$

۵- تعیین مساحت سطح انتقال حرارت مورد نیاز

از رابطه زیر می توانیم مقدار مساحت سطح انتقال حرارت را بدست آوریم:

$$A_{cal} = \frac{Q}{U\Delta T_m} \quad (61-3)$$

با توجه به تعداد پوسته ها این مساحت بین تعداد پوسته ها تقسیم می شود.

۶- انتخاب لوله

می توانیم از لوله های متداول تر برای مبدل های حرارتی با توجه به^۱ (BWG) استفاده کنیم. در این قسمت با توجه به داده های استاندارد قطر داخلی، قطر خارجی، گام لوله، آرایش قرار گیری لوله را بر حسب میلی متر انتخاب می کنیم.

۷- تعداد لوله های مورد نیاز

با توجه به انتخاب سرعت سیال درون لوله می توانیم تعداد لوله ها در هر گذر را بدست آوریم:

$$\dot{n}_t = \frac{\pi d_i^2}{4} \quad (62-3)$$

$$n_p = \frac{\dot{m}_c}{\rho v_a t} \quad (63-3)$$

که مساحت مقطع هر لوله بر حسب n_p, m^2 تعداد لوله ها در هر گذر، v سرعت سیال درون لوله بر حسب ρ دانسیته سیال بر حسب $\left(\frac{kg}{m^3}\right)$ و d_i قطر داخلی لوله و d_o قطر خارجی لوله می باشد.

حال L یا طول لوله را حدس زده و کل لوله مورد نیاز در پوسته را بدست می آوریم:

$$N = \frac{A_{cal}}{\pi d_o L} \quad (64-3)$$

و تعداد گذر لوله در پوسته را از معادله زیر بدست می آوریم:

¹ Birmingham Wire Gauge

$$n = \frac{N}{n_p} \quad (65-3)$$

۸- تعیین قطر پوسته و نوع ساخت مبدل

با توجه به نوع سیال، درجه حرارت، سمی بودن یا نبودن سیال:

مساحت انتقال حرارت واقعی هر پوسته با معادله زیر بدست می آید: [۳۸]

$$A_{real,tot} = \pi d_o L N \quad (66-3)$$

و قطر پوسته را از جداول با توجه به تعداد لوله و آرایش لوله ها بر حسب میلی متر بدست می آوریم.

۹- دیوارک ها

فاصله بین دیوارک ها طبق استاندار TEMA باید بین ۰,۲ و ۰,۴ تا

۰,۶ در نظر بگیریم.

۱۰- ضریب انتقال حرارت سمت لوله

برای ضریب انتقال حرارت سمت لوله ابتدا سرعت جرمی آب را تعیین کرده، دبی جرمی هر لوله را

بدست می آوریم و بعد از اینکه سرعت جرمی را حساب کرده از رابطه زیر عدد رینولدز را حساب می

کنیم. [۳۸].

$$\dot{m}_N = \frac{n \dot{m}}{N} \quad (67-3)$$

$$G = \frac{\dot{m}_N}{\dot{a}_t} \quad (68-3)$$

$$Re_D = \frac{4\dot{m}_N}{\pi d_i \mu} \quad (69-3)$$

در رابطه بالا \dot{m}_N دبی جرمی و G سرعت جرمی بر حسب $\left(\frac{\text{kg}}{\text{m}^2 \cdot \text{s}}\right)$ ، و رینولدز حاصل نیروی اینرسی

به نیروی گرانزوی است و یک عدد بی بعد بوده و رژیم جریان را تعیین می کند.

با توجه به رژیم جریان، آرام یا مغشوش بودن جریان را مشخص کرده و از روابط در پیوست الف استفاده کرده و با توجه به همان رابطه ها عدد ناسلت و ضریب انتقال حرارت را به دست می آوریم. البته پیش از آن دمای دیواره لوله را بدست می آوریم.^[۳۸]

$$T_w = \frac{T_m + t_m}{2} \quad (70-3)$$

حال با توجه به این دما از رابطه ها در پیوست الف استفاده کرده و عدد ناسلت در لوله و ضریب انتقال حرارت جایه جایی سمت لوله را از رابطه زیر بدست می آوریم. که عدد ناسلت نسبت گرمای انتقال یافته از طریق همرفت (یا جایه جایی) به گرمای انتقال یافته از طریق رسانش (یا هدایتی) در مرز سیستم می باشد.

$$h_i = \frac{Nu_D K}{d_i} \quad (71-3)$$

ضریب انتقال حرارت سمت لوله بر حسب $\left(\frac{W}{m^2 \cdot k}\right)$ و K ضریب رسانش لوله بر حسب $\left(\frac{W}{m^2 \cdot k}\right)$ می باشد.

۱۱- ضریب انتقال حرارت سمت پوسته

برای بدست آوردن ضریب انتقال حرارت سمت پوسته از روابط پیوست ب استفاده کرده و از رابطه زیر مقدار مساحت فرضی جریان را بدست می آوریم.^[۳۸]

$$C = P_T - d_o \quad (72-3)$$

$$a_s = \frac{D_S B C}{P_T} \quad (73-3)$$

عبور جریان بر حسب (m^2) می باشد. گام لوله ها بر حسب متر، C فاصله آزاد بین لوله ها بر حسب متر و a_s کل مساحت سطح مقطع عبور جریان بر حسب (m^2) می باشد.

حال از رابطه زیر مقدار سرعت جرمی سیال را بدست می آوریم:

$$G_s = \frac{\dot{m}_s}{a_s} \quad (74-3)$$

G_s مقدار سرعت جرمی سیال بر حسب $\left(\frac{kg}{m^2.s}\right)$ است.

اکنون می توانیم عدد رینولدز سمت پوسته را بر اساس قطر خارجی لوله از رابطه زیر بدست می آوریم:

$$Re_{s,d} = \frac{G_s d_o}{\mu} \quad (75-3)$$

حال با توجه به خواص سیال مورد نظر، آرایش لوله درون پوسته و روابط در پیوست ب ضریب انتقال

حرارت ایده آل سمت پوسته را بدست می آوریم.

۱۲- چک کردن دمای دیواره لوله ها

از رابطه زیر مقدار دمای اصلی دیواره لوله را بدست می آوریم:

$$T_w = T_m \frac{h_i}{h_s} \frac{d_i}{d_o} (T_w - t_m) \quad (76-3)$$

حال اگر دمای دیواره جدید که به دست آورده ایم به دمای دیواره قبلی که حدس زدیم نزدیک بود که

نیاز به تکرار محاسبات نیست در غیر این صورت به تکرار محاسبات می پردازیم.

۱۳- ضریب انتقال حرارت کلی

اکنون از رابطه زیر ضریب انتقال حرارت کلی را بر مبنای سطح خارجی لوله ها می یابیم:

$$UA = \left(\frac{1}{h_i A_i} + \frac{1}{h_o A_o} + \frac{R_{f,i}}{A_i} + \frac{R_{f,o}}{A_o} + R_{wall} \right)^{-1} \quad (77-3)$$

$$U_o = \left(\frac{1}{h_i} \frac{d_o}{d_i} + \frac{1}{h_s} + R_{f,i} \frac{d_o}{d_i} + \frac{d_o \ln\left(\frac{d_o}{d_i}\right)}{2k} \right)^{-1} \quad (78-3)$$

در رابطه بالا U_0 ضریب انتقال حرارت کلی را بر مبنای سطح خارجی لوله ها و بر حسب $\left(\frac{W}{m^2 \cdot k}\right)$ و مقاومت رسوب داخل جداره لوله و $R_{f,i}$ مقاومت رسوب خارج جداره لوله است و بر حسب d_i قطر داخلی و خارجی لوله بر حسب متر و h_0 ضریب انتقال حرارت می باشد و d_O می باشد.

۱۴- مساحت سطح انتقال حرارت مورد نیاز

از رابطه زیر مساحت سطح انتقال حرارت مورد نیاز محاسبه می کنیم:

$$A_{cal} = \frac{Q}{U \Delta T_m} \quad (79-3)$$

حال با توجه به ضریب انتقال حرارت کلی مساحت سطح انتقال حرارت مورد نیاز را محاسبه کرده و با جواب مرحله ۵ مقایسه کرده اگر مساحت مورد نیاز کوچکتر از مرحله ۵ باشد باید دوباره ابعاد جدیدی برای مبدل در نظر بگیریم، ولی در این مرحله با همان ابعاد قبلی به محاسبه افت فشار سمت لوله و پوسته می پردازیم.

۱۵- افت فشار داخل لوله

ابتدا با توجه به رژیم جریان داخل لوله مقدار ضریب اصطکاک f را بدست می آوریم، و مقدار α را با توجه به نوع مبدل بدست می آوریم.

از رابطه زیر مقدار افتهای اضافی حاصل از اتصال ها و خم ها را بدست می آوریم: [۳۸]

$$\Delta P_e = \alpha \frac{G^2}{2\rho} \quad (80-3)$$

که ΔP_e مقدار افتهای اضافی حاصل از اتصال ها و خم ها بر حسب پاسکال می باشد.

از رابطه زیر مقدار افت فشار داخل لوله حاصل از اصطکاک را بدست می آوریم:

$$\Delta P_f = f \frac{nl}{d_i} \frac{G^2}{2\rho} \quad (81-3)$$

که ΔP_f مقدار افت فشار داخل لوله حاصل از اصطکاک بر حسب پاسکال می باشد.

کل افت فشار سمت لوله ها بر مبدل حرارتی از رابطه زیر بدست می آوریم:

$$\Delta P_{tot} = \Delta P_f + \Delta P_e \quad (82-3)$$

کل افت فشار سمت لوله ها بر مبدل حرارتی بر حسب پاسکال می باشد.

۱۶- افت فشار سمت پوسته

برای بدست آوردن افت فشار سمت پوسته باید ابتدا قطر معادل را (D_s) بر اساس یکی از روش های در جداول پیوست ب بیابیم.

حال مقدار رینولدز را با توجه به قطر معادل بدست آوریم:[۳۸]

$$Re_{s,e} = \frac{G_s D_s}{\mu} \quad (83-3)$$

با توجه به مقدار عدد رینولدز مقدار ضریب اصطکاک f را بدست می آوریم و از رابطه زیر تعداد دیوارک های داخل مبدل را می باییم:

$$N_b = \frac{L}{B} \quad (84-3)$$

تعداد دیوارک های داخل مبدل می باشد.

حال از رابطه زیر مقدار افت فشار سمت پوسته را برای مبدل بدست می آوریم:[۳۸]

$$\Delta P_s = f \frac{(N_b + 1) G_s^2 D_s}{2\rho D_e} \left(\frac{\mu}{\mu_w} \right) \quad (85-3)$$

ΔP_s مقدار افت فشار سمت پوسته بر حسب پاسکال و μ ویسکوزیته بر حسب $\left(\frac{N_s}{m^2} \right)$ می باشد.

حال در اینجا مبدل حرارتی با توجه به معادلات طراحی شد، البته باید به این نکته توجه داشت که معادلات با توجه باورودی‌های کاربر حل شده و نرم افزار یک مبدل بهینه به کاربر تحویل می‌دهد.

۵-۲-۳ روابط حاکم بر سیکل ارگانیک رانکین

سیکل ارگانیک رانکین مانند یک سیکل رانکین معمولی بوده با این تفاوت که سیکل با یک سیال ارگانیک مانند مبرد‌ها که دمای جوش پایین تری کار می‌کنند می‌باشد یعنی این که دما سیال ارگانیک پایین تر از دمای جوش آب می‌باشد و در دمای پایین تر از آب تبخیر می‌شود. سیکل ارگانیک رانکین مانند یک سیکل نیروگاه بخار معمولی دارای اجزا هایی مانند پمپ، اوپراتور، کندانسور، اکسپندر یا توربین جهت تولید برق تشکیل شده است.

۱-۵-۲-۳ فرضیات:

فرضیات انجام شده در مدل سازی به شرح زیر است:

- وضعیت سیستم در حالت پایا^۱ قرار دارد.
- افت فشار و اتلافات حرارتی در لوله‌ها و مبدل‌ها ناچیز است.
- تغییرات انرژی جنبشی و انرژی پتانسیل ناچیز است.
- مبدل‌ها غیر همسو هستند.

با توجه به فرضیات انجام شده معادله بقای جرم، انرژی برای سیکل ارگانیک رانکین به صورت زیر است.

$$\sum \dot{m}_{in} = \sum \dot{m}_{out} \quad (۸۶-۳)$$

$$\sum m \cdot x_{in} = \sum m \cdot x_{out} \quad (۸۷-۳)$$

$$\dot{Q} - \dot{W} = \sum \dot{m}_{out} h_{out} - \sum \dot{m}_{in} h_{in} \quad (۸۸-۳)$$

^۱ - Steady State

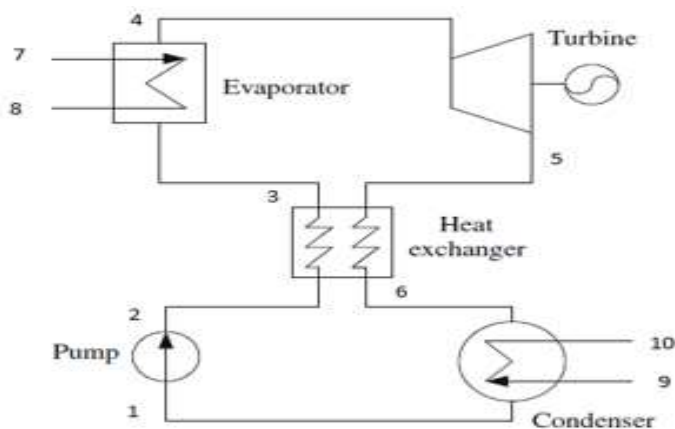
سیکل ارگانیک رانکین برای پژوهش حاضر در دو نوع سیکل با مبدل حرارتی و بدون مبدل حرارتی صورت گرفته است.

در روابط بالا m دبی جرمی سیال ، \dot{Q} و \dot{W} به ترتیب حرارت ورودی و کار خروجی، h آنتالپی و زیرنویس *in* و *out* به معنای ورود و خروج می‌باشد.

۲-۵-۲-۳ سیکل ارگانیک رانگین با مبدل حرارتی

در شکل (۳-۵) پیکربندی یک سیکل ارگانیک رانکین با مبدل حرارتی نشان داده شده است، با کمک شماره گذاری در پیکربندی معادلات بقای جرم و انرژی برای هر کدام از اجزاء به صورت زیر می‌باشد.

معادلات سیکل ارگانیک رانکین با استفاده از مراجع [۴۰ و ۴۹] شده است.



شکل (۳-۵): نمونه‌ای از پیکربندی سیستم ORC با مبدل حرارتی برای کمک به نشان دادن روابط حاکم بر

[۴۱] اجزاء

۱-۲-۵-۲-۳ پمپ [۴۰ و ۴۱]

$$\dot{W}_p = \dot{m}_{orc} (h_1 - h_2) \quad (۸۹-۳)$$

$$\eta_{U,p} = \frac{h_{2s} - h_1}{h_2 - h_1} \quad (90-3)$$

۱-۲-۵-۲-۳ مبدل‌های حرارتی شامل اواپراتور، کندانسسور و IHE

$$\dot{Q}_E = \dot{m}_{orc}(h_4 - h_3) = \dot{m}_h(h_7 - h_8) \quad (91-3)$$

$$\dot{Q}_c = \dot{m}_{orc}(h_4 - h_1) = \dot{m}_c(h_{10} - h_9) \quad (92-3)$$

$$\dot{Q}_{IHE} = \dot{m}_{orc}(h_3 - h_2) = \dot{m}_{orc}(h_5 - h_6) \quad (93-3)$$

همچنین برای مبدل‌های حرارتی می‌توان نوشت: [۴۰ و ۴۱]

$$\dot{Q} = U \cdot A \cdot LMTD \quad (94-3)$$

که در آن U ضریب انتقال حرارت و A مساحت مبدل و حاصل ضرب این دو یعنی UA با دیمانسیون (KW/K) ظرفیت مبدل نامیده می‌شود. $LMTD$ نیز برابر با اختلاف دمای متوسط لگاریتمی است.

$$LMTD = \frac{\Delta T_A - \Delta T_B}{LN(\frac{\Delta T_A}{\Delta T_B})} \quad (95-3)$$

در عبارت بالا فرض شده است که مبدل حرارتی دو طرف دارد که با A، B نام‌گذاری شده‌اند.

۲-۲-۵-۲-۳ توربین

$$\dot{W}_T = \dot{m}_{orc}(h_4 - h_5) \quad (96-3)$$

$$\eta_{U,T} = \frac{h_{5s} - h_4}{h_5 - h_4} \quad (97-3)$$

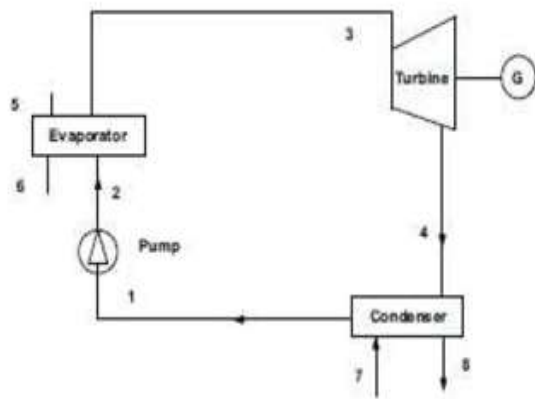
۳-۲-۵-۲-۳ راندمان سیکل

راندمان قانون اول سیکل را نیز می‌توان با توجه به حرارتی که در سیکل تحت بازیابی قرار گرفته به دست آورد، چنین راندمانی به معنی نسبت مقدار حرارتی که به کار مفید تبدیل شده، از کل حرارت بازیافت شده است.

$$\eta_{U,orc} = \frac{\dot{W}_{net}}{\dot{m}_h(h_7 - h_8)} = \frac{\dot{W}_{net}}{\dot{m}_{orc}(h_4 - h_3)} \quad (98-3)$$

۳-۵-۲-۳ سیکل ارگانیک رانگین بدون مبدل حرارتی

در این قسمت سیکل همان سیکل ارگانیک رانگین بدون مبدل حرارتی است که معادلات بالا به جزء معادله انرژی مبدل حرارتی برای سیکل شکل (۵-۳) برقرار است.



شکل (۳-۶): نمونه‌ای از پیکربندی سیستم ORC بدون مبدل حرارتی برای نشان دادن روابط حاکم بر اجزاء [۴۱]

۱-۳-۵-۲-۳ پمپ

$$\dot{W}_p = \dot{m}_{orc}(h_1 - h_2) \quad (99-3)$$

$$\eta_{U,p} = \frac{h_{2s} - h_1}{h_2 - h_1} \quad (100-3)$$

۱-۳-۵-۲-۳ مبدل‌های حرارتی شامل اوپراتور، کندانسسور

$$\dot{Q}_E = \dot{m}_{orc}(h_3 - h_2) = \dot{m}_h(h_6 - h_5) \quad (101-3)$$

$$\dot{Q}_c = \dot{m}_{orc}(h_1 - h_4) = \dot{m}_c(h_8 - h_7) \quad (102-3)$$

۲-۳-۵-۲-۳ توربین

روابط انرژی:

$$\dot{W}_T = \dot{m}_{orc} (h_3 - h_4) \quad (10\text{-}3)$$

$$\eta_{U,T} = \frac{h_{4s} - h_3}{h_4 - h_3} \quad (10\text{-}4)$$

۶-۲-۳ روابط حاکم بر سیستم ذخیره ساز حرارتی

در این پژوهش سیستم ذخیره ساز، از نوع سیستم ذخیره ساز سرد بوده و با توجه به این که سیستم های ذخیره ساز سرد دارای ۳ نوع هستند که شامل:

سیستم ذخیره ساز یخ^۱ و سیستم ذخیره ساز با مواد تغییر فاز دهنده^۲ (PCM)، سیستم ذخیره ساز با آب سرد^۳ می باشد.

سیستم های ۱ و ۲ بیشتر نیاز به دما های منفی دارند و نیاز به چیلر برای تولید دمای منفی دارند با توجه به این که سیستم موجود در دانشگاه دارای چیلر جذبی با دما معمولی می باشد و سیستم ۳ با چیلر های معمولی به خوبی کار کرده و در این مورد از هزینه های اضافی خرید چیلر جذبی جلوگیری می شود.

برای بدست آوردن حجم مورد نیاز مخزن ذخیره سازی آب سرد باید دو مرحله را انجام دهیم:

۱- بدست آورن حداکثر بار حرارتی سیستم ذخیره ساز آب سرد

۲- بدست آوردن حجم مخزن ذخیره ساز آب سرد

۶-۲-۱-۱ بدست آورن حداکثر بار حرارتی سیستم ذخیره ساز آب سرد

هدف از طراحی سیستم ذخیره ساز آب سرد، طراحی ابعادی مخزن می باشد که با توجه به ساعات پیک در روز و زمان شارژ و تخلیه و بار حرارتی مورد نیاز می باشد.

^۱ Ice bank

^۲ Phase change material

^۳ Cold water storage system

برای به دست آوردن ابعاد و حجم ذخیره سازی باید مراحل زیر را در نظر بگیریم:

۱- ذخیره به صورت کامل یا جزئی است.

۲- بار حرارتی ساختمان چه مقدار است.

۳- ظرفیت چیلر آب سرد چقدر است.

۴- مدت زمان تخلیه مخزن چند ساعت است.

۵- شروع ذخیره سازی از چه ساعتی است.

۶- پایان ذخیره سازی چه ساعتی به پایان می‌رسد.

با توجه به مراحل بالا به طراحی سیستم ذخیره سازی می‌پردازیم.

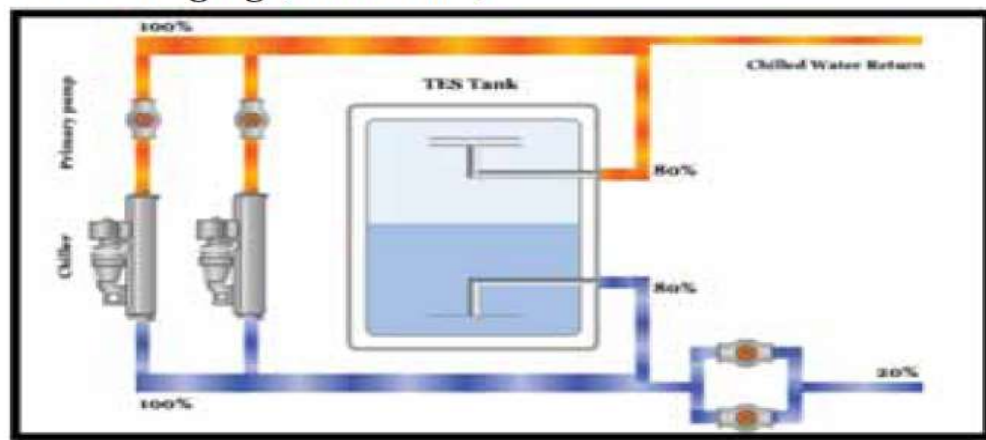
در شکل (۷-۳) مخزن شارژ شده که این مرحله در زمانی انجام می‌شود که سیستم در زمان غیر پیک است که معمولاً در شب که راندمان سرماشی سرماشی بیشتر است صورت می‌گیرد تا زمانی این کار ادامه دارد که شارژ آب سرد مورد نیاز مخزن فراهم شود.

در شکل (۸-۳) مخزن ذخیره در حال شارژ شدن می‌باشد که در این مرحله معمولاً سیستم ذخیره ساز از نوع ذخیره سازی جزئی می‌باشد و به این صورت کار می‌کند که سیستم ذخیره با سیستم چیلر به صورت هم زمان کار می‌کند و تقاضای بار سرماشی ساختمان را فراهم می‌کند در این نوع سیستم که در این پژوهش هم به آن پرداخته شده چیلر انتخابی کوچکتر و همچنین سایز و سیستم مخزن ذخیره سازی کوچکتر می‌باشد.

در شکل (۹-۳) مخزن ذخیره کاملاً شارژ شده است این سیستم از نوع ذخیره سازی کامل می‌باشد که سیستم ذخیره را در چند ساعت غیر پیک انجام داده و در زمان پیک از آن استفاده می‌کند. این مرحله از شارژ کامل، در زمان قبل از پیک اتفاق می‌افتد تا در زمان پیک مشکلی پیش نیاید، در

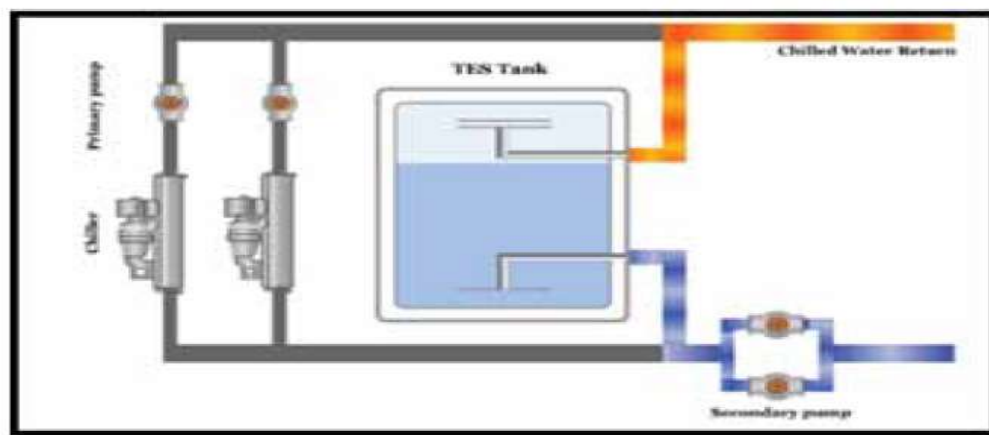
ساعت بین ۱ تا ۴ بعداز ظهر که معمولاً زمان پیک می باشد، می کند و آب برگشتی از ساختمان در بالای مخزن ذخیره آب سرد ذخیره شده که سیستم از آب سرد تخلیه شده و آب برگشتی از ساختمان جای آب سرد مخزن را بگیرد، زمان تخلیه سیستم لزوماً پایان ساعت پیک بار نیست و برای اطمینان باید کمی دیرتر صورت بگیرد که به عنوان مثال در این پژوهش ساعت پایان پیک ساعت ۴ بعد از ظهر است ولی ساعت پایان کامل تخلیه مخزن ساعت ۶ بعد از ظهر اتفاق می افتد.

TES Charging (With Load)



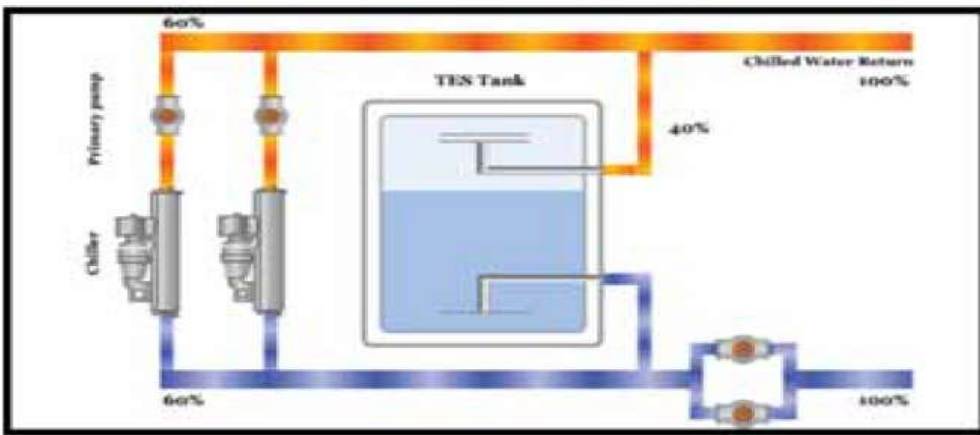
شکل (۷-۳) شارژ مخزن ذخیره در زمان غیر پیک [۷]

TES Discharging (Without Chiller)



شکل (۸-۳) تخلیه مخزن ذخیره در صورت کمبود چیلر برای تقاضای بار ساختمان (ذخیره ساز جزئی) [۷]

TES Discharging (With Chiller)



شکل (۹-۳) تخلیه مخزن ذخیره بدون چیلر برای تقاضای بار ساختمان (ذخیره ساز کامل) [۷]

حال با توجه به توضیحات بالا باید جدول (۱-۳) را تکمیل کنیم، هدف از جدول پیدا کردن حداکثر بار ذخیره سازی مخزن ذخیره است. با توجه به این که ساعت تخلیه مخزن چه ساعتی می باشد و بار حرارتی ساختمان و مخزن ذخیره در هر ساعت چقدر است و توان سرمایش چیلر چه مقدار می باشد، جدول را تکمیل کرده و حداکثر توان ذخیره سازی را در یک ساعت از یک روز انتخاب می کنیم به عنوان مثال اگر حداکثر توان ذخیره سازی در ساعت ۱۰ قبل از ظهر باشد با این توان به مراحل بعد رفته و حجم مخزن ذخیره ساز را بدست می آوریم.

۲-۶-۳ بدست آوردن حجم مخزن ذخیره ساز آب سرد

برای بدست آوردن حجم مخزن ذخیره سازی در مرحله اول باید حداکثر بار مورد نیاز مخزن ذخیره سازی را در ساعت روز بدست آورد به این صورت که بیشترین بار ذخیره در به عنوان مثال در ساعت ۱۰ صبح بدست آمده که با این عدد به مرحله بعدی رفته و با استفاده از روابط زیر حجم مخزن ذخیره سازی را بدست می آوریم.

با توجه به ظرفیت ذخیره سازی حرارتی مورد نیاز در ساعت و سیستم چیلر حجم مخزن ذخیره ساز آب سرد می تواند به صورت زیر محاسبه شود:

$$\text{آب سرد} = \frac{\text{آب سرد}}{\text{آب سرد}} \times 100\%$$

$$V = \frac{X \cdot 12000 \text{ Btu/ton-hours}}{C_p \cdot \Delta T \cdot SG \cdot \rho_{CHW} \cdot eff} \quad (105-3)$$

در فرمول بالا

$V = (ft^3)$ حجم تانک مخزن ذخیره آب سرد بر حسب

$X = (ton - h)$ ظرفیت حرارتی مورد نیاز بر حسب

$C_p = \left(\frac{Btu}{lb_m \cdot ^\circ F} \right)$ گرمای ویژه آب بر حسب

$\Delta T = (^{\circ}F)$ اختلاف دما آب سرد رفت و برگشت بر حسب

وزن مخصوص

$SG = \text{آب}$

$\rho_{CHW} = 62.4 \left(\frac{lb}{ft^3} \right)$ دانسیته آب در ΔT های متفاوت که معمولاً است

$eff = 0.9$ راندمان ذخیره سازی معمولاً در نظر می گیرند

حال با بدست آوردن حجم مخزن ابعاد مخزن را بدست می آوریم که به صورت زیر است:

$$h = \frac{V}{\pi * r^2} \quad (106-3)$$

$h = (ft)$ ارتفاع تانک مخزن ذخیره آب سرد بر حسب

$r = (ft)$ شعاع تانک مخزن ذخیره آب سرد بر حسب

با انتخاب شعاع مورد نظر و قرار دادن در فرمول بالا ارتفاع مخزن مورد نیاز را بدست می آوریم.

۳-۲-۷ راندمان کلی سیستم تولید هم زمان

توسط رابطه های (۱۰۶-۳) تا (۱۰۹-۳) راندمان کلی سیستم را بدست می آوریم: [۴۳]

$$\eta_{cchp} = \frac{Q_{cooling} + Q_{heating} + P_S}{\dot{m}_f \times LHV_{CH4}} \quad (107-3)$$

$$\eta_{chp} = \frac{Q_{heating} + P_S}{\dot{m}_f \times LHV_{CH4}} \quad (108-3)$$

$$\eta_{orc} = \frac{\dot{W}_{net}}{\dot{m}_h(h_7 - h_8)} = \frac{\dot{W}_{net}}{\dot{m}_{orc}(h_4 - h_3)} \quad (109-3)$$

۱-۷-۲-۳ تحلیل اقتصادی سیستم تولید هم زمان

در این بخش به معادلات مورد نیاز برای تحلیل اقتصادی سیستم پرداخته ایم:

برای تحلیل اقتصادی سیستم ابتدا به محاسبه هزینه اولیه می پردازیم.

۱-۷-۲-۳ موتور احتراق داخلی گاز سوز

$$C = -138 \ln(E_{nom}) + 1727.1 \quad (110-3)$$

$$M = 0.1692 \times E_{nom}^{-0.2} \times (1 - 0.6875 \frac{E}{E_{nom}}) \quad (111-3)$$

۱-۷-۲-۳ چیلر جذبی

$$C = 482(C_{nom,el})^{-0.07273} - 159.7 \quad (112-3)$$

$$M = 0.003 \$/kw \quad (113-3)$$

۱-۷-۲-۳ سیستم ذخیره سازی

$$C = 1.15 \times 10^4 \times \left(\frac{V_{ST}}{5}\right)^{0.53} \quad (114-3)$$

۱-۷-۲-۳ سیکل ارگانیک رانکین

$$C_{tur} = 6000 \times (w_{tur})^{0.7} \quad (115-3)$$

$$C_{pump} = 3540 \times (w_{pump})^{0.71} \quad (116-3)$$

$$C_{HX} = 7000 + 360 \times (A_{HX})^{0.8} \quad (117-3)$$

در معادلات (۱۱۰-۳) تا (۱۱۷-۳) C هزینه خرید تجهیزات، M هزینه تعمیر و نگهداری،

ظرفیت برق موتور، W_{tur} توان توربین و w_{pump} سطح مبدل حرارتی می باشد.

حال با داشتن قیمت ها با استفاده از معادلات زیر به تحلیل اقتصادی سیستم می پردازیم.

برای بدست آوردن دوره بازگشت سرمایه، با در نظر گرفتن و انتخاب فرآیند مالی همسنگ ارزش فعلی

به صورت رابطه (۱۱۸-۳) محاسبه می شود. [۴۵، ۴۶، ۴۷]

$$NPWB(y) - NPWC(y) = 0 \quad (118-3)$$

$$PB=y$$

مدت زمان بازگشت سرمایه ها (PB) زمانی خواهد بود که ارزش فعلی خالص در آمدها با ارزش فعلی

هزینه ها با هم برابر خواهد بود پس بنابراین داریم:

ارزش خاص هزینه ها که شامل سرمایه گذاری اولیه شامل خرید دستگاه و اجزاء می باشد. با توجه به

: رابطه (۱۱۹-۳)

$$NPWC(y) = \sum_{j=1}^N (C \times NC)_j = 0 \quad (119-3)$$

با توجه به رابطه (۱۲۰-۳) ارزش فعلی درآمد ها شامل درآمد اسقاطی تجهیزات و درآمد کل سالانه

سیستم می باشد.

$$NPWB(y) = A \times \left[\frac{(1+i)^y - 1}{i(1+i)^y} \right] + SV \left[\frac{1}{(1+i)^y} \right] \quad (120-3)$$

SV شامل هزینه اسقاطی تجهیزات می باشد و در رابطه (۱۲۱-۳) بیان شده است.

$$SV = 0.2 \times NPWC \quad (121-3)$$

A درآمد سالیانه سیستم بوده و در رابطه (۱۲۲-۳) بیان شده است.

$$A(\$) = \sum_{y=1}^{PB} \left[\sum_{t=1}^{8760} (E_S \times \mu_{es}) \times \tau + R_{c\&o \text{ and } M} \right] \quad (122-3)$$

در معادلات (۱۱۸-۳) تا (۱۲۲-۳) i ضریب بهره، y عمر تجهیزات، μ_{es} قیمت برق، τ ساعت کارکرد

سیستم در سال و $R_{c\&o \text{ and } M}$ کاهش در هزینه های اولیه می باشد.

برای بدست آوردن متدهای ارزش حال خالص (NPV) باید هزینه ها به عنوان یک مقدار منفی و صرفه

جویی ها به عنوان یک مقدار مثبت در نظر گرفته شود، حال هزینه سرمایه گذاری در سال اول که یک

مقدار منفی است با صرفه جویی های پایان هر سال را باهم جمع کرده که مقدار NPV بدست می آید.

لازم به ذکر است سود های خالص در هر سال با یک فاکتور تنزیلی ضرب شده و مقدار NPWB را

بدست می آورد.

$$NPV = NPWC(y) + NPWB \quad (123-3)$$

در فرمول (۱۲۳-۳) هرچه مقدار NPV بیشتر باشد پروژه جذاب تر است.

متدهای برگشت داخلی IRR را می توان به این صورت تعریف کرد که نرخ تنزیلی که ارزش حال

حال را صفر می کند به عنوان نرخ برگشت داخلی خوانده می شود و هرچه نرخ برگشت داخلی بیشتر

باشد پروژه جذاب تر خواهد بود.

$$IRR = \frac{NPWB(y)}{NPWC(y)} \times 100 \quad (124-3)$$

فصل چهارم

شبیه‌سازی و ارائه نتایج

۱-۴ مقدمه

در این فصل به ارائه نتایج حاصل از مدل سازی و طراحی سیستم می پردازیم. در این پژوهش که شامل یک سیستم تولید هم زمان سه گانه حرارت، برودت و برق همراه با سیکل ارگانیک رانکین و سیستم ذخیره سازی آب سرد می باشد.

با توجه به این که پژوهش یک مطالعه موردنی است و مکان آن ساختمان مکانیک و عمران دانشگاه صنعتی شاهروд می باشد، با توجه به مکان پژوهش در این فصل مدل سازی به وسیله نرم افزار^۱ EES انجام شده است که به مدل سازی اجزا و سیکل تبرید چیلر جذبی تک اثره لیتیوم بروماید و سیکل ارگانیک رانکین بدون داشتن مبدل حرارتی و سیکل ارگانیک رانکین بدون مبدل حرارتی پرداخته، موتور از نوع موتور احتراق داخلی با توجه به بار مورد نیاز ساختمان محاسبه و انتخاب شده است، مبدل های حرارتی با توجه به موتور احتراق داخلی طراحی شده که تعداد دو مبدل حرارتی با نرم افزار Aspen B-JAC زیر بخش Teams تحلیل مکانیکی پوسته ولوله انجام شده است و در مرحله آخر به طراحی ابعادی و انتخاب مخزن ذخیره ساز آب سرد با توجه به بار ساختمان در دو نوع بار جزئی و بار کلی با توجه به پیک مصرف برق در ظهر پرداخته شده است.

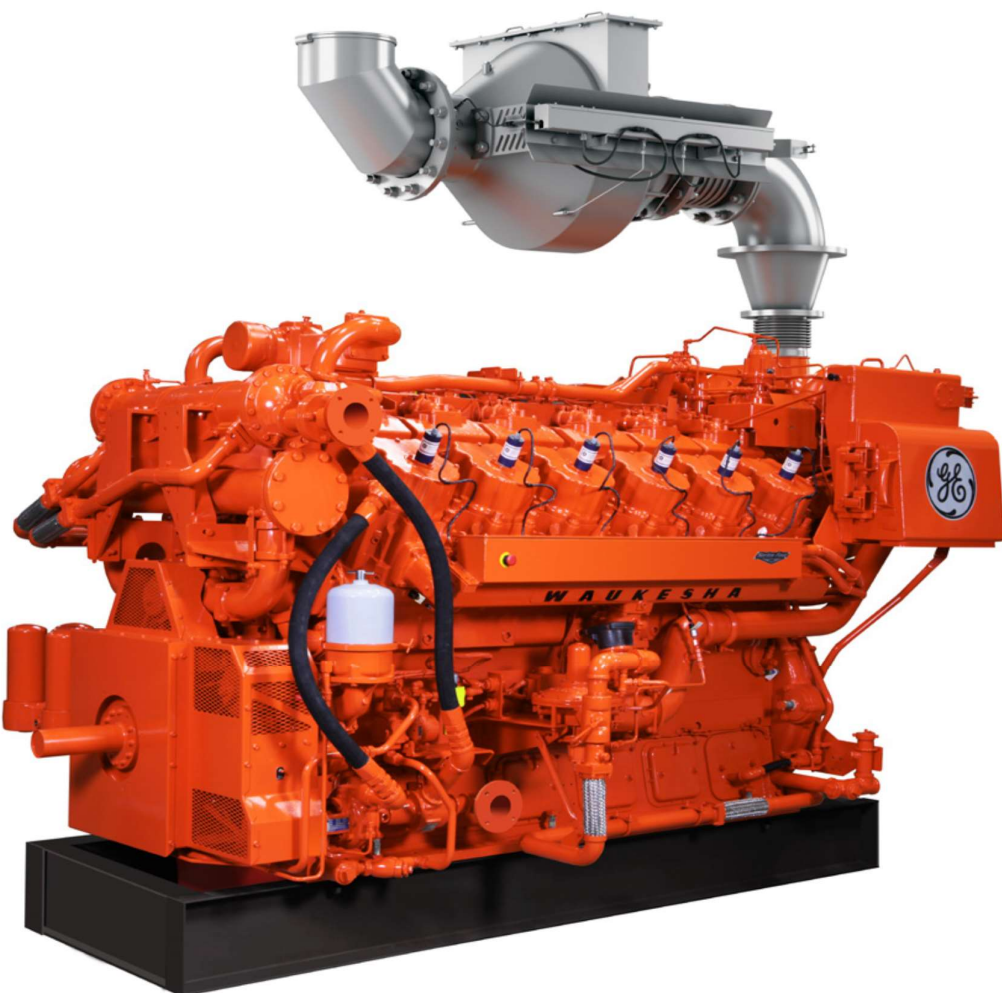
۲-۴ انتخاب موتور احتراق داخلی

برای انتخاب موتور احتراق داخلی باید پارامترهایی را در نظر بگیرم که شامل برق مورد نیاز ساختمان، بار حرارتی مورد نیاز ساختمان و ... می باشد حال باتوجه به حرارت مورد نیاز ساختمان این محاسبات را انجام داده و موتور احتراق داخلی مناسب را انتخاب کرده و نتیجه به صورت جدول(۱-۴) زیر ارائه شده است.

¹ Engineering Equation Solver

لازم به ذکر است موتور احتراق داخلی انتخاب شده دارای یک کاتالیزور بر روی خروجی اگزاز می باشد که به منظور آلودگی کمتر هوای محیط انجام شده که در جدول ارائه شده، مقدار آلودگی با و بدون کاتالیزور نصب شده روی اگزاز موتور بررسی شده است.

موتور انتخاب شده مدل Waukesha gas engines VHP Series Four L7044GSI می باشد و سوخت مصرفی آن گاز می باشد.



[۴۸] Waukesha gas engines VHP Series Four L7044GSI

جدول (۴-۱) خروجی های موتور احتراق داخلی [۴۸] Waukesha

		1200 RPM	1000RPM
	Powerbhp (kw)	1680(1253)	1400(1044)
	BSFC (LHV) Btu/bhp – hr(KJ/KWh)	7881(11149)	7693(10884)
	Fuel Consumption Btu/hr × 1000(KW)	13240(3881)	10770(3157)
emPact Catalyst – Out Emissions	NOx g/bhp – hr (mg/Nm ³ @ 5% O ₂)	0.5(185)	
	CO g/bhp – hr (mg/Nm ³ @ 5% O ₂)	1(370)	
	NMHC g/bh – hr (mg/Nm ³ @ 5% O ₂)	0.18(67)	
	THC g/bhp – hr (mg/Nm ³ @ 5% O ₂)	1.68(626)	
Engine – Out Emissions	NOx g/bhp – hr (mg/Nm ³ @ 5% O ₂)	13.30(4922)	12.9(4782)
	CO g/bhp – hr (mg/Nm ³ @ 5% O ₂)	11.20(4140)	9.4(3477)
	NMHC g/bh – hr (mg/Nm ³ @ 5% O ₂)	0.35(131)	0.34(127)
	THC g/bhp – hr (mg/Nm ³ @ 5% O ₂)	2.40(873)	2.30(844)
Heat Balance	Heat to Jacket Water Btu /hr x 1000 (kW)	3849(1128)	3230(947)
	Heat to Lube Oil Btu /hr x 1000 (kW)	567(166)	463(136)
	Heat to Intercooler Btu /hr x 1000 (kW)	179(53)	119(35)
	Heat to Radiation Btu /hr x 1000 (kW)	724(212)	642(188)

	Total Exhaust Heat Btu /hr x 1000 (kW)	3900(1143)	2962(686)
Intake/Exhaust System	Induction Air Flow scfm (Nm ³ /hr)	2424(3651)	1972(2970)
	Exhaust Flow lb/hr (kg/hr)	11273(5113)	9171(4160)
	Exhaust Temperature °F (°C)	1179(637)	1112(600)

جدول (۴-۲) داده های موتور احتراق داخلی Waukesha

Cylinders	V12
Compression ratio	8: 1
Bore & stroke	9.375in * 8.5in(238 * 216)
Piston displacement	7040cu. in. (115L)
Jacket water system capacity	100gal. (379L)
Lube oil capacity	190gal. (719L)
Starting system	125 – 150 psi $\frac{\text{air}}{\text{gas}}$ 24V electric
Dimensions l x w x h inch (mm)	147(3734) * 85(2159) * 97.83(2485)
Weights lb (kg)	24.250(11000)

خروجی های موتور بررسی شد و داده های مورد نیاز و مهم برای مراحل بعد در جدول (۱-۴) پررنگ تر شد.

در موتور خانه دانشگاه ۲ عدد دیگ آب گرم داریم که ظرفیت هر کدام $620000 \left(\frac{Btu}{hr} \right)$ می باشد که که با تبدیل این عدد به کیلو وات، هر دیگ دارای ظرفیت ۷۵۵,۸۱ کیلو وات است پس در نتیجه برای هر دو دیگ عدد بدست آمده ۱۴۵۰ کیلو وات بدست می آید که حداقل گرمای مورد نیاز ساختمان

۱۴۵۰ کیلو وات است. این حرارت باید توسط جکت موتور و گاز اگزاست خروجی به وسیله دو مبدل پوسته ولوله تامین شود.

لازم به ذکر است که اگر از گاز اگزاست موتور استفاده نکنیم به طبع باید یک موتور بزرگتر انتخاب کرده تا انرژی لازم ساختمان را تامین کند، با این کار هزینه اوپله بیشتر شده و شاید کار توجیه اقتصادی نداشته باشد.

۴-۳ طراحی و انتخاب مبدل های حرارتی

در این پژوهش ۲ مبدل حرارتی از نوع پوسته ولوله انتخاب شده است که در ارتباط با موتور احتراق داخلی انتخاب شده می باشد و که مبدل اول با آب جکت موتور در ارتباط بوده و گرمای آب جکت را دریافت می کند و مبدل دوم با گاز اگزاست خروجی از موتور احتراق داخلی در ارتباط است و گرمای گاز خروجی را دریافت می کند.

لازم به ذکر است هر دو مبدل حرارتی با نرم افزار Aspen B-JAC طراحی شده است که ابتدا در زیر بخش Hetran طراحی حرارتی شده و بعد در زیر بخش Teams تحلیل مکانیکی پوسته ولوله انجام شده است، البته لازم به ذکر است که هردو نرم افزار زیر بخش هایی از Aspen B-JAC هستند.

۴-۱ مبدل حرارتی پوسته ولوله ۱

در مبدل حرارتی پوسته ولوله ۱ که هر دو سیال در پوسته و ولوله آب می باشند. در این مبدل آب با دمای ۷۰ تا ۷۵ درجه سانتیگراد و دبی معین از پایین وارد پوسته شده، که این دما همان دمای تقریبی خروجی آب گرم از ژنراتور چیلر جذبی تک اثره می باشد، و دمای آب افزایش یافته و از بالای پوسته مبدل حرارتی خارج و به پایین مبدل حرارتی ۲ وارد می شود. آب جکت موتور با دمای ۹۹ درجه سانتیگراد و دبی معین، به وسیله واتر پمپ وارد ولوله های مبدل شده و پس از انتقال حرارت با سیال و کم شدن دما از طریق ولوله خروجی مبدل حرارتی به جکت موتور باز می گردد.

۳-۱-۱-۱ تحلیل حرارتی مبدل حرارتی پوسته ولوله ۱ با Hetran

در این بخش به تحلیل حرارتی مبدل پوسته و ولوله ۱ پرداخته و خروجی های برنامه را برای مبدل حرارتی پوسته و ولوله ۱ به طور مستقیم گزارش می کنیم.

لازم به ذکر است به دلیل داشتن خروجی های دقیق و زیاد برنامه و نداشتن حجم کافی در این پژوهش فقط به خروجی های اصلی و مهم تر می پردازیم.

همان طور که در جدول (۳-۴) نشان داده شده است در مبدل حرارتی ۱ در سمت پوسته آب برگشتی از ژنراتور جریان داشته و در سمت ولوله آب داغ خروجی از جکت موتور در حال چرخش است.

دبی جرمی ورودی در سمت پوسته همان آب برگشتی از ژنراتور با دمای ۷۲ درجه سانتیگراد با دبی جرمی $20/22 \left(\frac{kg}{s} \right)$ بوده و آب داغ جکت با دمای ۹۹ درجه سانتیگراد سمت ولوله مبدل حرارتی و با دبی جرمی $6/1 \left(\frac{kg}{s} \right)$ در حال گردش در ولوله مبدل می باشد.

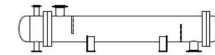
۳-۱-۲-۱ تحلیل مکانیکی مبدل حرارتی پوسته ولوله ۱ با Teames

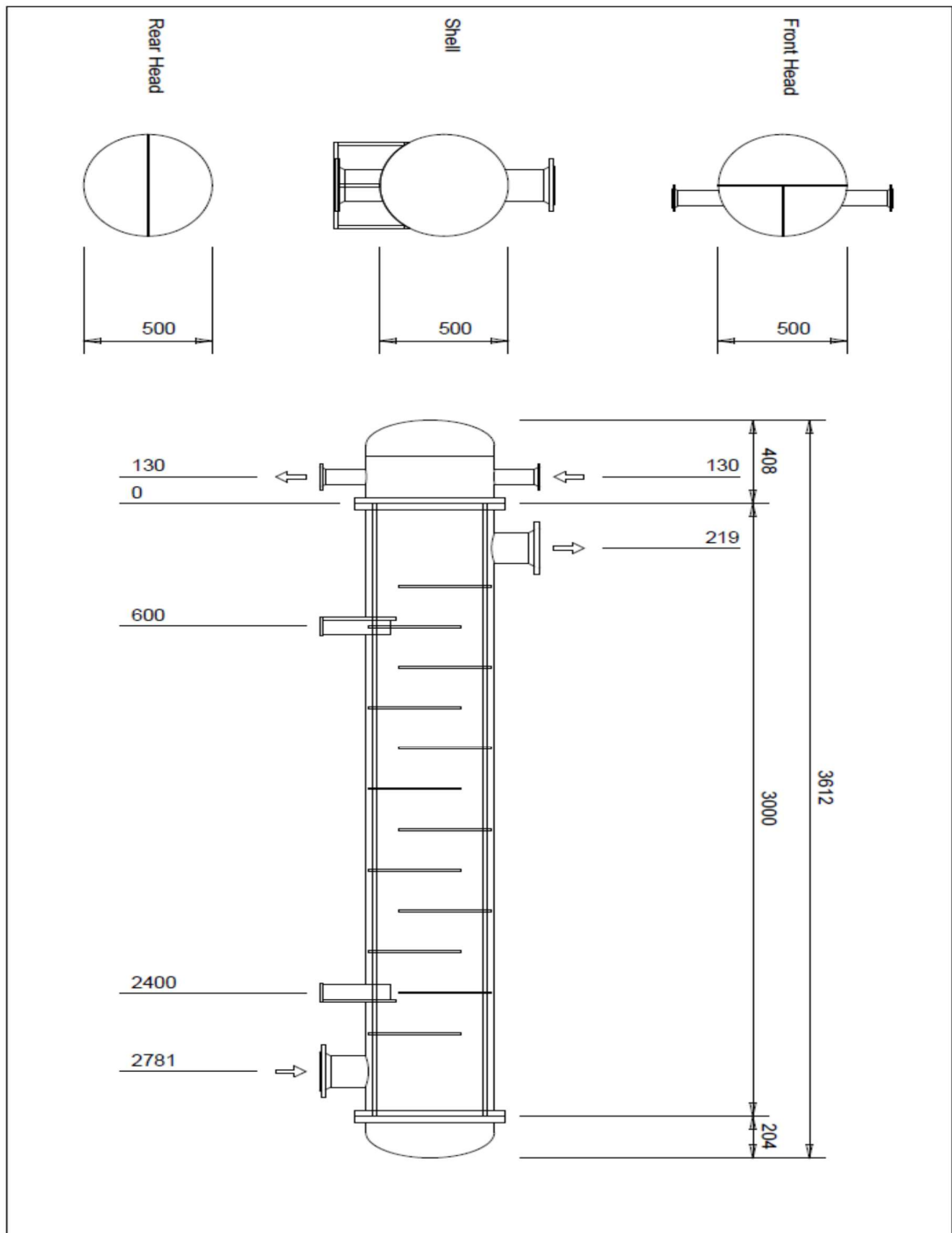
در این بخش به تحلیل مکانیکی مبدل حرارتی پوسته ولوله می پردازیم که با توجه به شکل (۲-۴) و بخشی از نقشه های مبدل حرارتی پوسته ولوله ۱ با Teames می باشند که نشان دهنده قطر پوسته که ۵۰۰ میلی متر، نوع پوسته، نوع کلگی جلو، نوع کلگی عقب، تعداد بافل ها ۱۲ عدد، طول کامل مبدل که ۳۶۱۲ میلی متر و اندازه جزء به جزء مبدل حرارتی پوسته ولوله را نشان داده است.

همچنین در شکل (۳-۴) که نمایی از ولوله های قرار گرفته درون پوسته و همچنین نوع آرایش قرار گیری ولوله ها در پوسته که مثلثی بوده، تعداد ولوله ها که ۲۶۸ ولوله در کل پوسته، تعداد تقسیم شده ولوله ها در هر بخش ۶۷ عدد بوده، و دارای ۴ بخش است، گام ولوله و فاصله ولوله ها در آرایش مثلثی نیز می باشد.

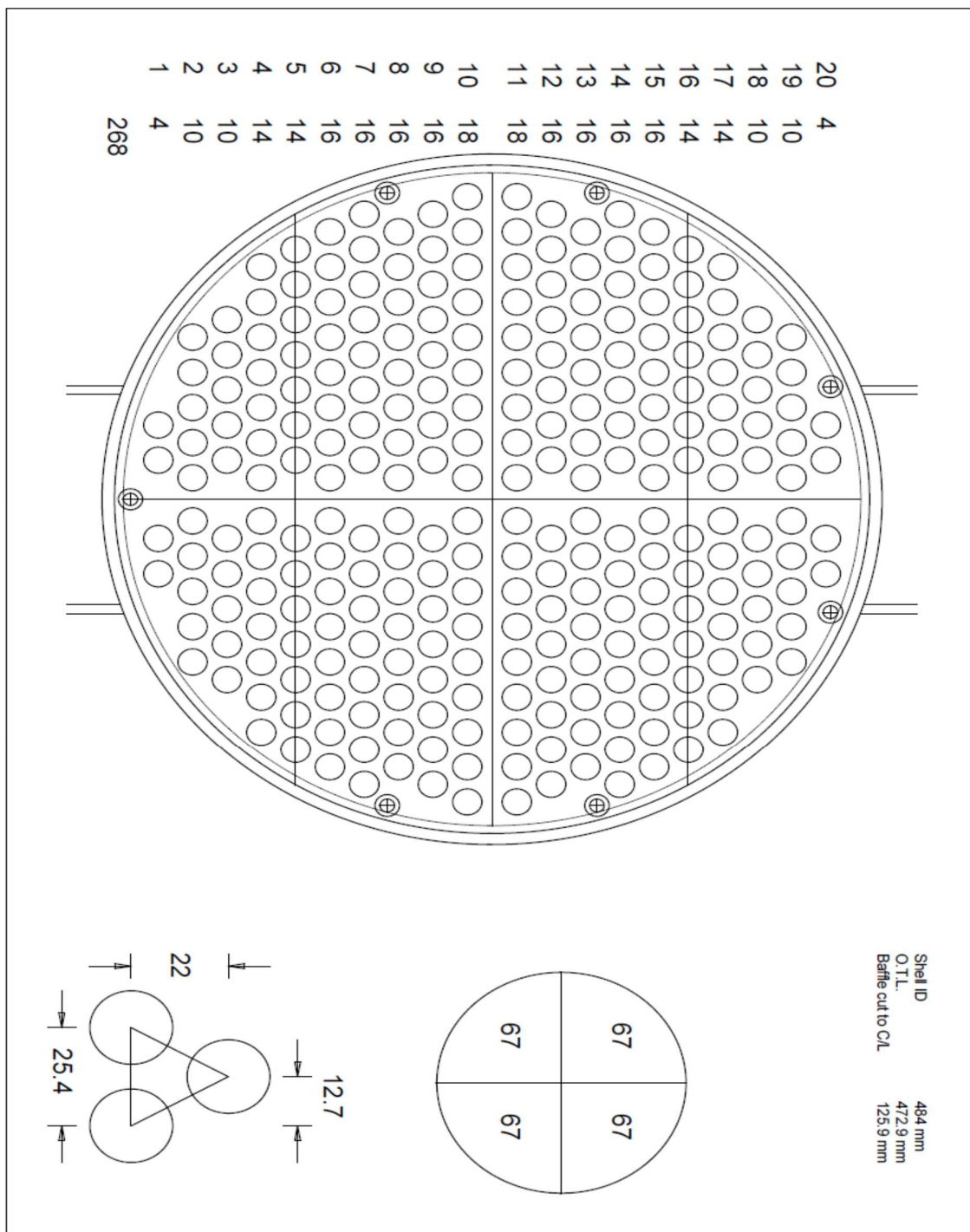
جدول (۴-۳) تحلیل حرارتی مبدل حرارتی پوسته ولوله ۱ با Hetran

1	Company:					
2	Location: Shahrood University of Technology					
3	Service of Unit: Our Reference:					
4	Item No.: 1 Your Reference:					
5	Date: 2017 Rev No.:	Job No.:				
6	Size 484-3000	mm	Type BEM	hor	Connected in 1 parallel	1 series
7	Surf/unit(eff.) 47.2	m ²	Shells/unit 1	Surf/shell (eff.) 47.2		m ²
8	PERFORMANCE OF ONE UNIT					
9	Fluid allocation		Shell Side		Tube Side	
10	Fluid name		Hot water		Hot water	
11	Fluid quantity, Total	kg/s	20.22		6.1	
12	Vapor (In/Out)	kg/s				
13	Liquid	kg/s	20.22	20.22	6.1	6.1
14	Noncondensable	kg/s				
15						
16	Temperature (In/Out)	C	73	79.04	99	79
17	Dew / Bubble point	C				
18	Density	kg/m ³	977.95	974.02	959.64	974.05
19	Viscosity	mPa*s	0.393	0.36	0.286	0.361
20	Molecular wt, Vap					
21	Molecular wt, NC					
22	Specific heat	kJ/(kg*K)	4.186	4.187	4.194	4.187
23	Thermal conductivity	W/(m*K)	0.656	0.662	0.677	0.662
24	Latent heat	kJ/kg				
25	Pressure	bar	1.013		1.52	
26	Velocity	m/s		0.52		0.48
27	Pressure drop, allow./calc.	bar	0.405	0.139	0.608	0.036
28	Fouling resist. (min)	m ² *K/W				
29	Heat exchanged	511216 W	MTD corrected			9.39 C
30	Transfer rate, Service	1152.9	Dirty	2114.1	Clean 2114.1	W/(m ² *K)
31	CONSTRUCTION OF ONE SHELL					
32		Shell Side	Tube Side			
33	Design/Test pressure	bar	5.171/-1.014 /Code	5.171/ /Code		
34	Design temperature	C	115.56	137.78		
35	Number passes per shell		1	4		
36	Corrosion allowance	mm	1.59	1.59		
37	Connections	In	152.4 / 150 ANSI	76.2 / 150 ANSI		
38	Size/rating	Out	152.4 / 150 ANSI	76.2 / 150 ANSI		
39	mm/	Intermediate	/ 150 ANSI	/ 150 ANSI		
40	Tube No. 268	OD 19.05	Tks-avg 1.65	mm Length 3000	mm Pitch 25.4	mm
41	Tube type Plain		Material CS			Tube pattern 30
42	Shell CS	ID OD 500	mm	Shell cover		
43	Channel or bonnet CS			Channel cover		
44	Tubesheet-stationary CS			Tubesheet-floating		
45	Floating head cover			Impingement protection	None	
46	Baffle-crossing CS	Type single seg	Cut(%d) 23	hor	Spacing: c/c 199.14	mm
47	Baffle-long	Seal type			Inlet 376.18	mm
48	Supports-tube	U-bend		Type		
49	Bypass seal		Tube-tubesheet joint		groove/expand	
50	Expansion joint		Type			
51	RhoV2-Inlet nozzle 1258	Bundle entrance 495		Bundle exit 497		kg/(m*s ²)
52	Gaskets - Shell side		Tube Side			
53	Floating head					
54	Code requirements ASME Code Sec VIII Div 1			TEMA class B		
55	Weight/Shell 1252.5	Filled with water 1848		Bundle 737.6		kg
56	Remarks					





شکل (۲-۴) نمای کلی از تحلیل مکانیکی مبدل حرارتی پوسته ولوله ۱ با Teames



شکل (۴-۳) نمای کلی از وضعیت چیدمان لوله ها در مبدل حرارتی پوسته و لوله با Teames

۲-۴-۳ مبدل حرارتی پوسته ولوله ۲

در مبدل حرارتی پوسته ولوله ۲ سیال در پوسته، آب خروجی از مبدل حرارتی پوسته ولوله ۱ می باشد. در این مبدل آب با دمای ۸۰ درجه سانتیگراد و دبی معین از پایین وارد پوسته شده، و دمای آب افزایش یافته و از بالای پوسته مبدل حرارتی خارج و به سمت ژنراتور چیلر جذبی حرکت می کند. در قسمت ولوله مبدل، گاز داغ با دمای ۶۳۷ درجه سانتیگراد با فشار و دبی جرمی معین از بالا مبدل وارد ولوله مبدل شده و پس از انتقال حرارت و افزایش دمای آب در پوسته با دمای معین از پایین مبدل خارج می شود.

۲-۴-۳-۱ تحلیل حرارتی مبدل حرارتی پوسته ولوله ۲ با Hetran

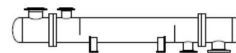
همان طور که در جدول (۴-۴) نشان داده شده است در مبدل حرارتی ۲ در سمت پوسته آب خروجی از مبدل حرارتی ۱ جریان داشته و در سمت ولوله گاز داغ خروجی از اگزاز موتور در حال چرخش است. دبی جرمی ورودی در سمت پوسته همان آب خروجی از مبدل حرارتی ۱ با دمای ۷۹ درجه سانتیگراد با دبی جرمی $(\frac{kg}{s})$ ۲۰/۲۲ بوده و گاز داغ خروجی از اگزاز موتور با دمای ۶۳۷ درجه سانتیگراد سمت ولوله و با دبی جرمی $(\frac{kg}{s})$ ۱/۵۲ در حال گردش در ولوله مبدل می باشد و دمای خروجی گاز ۱۴۰ درجه سانتیگراد می باشد.

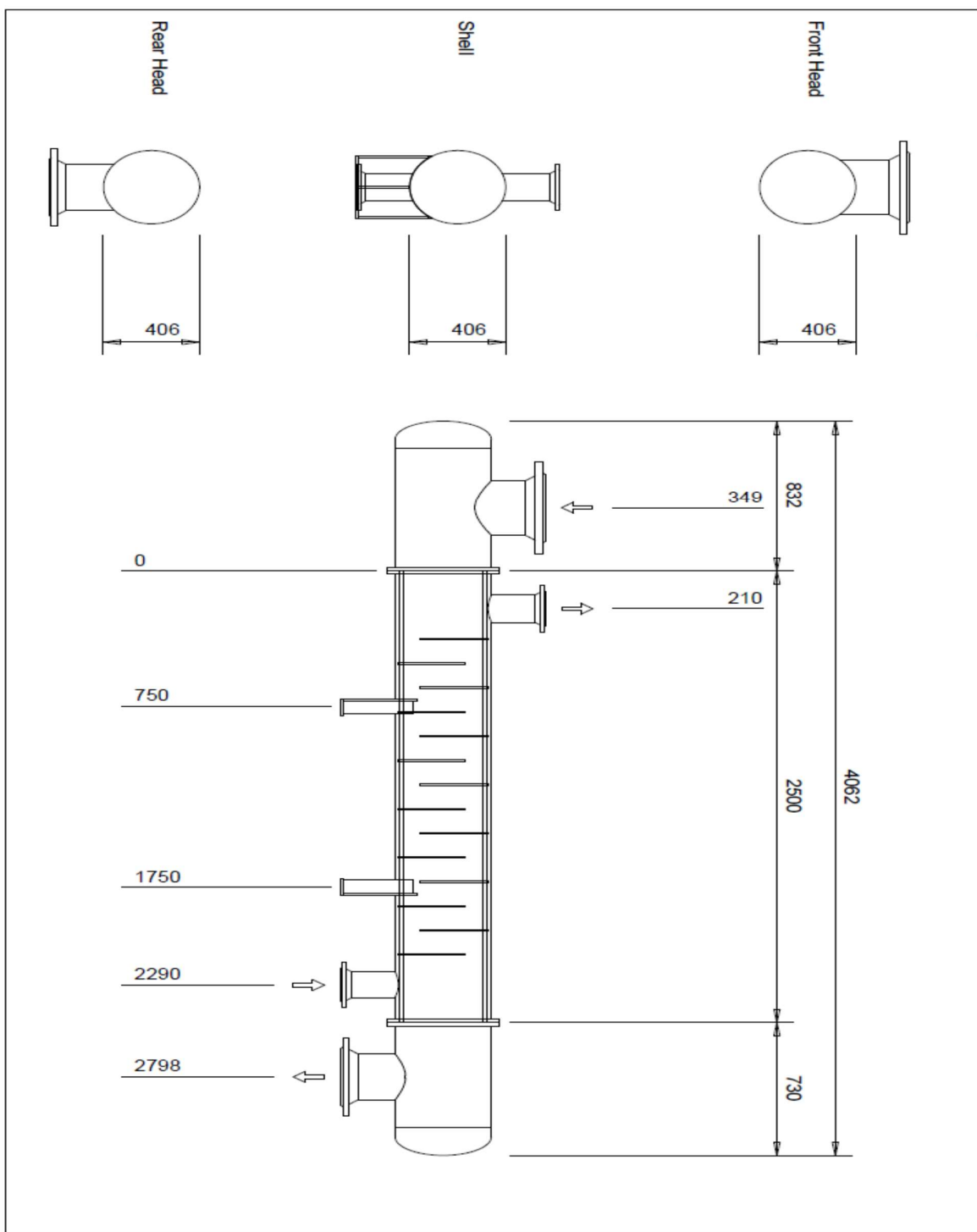
۲-۴-۳-۲ تحلیل مکانیکی مبدل حرارتی پوسته ولوله ۲ با Teames

در این بخش به تحلیل مکانیکی مبدل حرارتی پوسته ولوله ۲ می پردازیم که با توجه به شکل (۴-۴) بخشی از نقشه های مبدل حرارتی پوسته ولوله ۲ با زیر بخش Teames می باشند که نشان دهنده قطر پوسته که ۴۰۶ میلی متر، نوع پوسته، نوع کلگی جلو، نوع کلگی عقب، طول کامل مبدل که ۴۰۶۲ میلی متر و اندازه جزء به جزء مبدل حرارتی پوسته ولوله را نشان داده است.

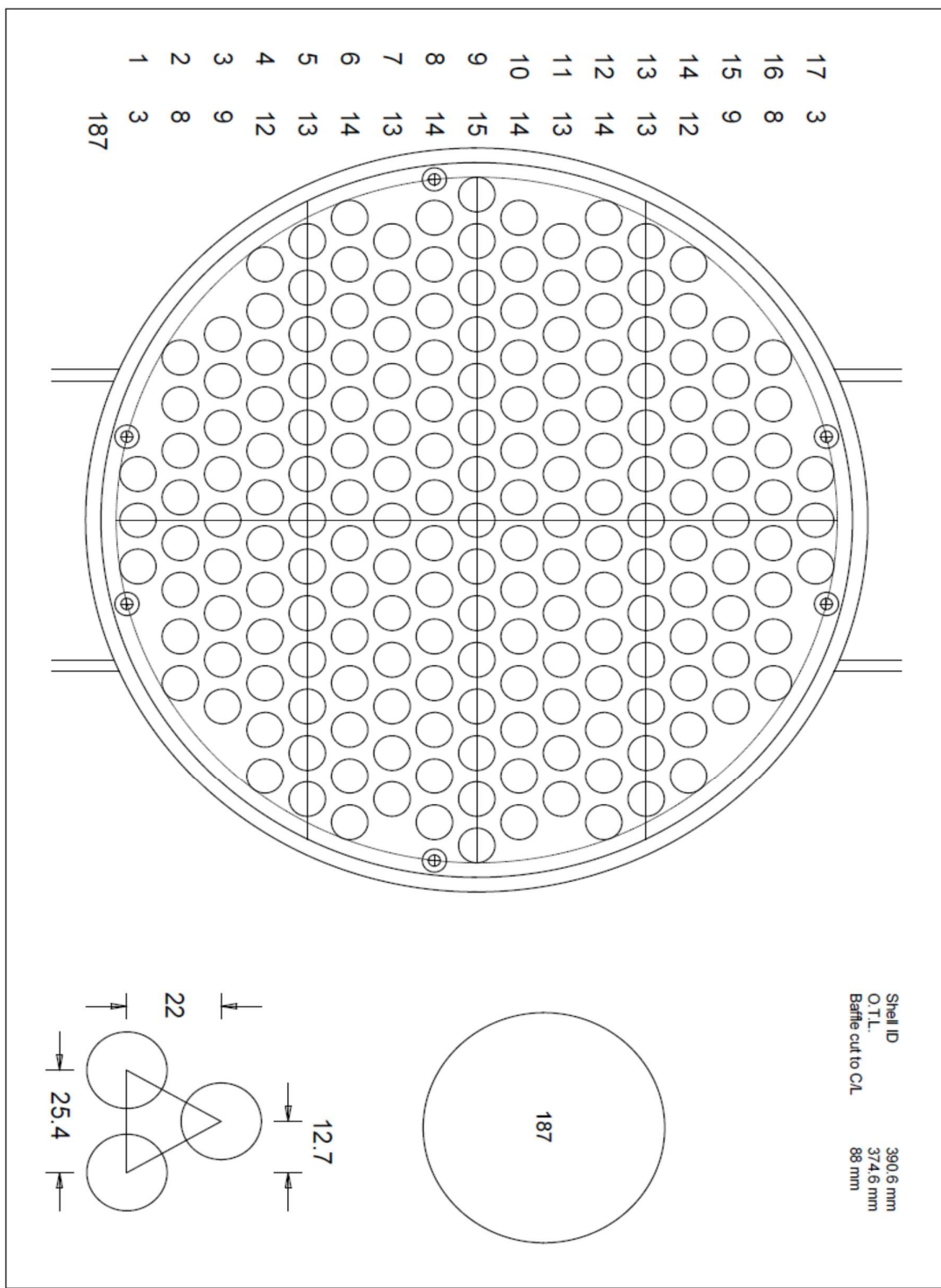
همچنین در شکل (۵-۴) که نمایی از لوله های قرار گرفته درون پوسته و همچنین نوع آرایش قرار گیری لوله ها در پوسته که مثلى بوده، تعداد لوله ها که ۱۸۷ لوله در کل پوسته، تعداد تقسیم شده لوله ها ۱۸۷ لوله می باشد.

جدول (۴-۴) تحلیل حرارتی مبدل حرارتی پوسته ولوه ۲ با Hetran [۴۹]

1	Company:					
2	Location: Shahrood University of Technology					
3	Service of Unit: Our Reference:					
4	Item No.: Your Reference:					
5	Date:	Rev No.:	Job No.:			
6	Size	390--2500	mm	Type BEM	hor	Connected in 1 parallel 1 series
7	Surf/unit(eff.)	27.6	m ²	Shells/unit 1	Surf/shell (eff.)	27.6 m ²
8	PERFORMANCE OF ONE UNIT					
9	Fluid allocation		Shell Side	Tube Side		
10	Fluid name		Hot water	Exhaust gases		
11	Fluid quantity, Total		kg/s	20.22	1.52	
12	Vapor (In/Out)	kg/s			1.52	1.52
13	Liquid	kg/s	20.22	20.22		
14	Noncondensable	kg/s				
15						
16	Temperature (In/Out)	°C	79	90	637	140
17	Dew / Bubble point	°C				
18	Density	kg/m ³	974.05	965.56	0.37	0.82
19	Viscosity	mPa*s	0.361	0.322	0.039	0.021
20	Molecular wt, Vap					
21	Molecular wt, NC					
22	Specific heat	kJ/(kg*K)	4.187	4.194	1.3	1.136
23	Thermal conductivity	W/(m*K)	0.662	0.668	0.075	0.032
24	Latent heat	kJ/kg				
25	Pressure	bar	1.013			1.013
26	Velocity	m/s		0.88		84.32
27	Pressure drop, allow./calc.	bar	0.405	0.405	0.405	0.077
28	Fouling resist. (min)	m ² *K/W				
29	Heat exchanged	932938	W	MTD corrected	221.56	°C
30	Transfer rate, Service	152.8	Dirty	166.8	Clean 166.8	W/(m ² *K)
31	CONSTRUCTION OF ONE SHELL					
32			Shell Side	Tube Side	Sketch	
33	Design/Test pressure	bar	5.171/-1.014 /Code	5.171/-1.014 /Code		
34	Design temperature	°C	126.67	671.11		
35	Number passes per shell		1	1		
36	Corrosion allowance	mm	1.59	1.59		
37	Connections	In	152.4 / 150 ANSI	304.8 /		
38	Size/rating	Out	152.4 / 150 ANSI	254 /		
39	mm/	Intermediate	/ 150 ANSI	/		
40	Tube No. 187	OD 19.05	Tks-avg 1.65	mm Length 2500	mm Pitch 25.4	mm
41	Tube type		Material CS	Tube pattern 30		
42	Shell	CS	ID OD 406.4	mm	Shell cover	
43	Channel or bonnet	CS			Channel cover	
44	Tubesheet-stationary	CS			Tubesheet-floating	
45	Floating head cover			Impingement protection	None	
46	Baffle-crossing	CS	Type single seg	Cut(%d) 27	hor Spacing: c/c 134.11	mm
47	Baffle-long		Seal type		Inlet 359.22	mm
48	Supports-tube		U-bend	Type		
49	Bypass seal			Tube-tubesheet joint	groove/expand	
50	Expansion joint			Type		
51	RhoV2-Inlet nozzle	1263	Bundle entrance 960		Bundle exit 968	kg/(m*s ²)
52	Gaskets - Shell side			Tube Side		
53	Floating head					
54	Code requirements		ASME Code Sec VIII Div 1		TEMA class B	
55	Weight/Shell	1081.8	Filled with water 1481.7		Bundle 515	kg
56	Remarks					



شکل (۴-۴) نمای کلی از تحلیل مکانیکی مبدل حرارتی پوسته ولوله ۲ با Teames



شکل (۴-۵) نمای کلی از وضعیت چیدمان لوله ها در مبدل حرارتی پوسته و لوله ۲ با Teames

۴-۴ مدل سازی چیلر جذبی

در این قسمت به مدل سازی چیلر جذبی تک اثره از نوع لیتیوم برومايد می پردازیم. ابتدا به حل معادلات انرژی هر بخش پرداخته و آن ها را حل می کنیم.

مدل سازی هر یک از اجزاء چیلر جذبی شامل پمپ محلول لیتیوم برومايد، مبدل حرارتی محلول لیتیوم برومايد، ژنراتور، کندانسور، اوپراتور، ابزوربر و شیر های انبساط چیلر جذبی می باشد.

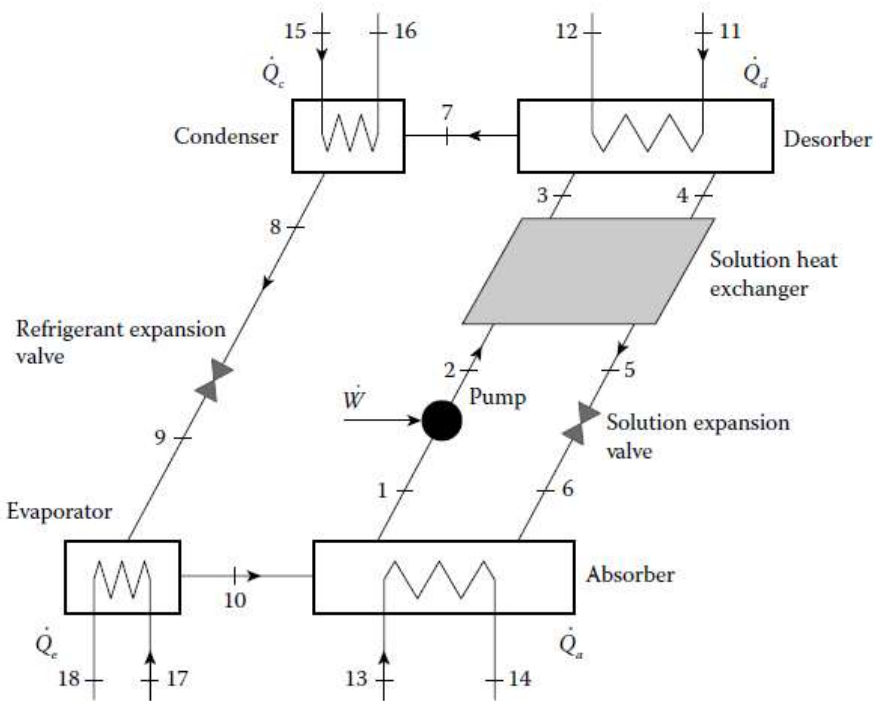
توان تبرید مورد نیاز برای این پژوهش ۲۵۰ تن تبرید بوده و مدل سازی بر مبنای ورودی های این تناظر سرمایی با نرم افزار EES انجام شده است.^[۵۰]

۴-۴-۱ سیکل تبرید جذبی تک اثره با مدل انتقال حرارت

با توجه به معادلات مربوط به چیلر جذبی در فصل ۳ و همچنین با توجه به شکل (۶-۴) می خواهیم به وسیله نرم افزار EES این سیکل را مدل سازی کنیم.

همان طور که در شکل (۶-۴) مشاهده می شود این سیکل از چهار جزء اصلی تشکیل شده است که شامل ابزوربر و اوپراتور در قسمت کم فشار سیستم، و کندانسور و ژنراتور در قسمت پرفشار سیستم قرار دارد. سیال عامل یا همان مبرد آب می باشد و جاذب در این سیستم لیتیوم برومايد می باشد با توجه به نقاط نام گذاری شده از نقطه مبرد از نقطه ۷ به صورت بخار با فشار بالا خارج شده و به سمت کندانسور انتقال می یابد در کندانسور پس از انتقال حرارت با آب برج خنک کن که با نقطه ۱۵ نشان داده شده، تقطیر شده و در حال جريان از نقطه ۸ گذشته و به شیر انبساط می رسد. در شیر انبساط فشار مبرد شکسته و وارد اوپراتور در نقطه ۹ می شود، در اوپراتور پس از اين که حرارت نهان سیال،(نقطه ۱۸) که همان آب درون فن کویل می باشد را جذب کرد بخار شده و بخار کم فشار بدون مقاومت از طريق اوپراتور (نقطه ۱۰) وارد جذب کننده یا ابزوربر شده و از طرق ماده جاذب که همان لیتیوم برومايد می باشد جذب می شود. چون فشار محلول جاذب و مبرد در ابزوربر از فشار مبرد در اوپراتور کمتر است پس مبرد از اوپراتور به جاذب حرکت می کند. محلول رقيق در ابزوربر از طريق

نقطه یک با فشار پایین از طرق پمپ گرفته و با افزایش فشار توسط پمپ محلول وارد نقطه ۲ و در نتیجه وارد مبدل حرارتی محلول شده در مبدل حرارت با محلول برگشتی از ژنراتور دمای محلول رقیق بالا رفته و وارد ژنراتور می شود. در نقطه ۴ محلول غلیظ که باعث آزاد سازی یا بخار مبرد شده است از طریق نقطه ۴ وارد مبدل حرارتی شده و با محلول رقیق رفت از ابزوربر انتقال حرارت کرده و دمای محلول غلیظ کاهش یافته و در نقطه ۵ به شیر انبساط محلول می رسد، بعد از گذر از شیر انبساط به و سیله همان شیر فشار شکسته شده و وارد ابزوربر می شود.



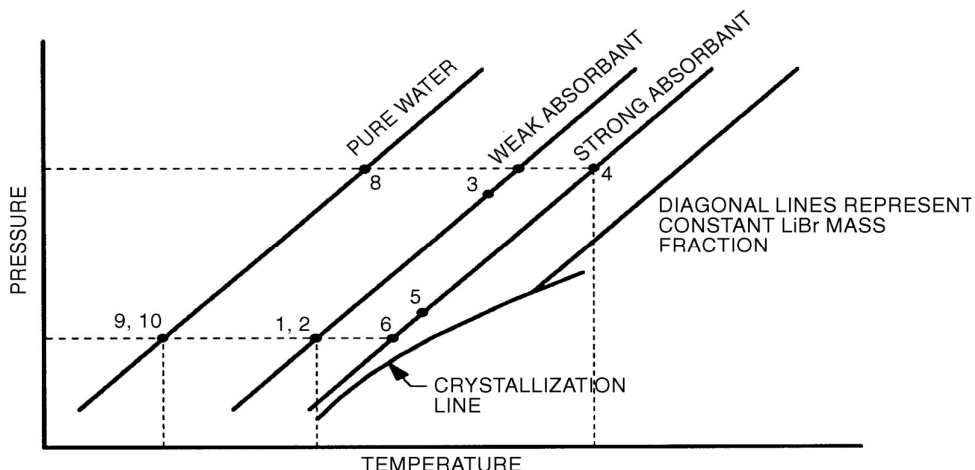
شکل(۶-۴) شماتیک یک سیستم تبرید جذبی تک اثره لیتیم بروماید [۳۴]

با توجه به این که فشار و دما در اوپراتور پایین است و با توجه به این که باید فشار در ابزوربر کمی پایین تر از اوپراتور باشد تا مبرد به ابزوربر جریان یابد، وقتی که دما در اوپراتور پایین باشد به طبع فشار هم در اوپراتور پایین است و وقتی که دما در اوپراتور پایین باشد دما در ورودی ابزوربر کم می شود، برای این که فشار در ابزوربر کم شود باید محلول لیتیم بروماید غلیظ باشد و وقتی که غلظت

محلول در ابزوربر از حدی پایین باشد باعث کریستالیزاسیون (ایجاد بلور های یخی) می شود که این پدیده برای سیستم جذبی مضر است.

برای جلوگیری از این پدیده باید دما در خروجی اوپراتور در حدی نگه داشته شود که این پدیده به وجود نماید.

شکل (۷-۴) شکل دو خاصیتی محلول لیتیوم بروماید و آب را نشان می دهد که در قسمت پایین سمت راست خط کریستالیزاسیون را نشان می دهد که زیر این خط باعث ایجاد پدیده کریستالیزاسیون می شود و کار سیستم جذبی را مختل می کند.



شکل (۷-۴) شکل دو خاصیتی محلول لیتیوم بروماید – آب

۲-۴-۴ ورودی های چیلر جذبی تک اثره لیتیم بروماید برای حل و ارائه نتایج سیکل مدل شده شکل (۶-۴) به ورودی هایی نیاز داریم که در جدول (۵-۴) نشان داده شده است.

جدول (۴-۵) شرایط عملیاتی برای سیکل تبرید جذبی لیتیوم بروماید و آب تک اثره

State Points	h_i (kg/kg)	m_i (kg/s)	P_i (kpa)	T_i (°C)	X_i (%LiBr)
1	72.2	2.98	0.755	30.5	54.5
2	72.2	2.98	4.736	30.5	54.5
3	123.7	2.98	4.736	55.2	54.5
4	203.5	2.6	4.736	79.9	62.4
5	144.6	2.6	4.736	48.3	62.4
6	144.6	2.6	0.755	45.9	62.4
7	2618.1	0.3752	4.736	63.3	0
8	133.7	0.3752	4.736	31.9	0
9	133.7	0.3752	0.755	2.9	0
10	2505.9	0.3752	0.755	2.9	0
11	381.1	20.22		90	
12	324.6			75	
13	104.8	41.25		25	
14	131.5			31.4	
15	104.8	41.25		25	
16	127.4			30.4	
17	58.7	27.1		14	
18	25.9			6.2	

در جدول (۶-۴) مقدار نرخ انتقال گرما و همچنین اختلاف دمای لگاریتمی هر کدام از اجزا بدست آمده است.

همان طور که مشاهده می شود نرخ انتقال گرما با همان توان اوپراتور تقریبا ۸۹۰ کیلو وات می باشد.

جدول (۴-۶) نرخ انتقال گرما و اختلاف دمای لگاریتمی برای سیکل تبرید جذبی لیتیوم برومايد و آب تک اثره

Component	Heat Transfer Rate (kW)	<i>Log Mean Temperature Difference</i> ΔT_{lm} (K)	$UA \left(\frac{kw}{k} \right)$
Desorber	1143.704	12.612	90.68
Absorber	1101.602	9.28	118.73
Condenser	932.176	3.56	261.89
Evaporator	890.106	6.343	140.33
Solution HX	153.43	21.051	7.288

در جدول (۷-۴) ضریب عملکرد سیکل تبرید جذبی لیتیوم برومايد و آب تک اثره و همچنین توان مصرفی پمپ محلول را نشان داده ایم، ضریب عملکرد سیستم 0.778 می باشد. راندمان مبدل حرارتی 0.64 بوده و توان مصرفی پمپ محلول

(۷-۴) ضریب عملکرد سیکل تبرید جذبی و مبدل حرارتی توان مصرفی پمپ لیتیوم برومايد و آب تک اثره

\dot{W}	<i>Pump power</i>	0.0075 kw
COP	<i>Coefficient of performance</i>	0.778
ε_{SHX}	<i>Solution heat exchanger performance</i>	0.64

۱-۲-۴-۴ بررسی تغییرات پارامتر ها بر روی سیکل چیلر جذبی

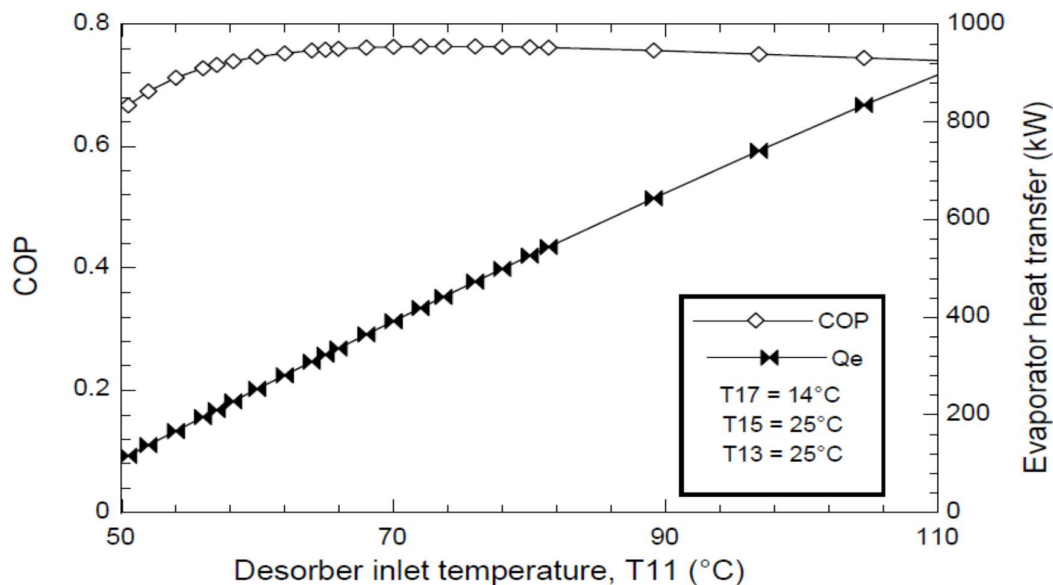
حال به بررسی انواع پارامتر ها و تغییرات آن ها پرداخته و نتایج هر یک را تحلیل می کنیم:

۱-۱-۲-۴ تاثیر دمای ورودی به ژنراتور

یکی از مهمترین پارامترهای طراحی دمای ورودی به ژنراتور می باشد . همانطور که مشخص است با افزایش دمای ورودی به ژنراتور غلظت محلول خروج (محلول غلیظ) افزایش یافته و این افزایش نباید به گونه ای باشد که موجب پدیده کریستالیزاسیون در مجموعه شود . همچنین تاثیر این تغییر دما

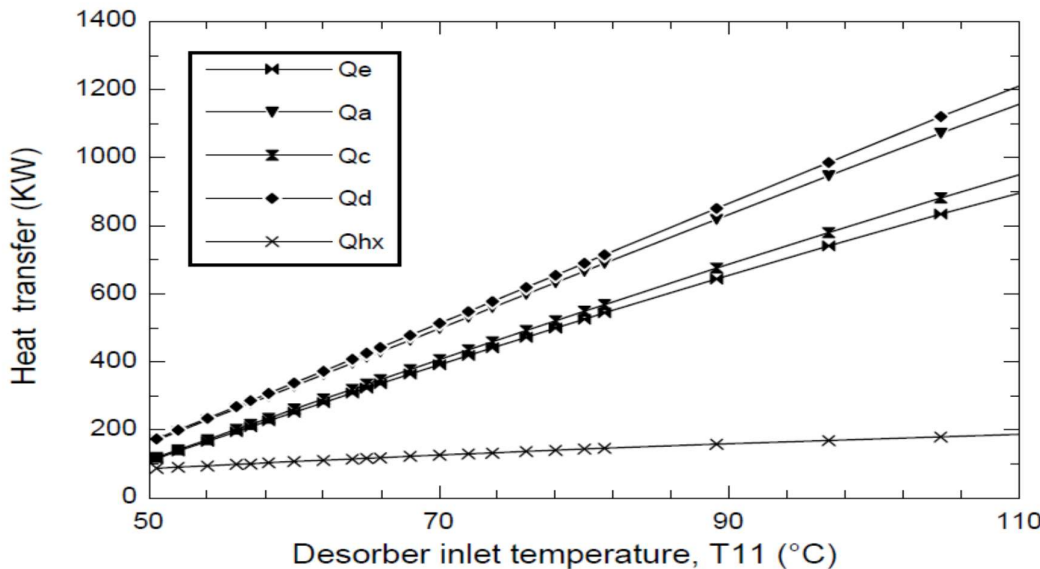
بروی دمای محلول رقیق لیتیوم بروماید-آب و دمای مبرد فشار پایین خروجی از اواپراتور به صورت مجزا آورده شده است. ضریب کارایی برای چیلر جذبی به صورت حاصل تقسیم مقدار سرمایش حاصل از اواپراتور به گرمایش مصرف شده در ژنراتور می باشد.

در شکل (۴-۸) اثر تغییر دمای ورودی به ژنراتور چیلر در محدوده ۵۰ تا ۱۱۰ درجه سانتیگراد بر روی خروجی ها مشخص شده است. با افزایش دمای ژنراتور بار سرمایش اواپراتور افزایش می یابد بنابراین ضریب کارایی سیستم جذبی نیز افزایش پیدا می کند این افزایش تا دمای ۹۰ درجه افزایش یافته واز آن به بعد به دلیل رخ دادن پدیده کریستالیزاسیون در چیلر جذبی تک اثره ضریب کارایی کاهش می یابد.



شکل (۴-۸) تأثیر دمای ورودی ژنراتور بر ضریب عملکرد و مقدار سرمایش اواپراتور

در شکل (۹-۴) تأثیر دمای ورودی ژنراتور بر مقدار بار حرارتی اجزاء برسی شده و شکل بیانگر افزایش بار حرارتی اجزاء مختلف است و دلیل آن افزایش بار حرارتی ژنراتور چیلر جذبی تک اثره می باشد.



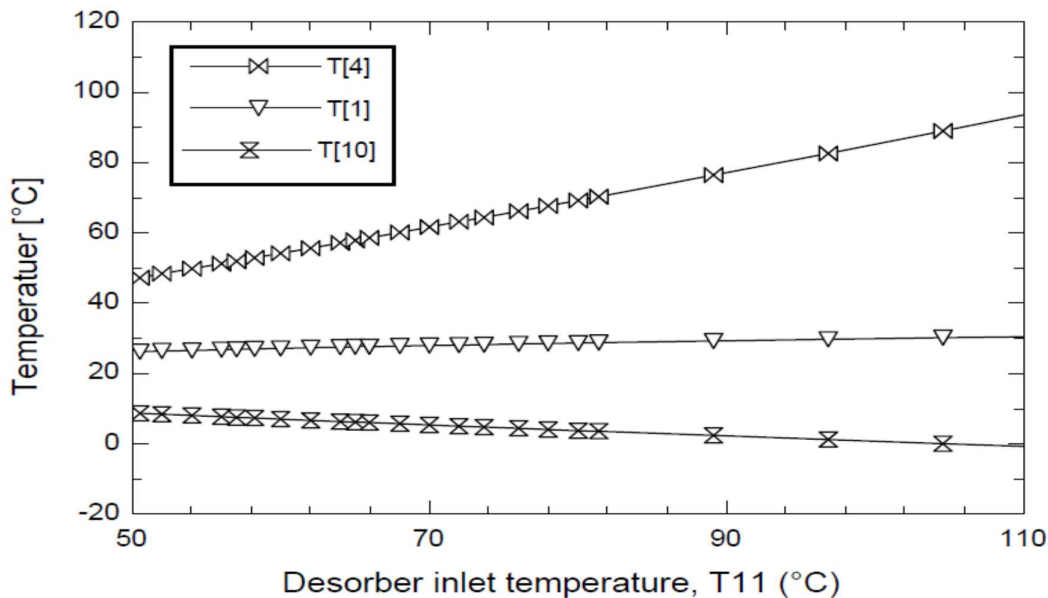
شکل (۹-۴) تأثیر دمای ورودی ژنراتور بر مقدار بار حرارتی اجزاء

در شکل (۹-۴) تأثیر دمای ورودی ژنراتور به ترتیب، بر دمای خروجی از ژنراتور به مبدل حرارتی (T_4) که باعث افزایش این دما شده است و بر دمای خروجی از ابزوربر و ورودی به پمپ محلول (T_1) را کمی افزایش داده و دمای خروجی از اوپرатор را (T_{10}) را کاهش می دهد که تغییرات دما در شکل (۹-۴) به دلیل افزایش دمای ورودی به ژنراتور است.

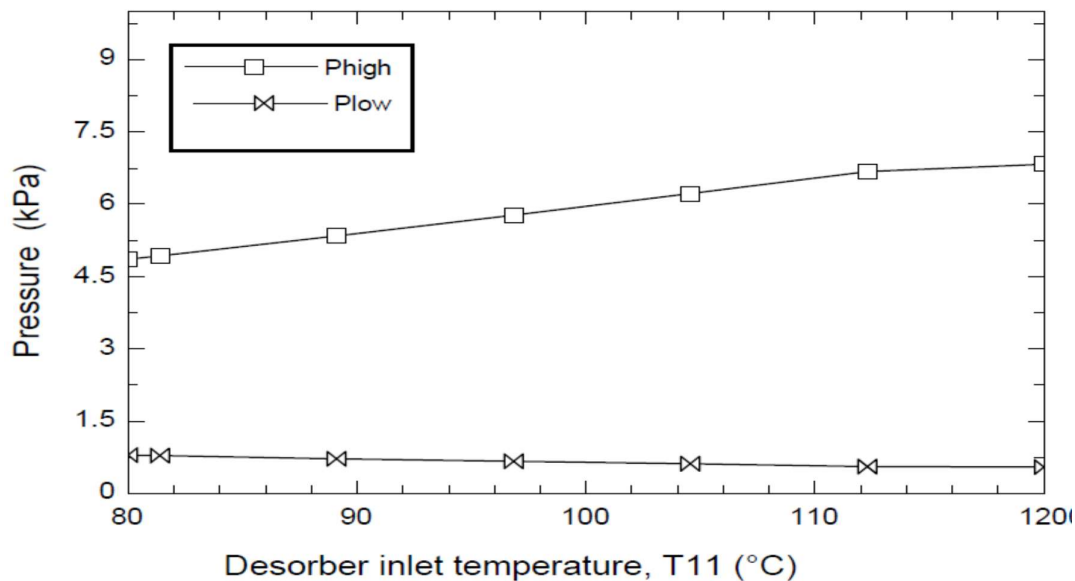
در شکل (۱۱-۴) تأثیر دمای ورودی ژنراتور بر فشار سیستم را مشاهده می کنیم که فشار در قسمت فشار بالا سیستم با سیر نزولی بسیار کمی کاهش پیدا می کند و فشار در قسمت فشار کم با سیر صعودی افزایش یافته و در دمای ۱۱۵ درجه سانتیگراد سیر صعودی کمتر شده و با شبکه کمتری افزایش می یابد. افزایش دمای سیستم با توجه به نوع سیستم جذبی همیشه الزاما خوب نیست، افزایش دما در ژنراتور سیستم جذبی در بعضی مواقع باعث افزایش غلظت محلول و موئی شده محلول شده و پدیده کریستالیزاسیون را تشدید می بخشد.

باید توجه داشت که در سیستم های جذبی آب گرم، از آب گرم با دمای ۹۰ درجه سانتیگراد استفاده

می شود.

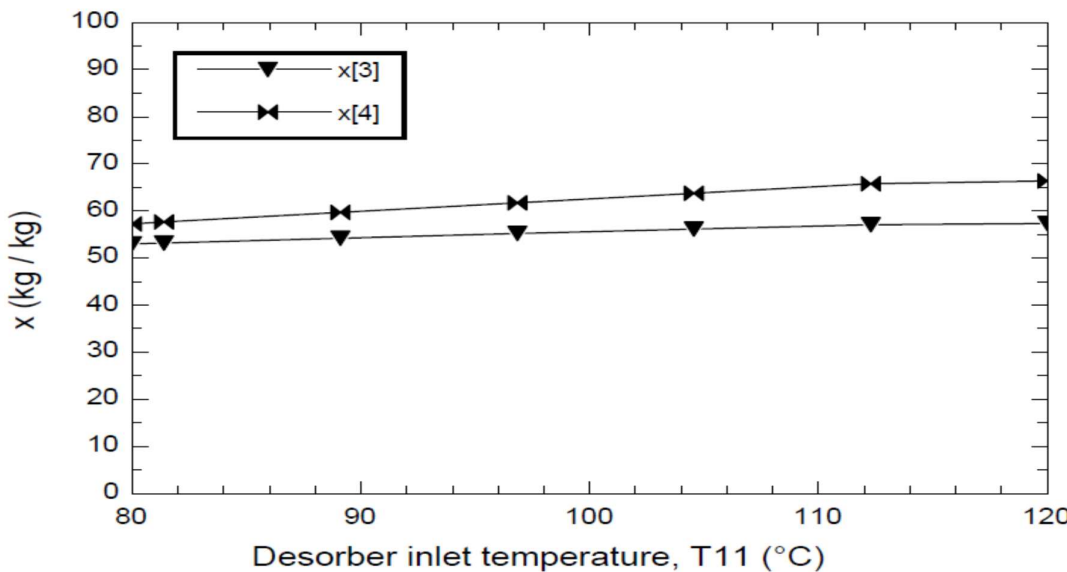


شکل (۱۰-۴) تأثیر دمای ورودی ژنراتور بر دما های مختلف



شکل (۱۱-۴) تأثیر دمای ورودی ژنراتور بر فشار سیکل

در شکل (۱۲-۴) تأثیر دمای ورودی ژنراتور بر درصد غلظت سیستم را مشاهده می کنیم. درصد محلول غلظی و رقیق با سیر صعودی افزایش یافته و در دمای ۱۱۵ درجه سانتیگراد سیر صعودی کمتر شده و با شبیه کمتری افزایش می یابد و دلیل آن این است که هر چه دما افزایش یابد غلظت نیز افزایش پیدا می کند البته این تا زمانی است که پدیده کریستالیزاسیون رخ ندهد.



شکل (۱۲-۴) تأثیر دمای ورودی ژنراتور بر درصد غلظت

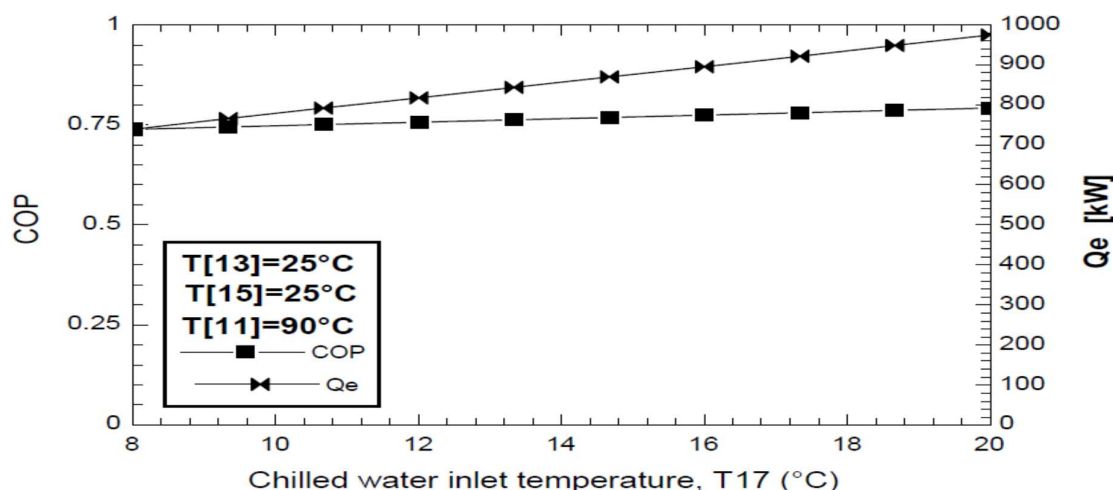
۱۲-۴-۱ تأثیر دمای ورودی به اوپراتور

همانطور که در شکل (۱۳-۴) مشاهده می شود با تغییر دمای اوپراتور از دمای ۸ تا ۲۰ درجه سانتیگراد میزان بار سرمایشی سیستم نیز افزایش می یابد و این پدیده باعث افزایش ضریب کارایی چیلر می شود و این افزایش به خاطر افزایش بار اوپراتور چیلر جذبی تک اثره می باشد.

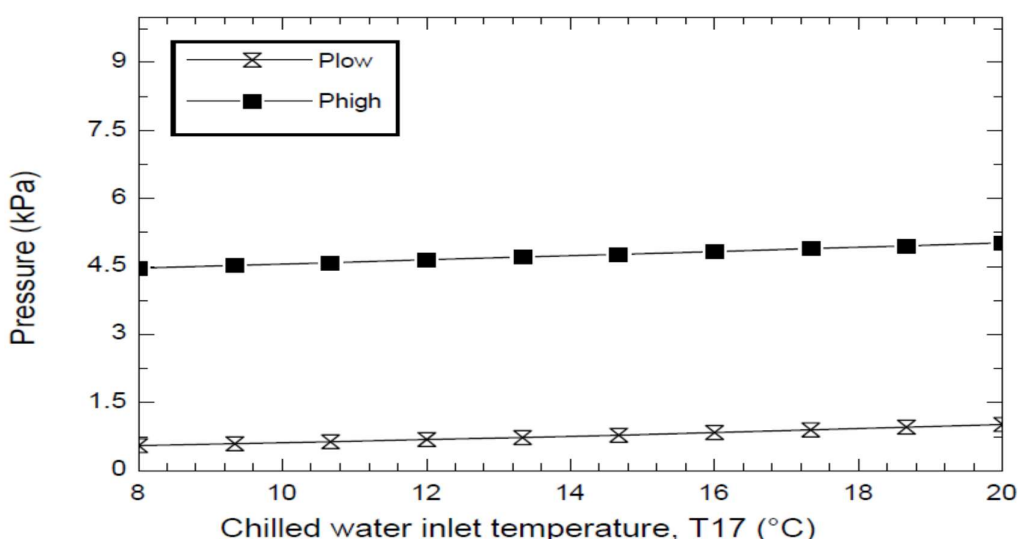
در شکل (۱۴-۴) تأثیر دمای اوپراتور بر اجزاء اصلی سیستم بررسی شده که مشاهده می شود بار های حرارتی همه اجزاء افزایش یافته به جزء بار حرارتی مبدل حرارتی که با افزایش دما سیر نزولی خیلی کم را طی می کند و دلیل آن این است که مبدل حرارتی محلول بین ابزوربر و ژنراتور استفاده شده است.

در شکل (۱۴-۴) تأثیر دمای اواپراتور بر فشار در قسمت فشار بالا سیستم و فشار در قسمت فشار کم سیستم بررسی شده . فشار با سیر صعودی خیلی کمی با افزایش دمای اواپراتور افزایش می یابد و دلیل این افزایش فشار افزایش دمای اواپراتور است.

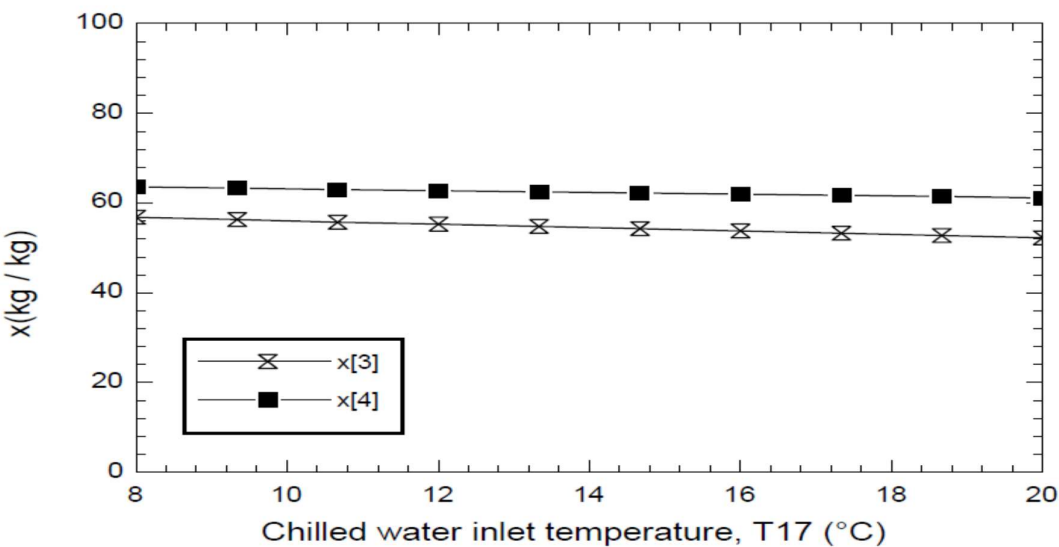
در شکل (۱۵-۴) تأثیر دمای ورودی اواپراتور بر درصد غلظت سیستم را مشاهده می کنیم. غلظت محلول رقیق و غلیظ با شبکه کمی کاهش می یابد و دلیل آن این است که با افزایش دما اواپراتور غلظت محلول کاهش می یابد.



شکل (۱۳-۴) تأثیر دمای ورودی اواپراتور بر مقدار بار حرارتی اجزاء

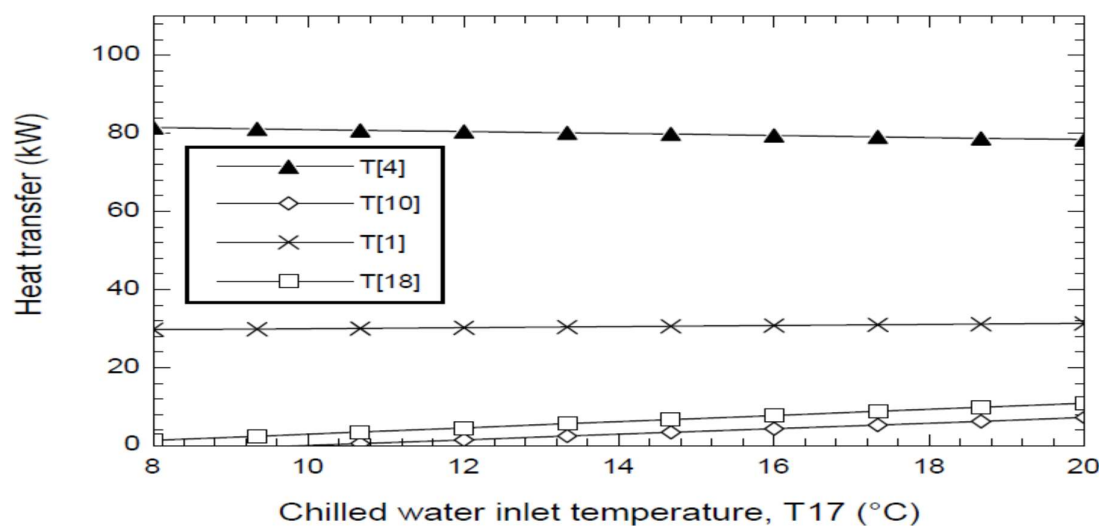


شکل (۱۴-۴) تأثیر دمای ورودی ژنراتور بر فشار سیکل



شکل (۱۵-۴) تأثیر دمای ورودی اواپراتور بر درصد غلظت

در شکل (۱۶-۴) تأثیر دمای ورودی اواپراتور به ترتیب، بر دمای خروجی از ژنراتور به مبدل حرارتی (T_4) تاثیر و باعث کاهش این دما با شیب کم شده است و بر دمای خروجی از ابزوربر و ورودی به پمپ محلول (T_1) را کمی کاهش داده و دمای خروجی از اواپراتور (T_{10} و T_{18}) را افزایش می دهد. دلیل این تغییرات افزایش دما اواپراتور می باشد، هرچه دما اواپراتور افزایش یابد دمای ورودی کمتری به ژنراتور نیاز است.

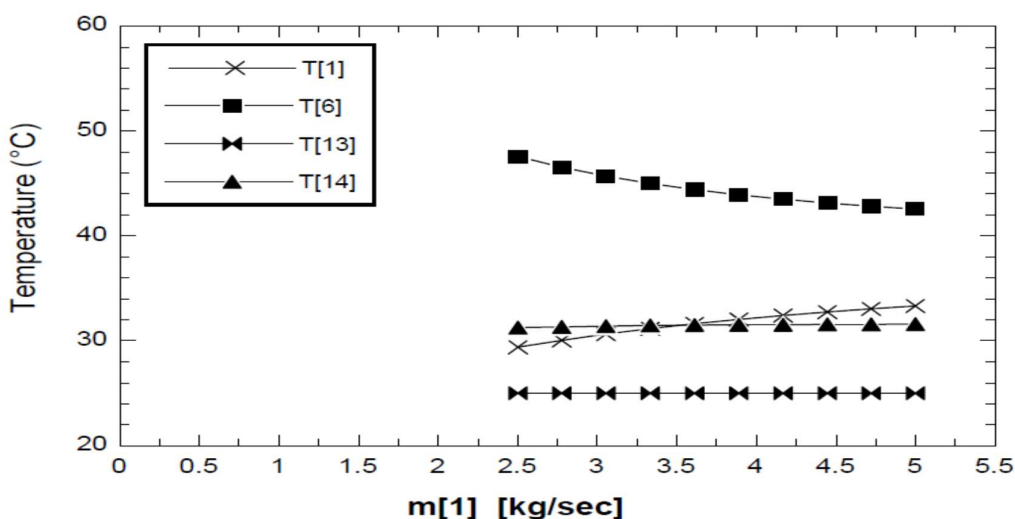


شکل (۱۶-۴) تأثیر دمای ورودی اواپراتور بر دمای های مختلف سیکل

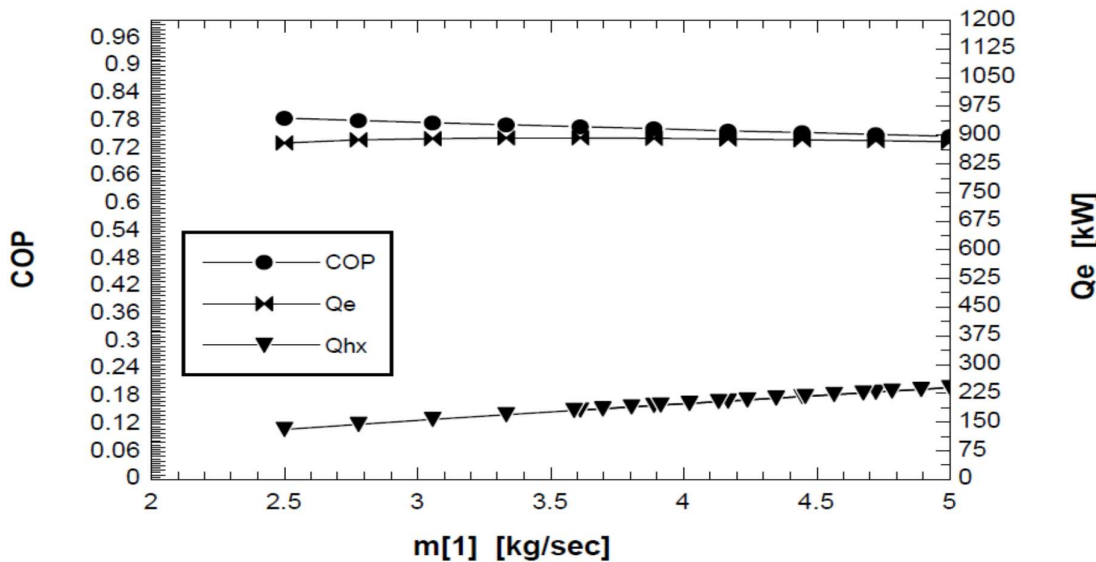
۳-۱-۲-۴ تأثیر دبی جرمی محلول رقیق

در شکل (۱۷-۴) تأثیر دبی جرمی محلول رقیق بر دماهای مختلف سیکل بررسی شد. دمای خروجی از ابزوربر سیکل (T_1) افزایش، دمای ورودی به ابزوربر (T_6) کاهش می‌یابد. دلیل این افزایش دما، افزایش دبی جرمی محلول و دلیل کاهش دما این است که غلظت محلول کاهش می‌یابد.

در شکل (۱۸-۴) مشاهده می‌شود که با افزایش دبی جرمی محلول رقیق ضریب عملکرد کاهش، بار حرارتی مبدل حرارتی افزایش و بار حرارتی اوپراتور افزایش می‌یابد. به دلیل این که دبی جرمی افزایش یافته، بار حرارتی ژنراتور افزایش یافته و همچنین بار حرارتی اوپراتور افزایش می‌یابد و در نتیجه ضریب عملکرد کاهش می‌یابد. با افزایش دبی جرمی محلول بار حرارتی مبدل حرارتی نیز افزایش می‌یابد.



شکل (۱۷-۴) تأثیر دبی جرمی محلول رقیق بر دماهای مختلف سیکل

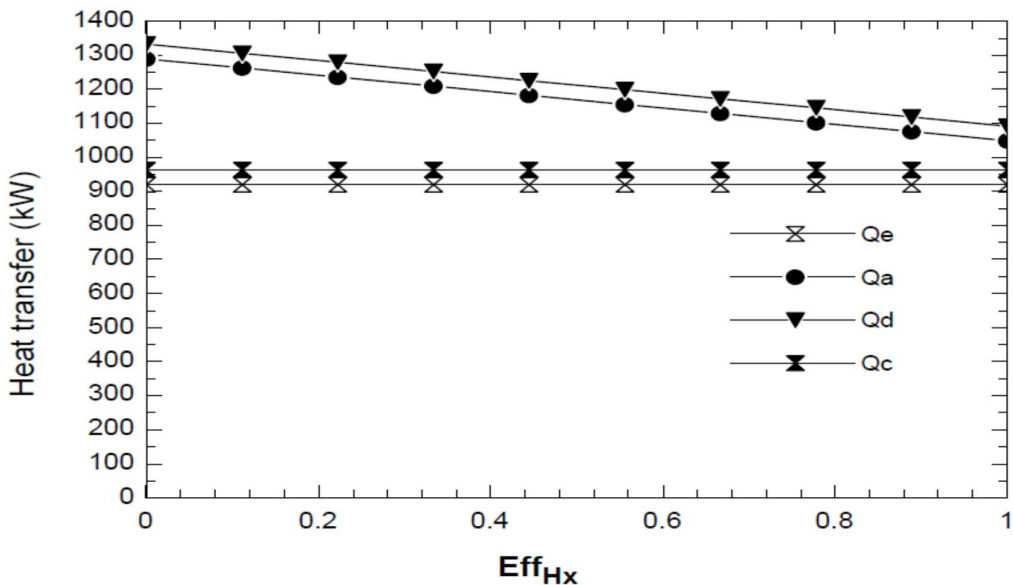


شکل (۱۸-۴) تأثیر دبی جرمی محلول رقیق بر ضریب عملکرد و بار حرارتی

۴-۱-۲-۴-۴ تأثیر مبدل حرارتی محلول لیتیوم بروماید

با توجه به شکل (۱۹-۴) با افزایش راندمان مبدل حرارتی، ضریب عملکرد و بار حرارتی مبدل حرارتی لیتیوم بروماید افزایش می یابد و دلیل آن تغییر دمای های مختلف سیکل است زیرا راندمان مبدل حرارتی به دما ژنراتور و ابزوربر بستگی دارد.

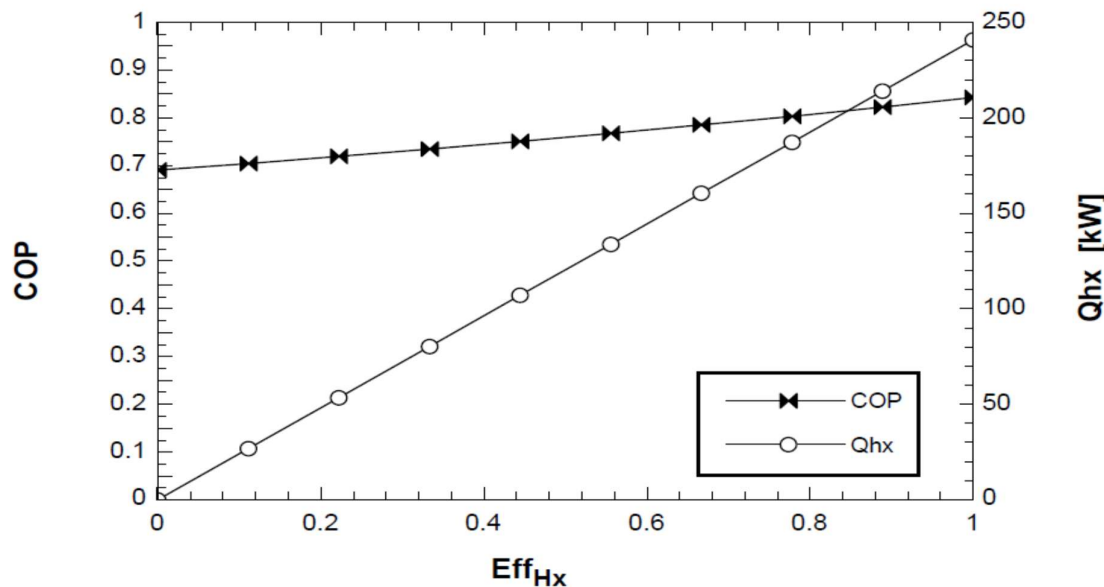
با توجه به شکل (۲۰-۴) با افزایش راندمان مبدل حرارتی محلول بار حرارتی ابزوربر و ژنراتور کاهش یافته و بار حرارتی اوپراتور و کندانسور نیز ثابت هستند. به این دلیل کاهش بار حرارتی در ابزوربر و ژنراتور داریم که مبدل حرارتی محلول بین ژنراتور و ابزوربر قرار دارد و بار آن ها را تحت تأثیر خود قرار می دهد.



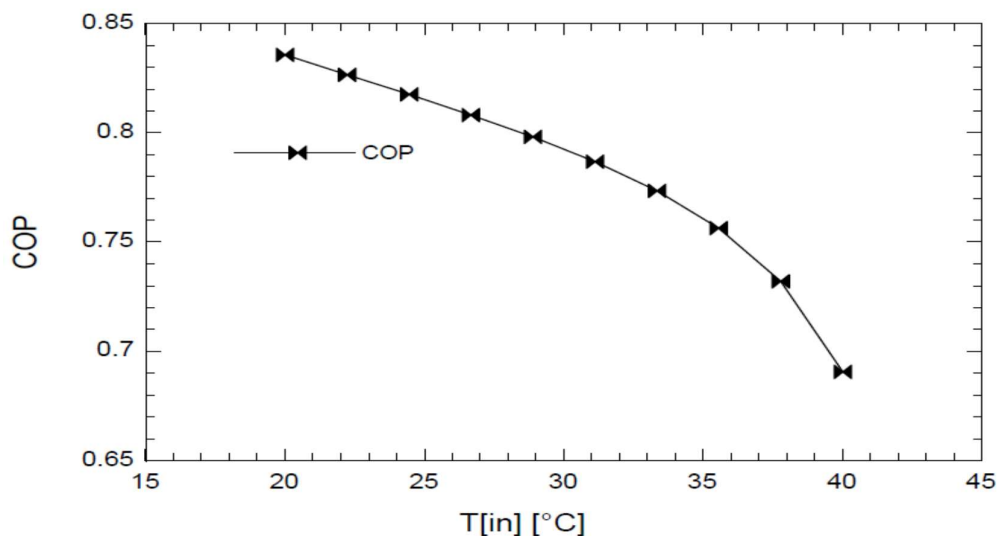
شکل (۱۹-۴) تأثیر مبدل حرارتی محلول لیتیوم بروماید بر ضریب عملکرد

۴-۴-۲-۱-۵ تأثیر دمای ورودی به کندانسور

همان طور که در شکل (۲۱-۴) مشاهده می کنیم با افزایش دمای ورودی به کندانسور با کاهش ضریب عملکرد مواجه می شویم. با افزایش دمای ورودی ایزورابر هم مانند کندانسور با افزایش دما ضریب عملکرد کاهش می یابد. به این دلیل که با افزایش دمای ورودی به کندانسور بار حرارتی کندانسور افزایش یافته و بار حرارتی اوپراتور کاهش می یابد با کاهش بار حرارتی ژنراتور ضریب عملکرد نیز کاهش می یابد.



شکل (۲۰-۴) تأثیر مبدل حرارتی محلول لیتیوم بروماید بر بار حرارتی اجزاء سیکل



شکل (۲۱-۴) تأثیر دمای ورودی کندانسور بر ضریب عملکرد

۴-۵ سیستم ذخیره ساز

۱-۵-۴ مقدمه

در این بخش به طراحی ابعادی مخزن سیستم ذخیره سازی می پردازیم. سیستم ذخیره سازی از نوع آب سرد بوده و آب سرد چیلر را ذخیره می کند. هدف از ذخیره آب سرد در این پژوهش این است که

آب سرد را در دوره غیر پیک روزانه ذخیره کرده و در زمان پیک سیستم سرمایش خاموش شده و سیستم ذخیره سازی آب سرد به همراه پمپ ها کار خود را آغاز کند این کار باعث می شود که هزینه پرداختی برق توسط مالک در زمان پیک کمتر شده و از دیدگاه ملی باعث می شود که نیروگاه توان کمتری را برای تولید برق در زمان پیک مصرف کند که این کار باعث سود می شود.

در این قسمت مخزن ذخیره سازی برای ۳ بار حرارتی طراحی شده است که شامل بار حرارتی کامل، بار حرارتی جزئی و بار حرارتی با کارکرد حداقل توان چیلر می باشد.

۲-۵-۴ ذخیره سازی به صورت بار کامل

منظور ذخیره سازی از نوع بار کامل این است که بار سرمایش در شب یا در زمان غیر پیک در مخزن ذخیره سازی آب سرد، ذخیره شده و در هنگام پیک مصرف برق سیستم چیلر خاموش شده و سیستم ذخیره سازی کار خود را در زمان ابتدا پیک آغاز و تا پایان زمان پیک به کار خود ادامه داده و بار سرمایش مورد نیاز ساختمان را فراهم کند.

همانطور که در جدول (۴-۸) نشان داده شده است کل بار حرارتی در ۲۴ ساعت ۵۰۰۰ تن – ساعت است و توان چیلر ۲۵۰ کیلووات است. زمان اوج پیک از ساعت ۱۳ تا ۱۶ بعداز ظهر می باشد و در این ساعات سیستم چیلر خاموش می شود. ابتدا برای محاسبه بار حرارتی مورد نیاز مخزن باید ساعت تخلیه مخزن را شناسایی کنیم. مخزن ذخیره سازی آب سرد در ساعت ۱۸ بعد از ظهر از آب سرد خالی شده و جای خود را به آب سرد برگشتی از ساختمان داده است. شارژ مخزن ذخیره سازی از ساعت ۱۹ به بعد شروع به کار می کند و کار خود را در شب ادامه داده و آب سرد را ذخیره می کند. بر اساس محاسبات انجام شده در جدول (۴-۸) شارژ مخزن ذخیره ساز در ساعت ۱۰ صبح بیشترین مقدار را دارد که این مقدار همان حداقل بار حرارتی مورد نیاز برای محاسبه ابعاد مخزن است. در واقع تخلیه مخزن طبق جدول (۴-۸) از ساعت ۱۱ صبح شروع شده و دلیل آن هم این است که بار حرارتی مورد

نیاز ساختمان بیشتر از بار تولید شده توسط چیلر است. اما همراه با چیلر کار خود را ادامه داده تا ساعت ۱۳ که چیلر از مدار خارج می شود.

لازم به ذکر است که برای اعتبار سنجی کار انجام شده محاسبه مخزن ذخیره سازی با کار انجام شده توسط مرجع [۴۲] که در یک دانشگاه انجام شده بود مقایسه شده و در جدول (۹-۴) آمده است.

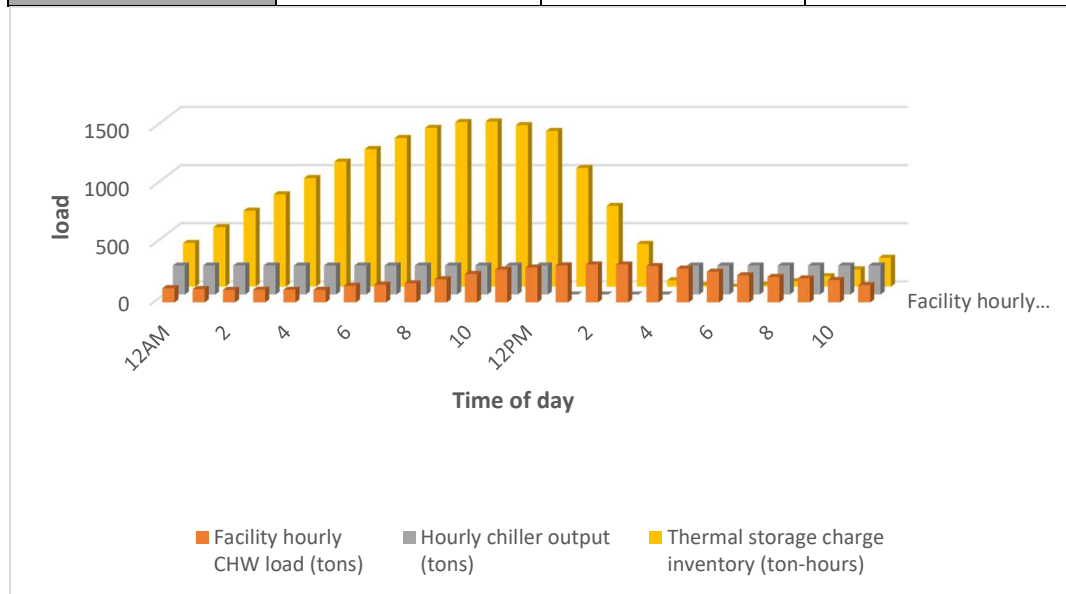
جدول (۸-۴) محاسبات بار حرارتی برای بار کامل

Time of day	Facility hourly CHW load (tons)	Chilled water thermal storage system	
		Hourly chiller output (tons)	Thermal storage charge inventory (ton-hours)
12AM	122.64	250	376.83
1	114.62	250	512.21
2	107.9	250	654.31
3	109.69	250	794.62
4	109.02	250	935.6
5	108.92	250	1076.68
6	143.34	250	1183.34
7	152.79	250	1280.55
8	163.93	250	1366.62
9	199.49	250	1417.13
10	244.83	250	1422.3
11	282.18	250	1390.12
12PM	300.19	250	1339.93
1	318.75	0	1021.18
2	326.29	0	694.89
3	326.29	0	368.6
4	313.24	0	55.36
5	291.18	250	14.18
6	264.18	250	0
7	233.69	250	16.31
8	218.84	250	47.47

9	206.58	250	90.89
10	192.51	250	148.38
11	148.91	250	249.47
total	5000	5000	
tes tank size			1422.3
minimum full-storage TES tank			1284.57

جدول (۹-۴) اعتبار سنجی محاسبات با کار Heel

work	total Facility CHW load (tons)	Hourly chiller output (tons)	Thermal storage charge inventory (ton)
shahrood	5000	250	1422.3
Heel	44420	2221	12641



شکل(۲۳-۴) دخیره سازی با بار کلی

حال نتایج جدول (۱۰-۴) را در شکل (۲۳-۴) آورده شده است. شکل بر اساس بار سرمایش و ساعت روزانه تنظیم شده است.

۴-۵-۳ ذخیره سازی با افزایش ظرفیت چیلر

در این قسمت به ذخیره ساز سیستم با افزایش ظرفیت سرمایش می پردازیم. هدف از انجام این کار فقط نشان دادن نتایج و مقایسه با سیستم قبلی است.

در جدول (۱۰-۴) مشاهده می کنیم که با افزایش توان چیلر ساعت خاموشی سیستم بیشتر شده و در ساعت ۴ تا ۶ صبح و ساعت ۱۳ تا ۱۶ بعد از ظهر سیستم چیلر خاموش می شود. یکی دیگر از مزایای این سیستم مخزن ذخیره سازی با حجم و ابعاد کوچکتر است. تخلیه مخزن در ساعت ۴ بعد از ظهر می باشد.

جدول (۱۰-۴) محاسبات بار حرارتی با حداکثر بار چیلر

Time of day	Facility hourly CHW load (tons)	Chilled water thermal storage system	
		Hourly chiller output (tons)	Thermal storage charge inventory (ton-hours)
12AM	122.64	300	721.47
1	114.62	300	906.85
2	107.9	300	1098.95
3	109.69	292	1281.26
4	109.02	0	1172.24
5	108.92	0	1063.32
6	143.34	0	919.98
7	152.79	208	975.19
8	163.93	300	1111.26
9	199.49	300	1211.77
10	244.83	300	1266.94
11	282.18	300	1284.76
12PM	300.19	300	1284.57
1	318.75	0	965.82
2	326.29	0	639.53

3	326.29	0	313.24
4	313.24	0	0
5	291.18	300	8.82
6	264.18	300	44.64
7	233.69	300	110.95
8	218.84	300	192.11
9	206.58	300	285.53
10	192.51	300	393.02
11	148.91	300	544.11
total	5000	5000	
tes tank size			1284.76
minimum full-storage TES tank			1284.57

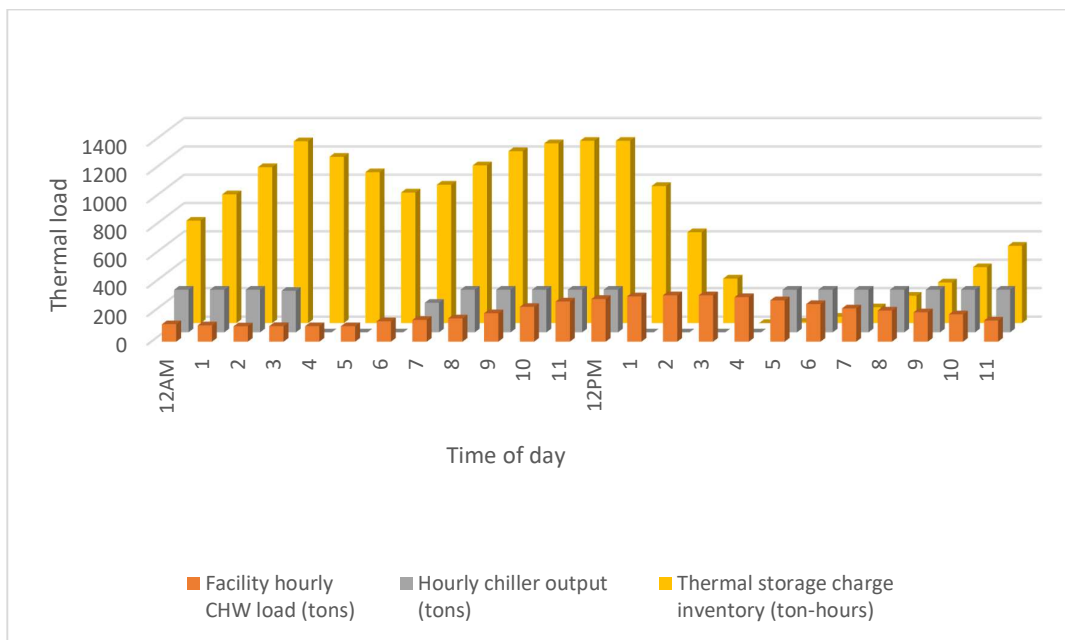
در جدول (۱۰-۴) مشاهده شد که ظرفیت چیلر به ۳۰۰ تن تبرید افزایش پیدا کرد اما ساعات خاموشی

چیلر بیشتر و حجم منبع ذخیره سازی کمتر شد. این روند در شکل (۲۴-۴) بیانگر موضوع است. در

جدول (۱۱-۴) اعتبار سنجی سیستم با اضافه کردن حداکثر توان چیلر با کار Heel انجام شده است.

جدول (۱۱-۴) اعتبار سنجی محاسبات با کار Heel

worke	total Facility CHW load (tons)	Hourly chiller output (tons)	Thermal storage charge inventory (ton)
shahrood	5000	300	1284.76
Heel	44420	2668	11415



شکل (۴-۴) ذخیره سازی با افزایش توان چیلر

۴-۵-۴ ذخیره سازی به صورت بار جزئی

در مقایسه با روش های قبلی در طول ساعات روز چیلر به صورت کامل روشن است و بار حرارتی مورد نیاز سیستم را فراهم می کند، اما به دلیل کارکرد دائم چیلر، چیلر مورد استفاده با توان کمتر مورد نیاز است و حجم و ابعاد مخزن ذخیره ساز آب سرد هم کاهش پیدا می کند. در این سیستم ساعت تخلیه مخزن از آب سرد ساعت ۲۰ می باشد.

جدول (۱۲-۴) محاسبات بار حرارتی با بار جزئی

Time of day	Facility hourly CHW load (tons)	Chilled water thermal storage system	
		Hourly chiller output (tons)	Thermal storage charge inventory (ton-hours)
12AM	122.64	208.33	162.68
1	114.62	208.33	256.39
2	107.9	208.33	356.82
3	109.69	208.33	455.46

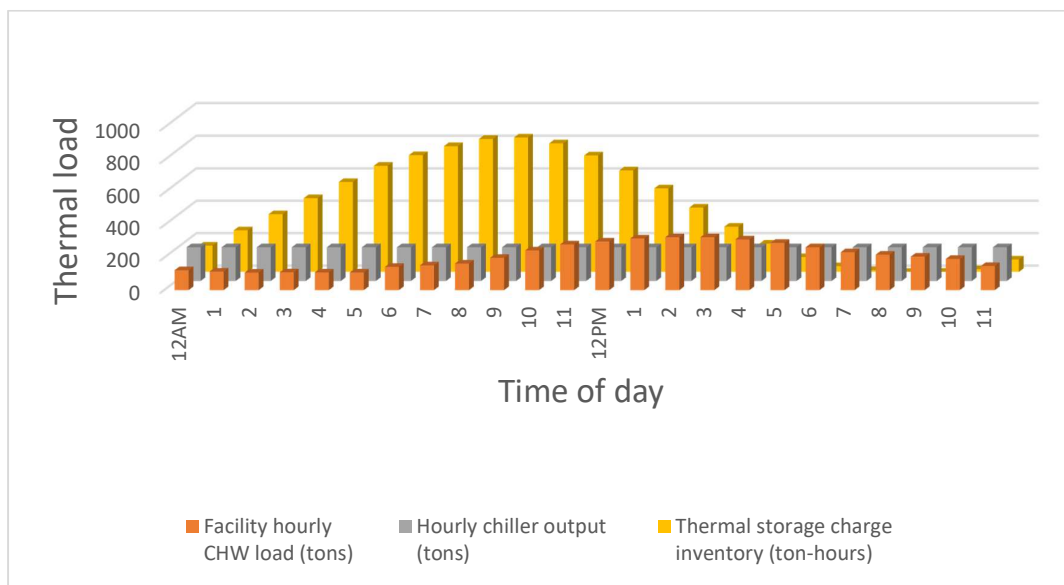
4	109.02	208.33	554.77
5	108.92	208.33	654.18
6	143.34	208.33	719.17
7	152.79	208.33	774.71
8	163.93	208.33	819.11
9	199.49	208.33	827.95
10	244.83	208.33	791.45
11	282.18	208.33	717.6
12PM	300.19	208.41	625.82
1	318.75	208.33	515.4
2	326.29	208.33	397.44
3	326.29	208.33	279.48
4	313.24	208.33	174.57
5	291.18	208.33	91.72
6	264.18	208.33	35.87
7	233.69	208.33	10.51
8	218.84	208.33	0
9	206.58	208.33	1.75
10	192.51	208.33	17.57
11	148.91	208.33	76.99
total	5000	5000	
tes tank size			827.95

در جدول (۱۲-۴) مشاهده شد که ظرفیت چیلر به ۲۰۸ تن تبرید کاهش پیدا کرد، اما چیلر کاملا در حال کار کرد است و حجم منبع ذخیره سازی بسیار کمتر شد. این روند در شکل (۳۵-۴) بیانگر موضوع است.

در جدول (۱۳-۴) اعتبار سنجی سیستم با اضافه کردن حداکثر توان چیلر با کار Heel انجام شده است.

جدول (۱۳-۴) اعتبار سنجی محاسبات با کار Heel

work	total Facility CHW load (tons)	Hourly chiller output (tons)	Thermal storage charge inventory (ton)
shahrood	5000	208	827.95
Heel	44420	1851	7366



شکل (۲۵-۴) ذخیره سازی به صورت بار جزئی

لازم به ذکر است در این پژوهش هر سه سیستم محاسبه شد اما سیستمی که در مراحل بعد با آن محاسبات انجام می شود، سیستم با ذخیره سازی کامل است.

۴-۵-۵ محاسبه حجم مخزن ذخیره

حجم مخزن ذخیره را برای هر سه روش محاسبه شده و در جدول (۱۳-۴) تا (۱۵-۴) آورده شده است.

در جدول (۱۳-۴) حجم مخزن ذخیره برای بار کلی و همچنین ارتفاع های مختلف با تغییر شعاع مخزن وجود دارد.

در این پژوهش تانک مخزن ذخیره ساز آب سرد طراحی شد و حجم ۵۳۸ متر مکعب، قطر ۷,۶۲ متر و ارتفاع ۱۱,۸ بدست آمد که در ردیف ۳ جدول (۱۳-۴) مشخص شده است.

در جدول (۱۴-۴) حجم مخزن ذخیره برای کارکرد سیستم با افزایش توان چیلر محاسبه شد مشاهده می شود که با افزایش توان چیلر حجم ذخیره سازی کاهش می یابد.

در جدول (۱۵-۴) حجم مخزن ذخیره با بار جزئی محاسبه شد مشاهده می شود که با کاهش توان چیلر و همچنین با کارکرد دائمی چیلر حجم ذخیره سازی کاهش می یابد.

جدول (۱۳-۴) محاسبه حجم مخزن ذخیره با بار کلی

	r(ft)	Thermal storage(ton)	Volume storeg (m^3)	Tank diameter (m)	High (m)
1	10	1423	538.1	6.069	18.44
2	11.25	1423	538.1	6.858	14.57
3	12.5	1423	538.1	7.62	11.8
4	13.75	1423	538.1	8.382	9.752

جدول (۱۴-۴) محاسبه حجم مخزن ذخیره با افزایش حداکثر توان چیلر

	r(ft)	Thermal storage(ton)	Volume storeg (m^3)	Tank diameter (m)	High (m)
1	10	1284	485.6	6.069	16.64
2	11.25	1284	485.6	6.858	13.14
3	12.5	1284	485.6	7.62	10.65
4	13.75	1284	485.6	8.382	8.8

جدول (۱۵-۴) محاسبه حجم مخزن ذخیره با بار جزئی

	r(ft)	Thermal storage(ton)	Volume storeg (m^3)	Tank diameter (m)	High (m)
1	10	828	313.1	6.069	10.73
2	11.25	828	313.1	6.858	8.476
3	12.5	828	313.1	7.62	6.866
4	13.75	828	313.1	8.382	5.674

۶-۴ سیستم ارگانیک رانکین

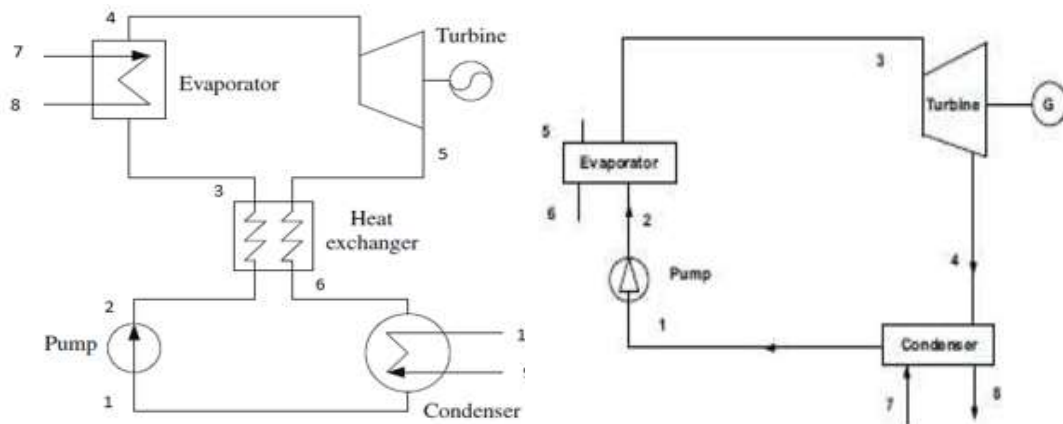
۱-۶ مقدمه

در این قسمت به مدل سازی سیکل ارگانیک رانگین پرداخته و برای سه مبرد متفاوت بررسی خواهد شد. و سیستم ارگانیک رانکین برای هر سه مبرد با تاثیر مبدل حرارتی و بدون مبدل حرارتی بررسی خواهد شد.

هدف از اضافه کردن سیکل ارگانیک رانکین به سیستم کلی، تولید برق در زمان اوج پیک ساعت ۱۳ تا ۱۶ است، به این صورت که وقتی سیستم در حال کارکرد خود است و سیستم ذخیره ساز در زمان غیر پیک در حال شارژ می باشد و سیکل تولید هم زمان هم در حال کارکرد است و بار حرارتی و بار الکتریکی ساختمان را تولید می کند و باعث تولید حرارت در ژنراتور می شود. حال در زمان پیک که سیستم چیلر جذبی خاموش می شود و سیستم مخزن ذخیره ساز آب سرد بار حرارتی مورد نیاز ساختمان را تامین می کند، سیستم تولید هم زمان برای تولید برق در حال کارکرد است و در زمان اوج پیک با تولید برق سیستم هم زمان و خاموشی چیلر جذبی، حرارت تولیدی توسط سیستم هم زمان هدر می رود، می توانیم با اضافه کردن یک سیستم ارگانیک رانکین برای ۴ ساعت اوج پیک یعنی ساعت ۱۳ تا ۱۶ بعد از ظهر این حرارت هدر رفتی را دریافت کرده و به وسیله این سیستم تبدیل به برق کنیم. در این قسمت به محاسبه برق تولیدی در زمان ۴ ساعت توسط سیکل ارگانیک رانکین پرداخته که این سیستم با گرمایی دریافتی ثابتی از سیستم تولید هم زمان برق تولید می کند.

۲-۶ محاسبه تولید برق

در این پژوهش از سه مبرد برای سیکل ارگانیک رانکین استفاده کرده و که شامل R11 ، R123 ، R141 را در دو سیکل مورد محاسبه قرار داده، مقدار تولید هر سیکل با هر سه مبرد مورد ارزیابی قرار گرفته است و نتایج ارائه شده است.



شکل(۴-۴) شماتیک سیکل ارگانیک رانکین با مبدل و بدون مبدل حرارتی

فرضیات سیکل ارگانیک رانکین:

- دمای محیط 20°C فرض شده است.
- سیال قبل از پمپ مایع اشباع با دمای 25°C می باشد.
- اختلاف دمای نقطه پینچ در اوپراتور 8°C است.
- زمانی که از مبدل حرارتی استفاده شده، فرض براین است که $T_6 - T_2 = 5^{\circ}\text{C}$ می باشد.
- راندمان آیزنتروپیک توربین 85% فرض می شود.
- راندمان آیزنتروپیک پمپ 60% فرض می شود.
- فشار محیط 1 bar فرض شده است.

مقادیر استفاده شده در جدول (۱۶-۴) از مراجع [۵۷، ۵۲، ۵۱] استفاده شده است.

جدول (۱۶-۴): مقادیر استفاده شده در سیکل ارگانیک رانکین [۵۱، ۵۲، ۵۷]

پارامتر ها	شوابط
دماهی محیط	۲۹۳ k
فشار محیط	۱ bar
ماده جریان حرارتی	آب
ماده سیکل ارگانیک (مبرد ها)	R141 ، R123 ، R11
دماهی ورودی منبع حرارتی	۳۶۴ k
دماهی خروجی منبع حرارتی	۳۴۴ k
دبی جریان سیال ارگانیک	۴,۱ $\frac{kg}{s}$
فشار اوپراتور	۵/۳ bar
راندمان آیزنتروپیک توربین (η)	%۸۵
راندمان ژنراتور (η)	%۸۵
راندمان آیزنتروپیک پمپ (η)	%۶۰

در جدول (۱۷-۴) پارامتر های عملکرد برای سه مبرد در سیکل ارگانیک رانکین ساده بررسی شده و نتایج ذکر شده است. نتایج نشان می دهد که بیشترین راندمان قانون اول مربوط به سیال ارگانیک R141B می باشد.

در جدول (۱۸-۴) پارامتر های عملکرد برای سه مبرد در سیکل ارگانیک رانکین با مبدل حرارتی بررسی شده و نتایج ذکر شده است. بیشترین راندمان قانون اول مربوط به سیال ارگانیک R141B می باشد کیلو وات می باشد. همچنین مشاهده می شود که سیکل ارگانیک رانکین با مبدل حرارتی دارای راندمان بیشتری می باشد.

نتایج در (۱۷-۴) و (۱۸-۴) جدول نشان می دهد که راندمان با اضافه کردن مبدل حرارتی بیشتر خواهد شد.

جدول (۱۷-۴) پارامترهای عملکرد سه سیال ارگانیک در سیکل ساده ORC

پارامتر	واحد	R11	R123	R141B
T_c	درجه سانتیگراد	۱۹۵/۸۷	۱۷۵/۶۳	۲۰۳/۱
P_c	مگاپاسکال	۴/۴۰۲	۳/۳۲۵	۴/۱۸
\dot{m}_{orc}	کیلو گرم بر ثانیه	۴/۱	۴/۲۱	۳
$P_{in,T}$	مگاپاسکال	۳/۳۴	۳/۳۴	۳/۳۱
Q	کیلووات	۹۳۶/۱	۹۶۴/۱	۹۱۴/۱
η_{orc}	درصد	۲۰/۱	۱۹/۵۴	۲۰/۳۲

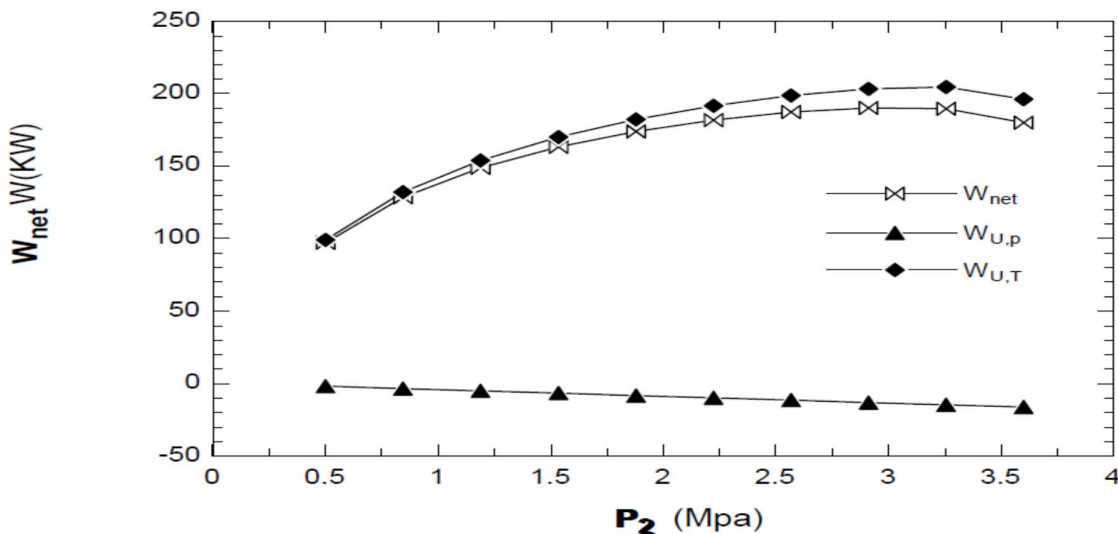
جدول (۱-۴) پارامترهای عملکرد سه سیال ارگانیک در سیکل ORC با IHE

پارامتر	واحد	R11	R123	R141B
T_c	درجه سانتیگراد	۱۹۵/۸۷	۱۷۵/۶۳	۲۰۳/۱
P_c	مگا پاسکال	۴/۴۰۲	۳/۳۲۵	۴/۱۸
\dot{m}_{orc}	کیلو گرم بر ثانیه	۴/۱	۴/۲۱	۳/۳۵
$P_{in,T}$	مگا پاسکال	۳/۳۴	۳/۳۴	۳/۳۱
Q_{min}	کیلو وات	۹۱۰/۱۲	۹۲۱/۶	۹۰۱/۲
η_{orc}	درصد	۲۲/۱۰	۲۱/۱۳	۲۴/۰۹

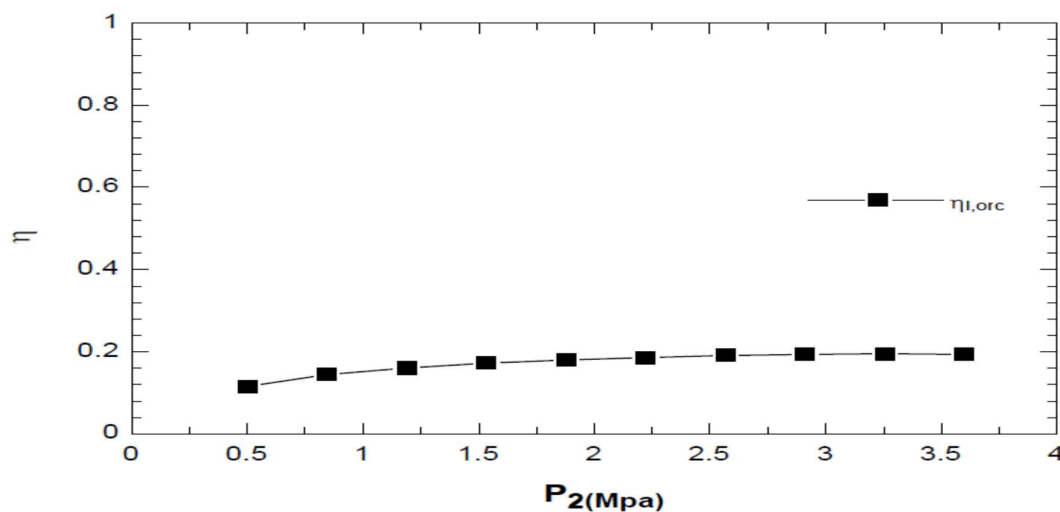
در شکل (۲۷-۴)، تغییرات فشار و تاثیر آن بر روی عملکرد کار مفید تولیدی بررسی شده است و نتایج

نشان می دهد که کار مفید در یک فشار مشخص بیشترین افزایش را دارد و با افزودن فشار مقدار کار مفید کم می شود.

لازم به ذکر است، چون که رفتار دو سیال دیگر شبیه به سیال R-123 می باشد فقط برای یک سیال مورد بررسی قرار گرفت.

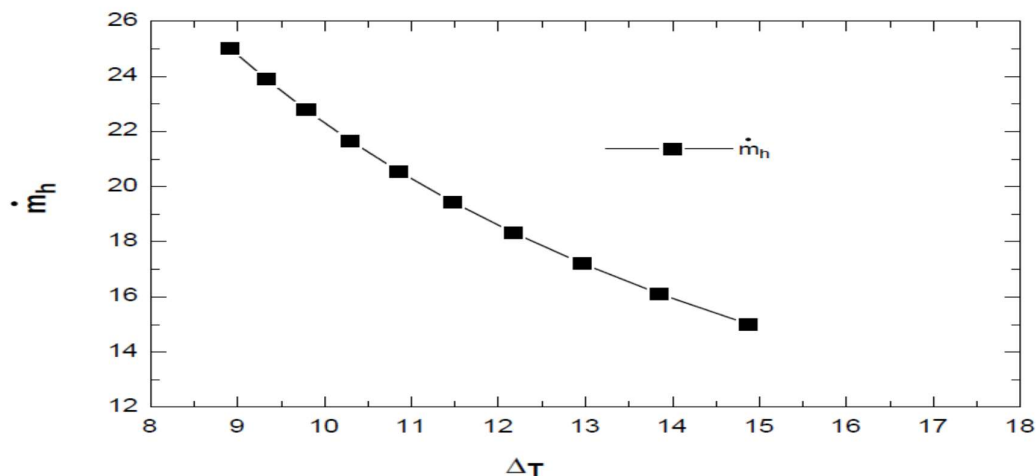


شکل (۲۷-۴) تغییرات کار مفید با تغییر فشار



شکل (۲۸-۴) تغییرات راندمان اول با تغییر فشار

در شکل (۲۸-۴) تغییرات راندمان اول سیکال ارگانیک رانکن با شبیه کمی افزایش پیدا می کند و دلیل آن افزایش فشار در سیستم می باشد. در شکل (۲۹-۴) تغییرات اختلاف دما با دبی جرمی سیال منبع حرارت را مشاهده می کنیم که هرچه اختلاف دما بیشتر شود دبی جرمی سیر نزولی را طی می کند.



شکل (۲۹-۴) تغییرات دی جرمی سیال منبع حرارت با تغییرات اختلاف دما

در شکل (۳۰-۴) راندمان برای سه سیال با مبدل و بدون مبدل حرارتی بررسی شده است. نتایج حاصل نشان می دهد که راندمان مبرد R-141B با مبدل حرارتی دارای رانمان بالاتری نسبت به دو مبرد دیگر است.



شکل (۳۰-۴) راندمان سیستم ارگانیک رانکین برای سه مبرد

۷-۴ تحلیل کلی سیستم

در این بخش به راندمان کلی سیستم پرداخته و تحلیل اقتصادی، برای سیستم های مختلف انجام می دهیم.

راندمان کلی سیستم با توجه به جدول (۱۹-۴) بدست می آوریم.

جدول (۱۹-۴) پارامتر های بدست آمده از سیستم تولید هم زمان

پارامتر ها	بر حسب کیلو وات
توان الکتریکی موتور گاز سوز	۱۲۵۳
توان حرارتی سیستم تولید هم زمان	۱۴۹۱
توان سرمایش	۸۹۰

حال با توجه به داشتن پارامتر های مورد نیاز در جدول (۱۹-۴)، راندمان کلی سیستم را در حالت های متفاوت بدست می آوریم که در جدول (۲۰-۴) آمده است.

جدول (۲۰-۴) راندمان کلی سیستم

پارامترها	بر حسب درصد
راندمان انرژی سیکل در حالت CHP	%۷۰/۷
راندمان انرژی سیکل در حالت CCHP	%۸۴/۷
راندمان سیستم در حالت تولید برق	%۳۲/۲
راندمان سیستم در حالت تولید حرارت	%۳۸/۴

۱-۷-۴ تحلیل اقتصادی سیستم

برای تحلیل اقتصادی سیستم، چند حالت مختلف برای سیستم در نظر گرفته و تحلیل اقتصادی را برای هر کدام از سیستم را محاسبه می کنیم.

برای تحلیل اقتصادی سیستم ابتدا باید ورودی های مورد نیاز را داشته باشیم که در جدول (۲۱-۴) آمده است.

مقادیر در جدول (۲۱-۴) اعم از قیمت گاز، قیمت برق و نرخ بھره را از مراجع [۴۴, ۵۳, ۵۴, ۵۵, ۵۶] استفاده شده است.

جدول (۲۱-۴) پارامتر های فنی و اقتصادی سیستم CHP

توان الکتریکی موتور (مگاوات)	۱/۲
توان حرارتی موتور (مگاوات)	۱/۴۹
قیمت گاز (\$)	۰/۰۹
قیمت برق (\$)	۰/۰۷
عمر سیستم (سال)	۲۰
نرخ بھره (%)	%۱۸
افزایش قیمت سوخت در هر سال (%)	۴
افزایش قیمت هزینه تعمیر و نگهداری در هر سال (%)	۱۰
نوع سوخت مصرفی موتور	گاز
مقدار مصرف گاز موتور (متر مکعب)	۳۰۰
ساعت کار کرد موتور در سال	۵۸۵۶

حال با توجه به ورودی های مورد نیاز تحلیل اقتصادی را برای سیستم های مختلف بررسی می کنیم.

۴-۷-۲ سیستم تولید هم زمان با سیستم ذخیره ساز و سیکل ارگانیک رانکین

این سیستم شامل موتور گاز سوز و چیلر جذبی با توان ۲۵۰ تن تبرید و سیستم ذخیره آب سرد با حجم ۵۰۰ متر مکعب می باشد. کارکرد این سیکل به گونه است که سیستم ذخیره آب سرد در فصل گرم سال که از اواسط اردیبهشت تا اواخر شهریور است در مدار سیکل سرمایش کار می کند. کارکرد سیستم در ۲۴ ساعت به گونه ای می باشد که سیکل چیلر جذبی در فصل گرما در روز ۲۰ ساعت

کارکرده و تقاضای ساختمان و سیستم ذخیره آب سرد را بطرف می سازد. در اوج دوره پیک که در روز در فصل گرم تابستان همان طور که در فصل سوم توضیح داده شده در ساعت ۱۳ تا ۱۶ اتفاق می افتد سیستم چیلر جذبی از مدار خارج شده و سیستم مخزن آب سرد وارد مدار می شود با این کار برق کمتری در اوج پیک استفاده می شود. در همین زمان موتور گاز سوز به کار خود ادامه داده و برق تولید می کند و گرمای حاصل از احتراق به دلیل خاموشی چیلر جذبی در سیکل ار گانیک رانکین استفاده می شود و سیکل ار گانیک رانکین برق تولید می کند.

با این سیستم علاوه بر مصرف برق کمتر به تولید برق در زمان اوج پیک پرداخته و در کل باعث می شود که فشار کمتری به نیروگاه ها برای تولید برق آورده شود.

حال برای این کار به تحلیل اقتصادی سیستم پرداخته و سیستم را از نظر اقتصادی بررسی می کنیم تا متوجه شویم که این سیستم توجیه اقتصادی دارد یا خیر.

لازم به ذکر است که هدف از طراحی و انتخاب موتور گاز سوز برآورده کردن تقاضای حرارتی می باشد. و برق تولیدی توسط موتور گاز سوز فروخته می شود.

محاسبات با نرم افزار اکسل برای ۲۰ سال انجام شده و جدول تا ۵ سال در این بخش آورده شده است.

جدول (۴-۲۲) تحلیل اقتصادی سیستم تولید هم زمان سه گانه با ذخیره ساز کلی

سال	۰	۱	۲	۳	۴	۵
هزینه کل اولیه (\$)	1087500					
سوخت گاز مصرفی سالیانه (m^3)		1756800	1756800	1756800	1756800	1756800

قیمت واحد گاز (\$)		0.08	0.0832	0.086528	0.089989	0.0935886
هزینه سالیانه گاز (\$)		140544	146165	152012.39	158092.8	164416.60
هزینه تعمیر نگهداری (\$)		74488.3	81937.1	90130.8	99143.9	109058.3
هزینه کل (\$)	1087500	215032.3 2	228102	242143.2	257236	273474.9
برق تولیدی سالیانه (Kwh)		7448832	7448832	7448832	7448832	7448832
قیمت فروش برق (\$/Kwhe)		0.07	0.0728	0.075712	0.07874	0.081890
قیمت برق تولیدی (\$)		521418.2 4	542274. 9	563965.96	586524.6	609985.5
سوخت گاز صرفه جویی شده سالیانه بر اساس حرارت بازیافتی (m ³)		742540.8	742540	742540.8	742540.8	742540.8

هزینه سوخت صرفه جویی شده (\$)		59403.26 4	61779.3	64250.570	66820.59	69493.416
درآمد سالیانه ناشی از برق و حرارت (\$)		580821.5	604054	628216.53	653345.2	679479.00
درآمد A سالیانه ناشی از برق و حرارت (\$)	-1087500	365789.1	375951	386073.28	396108.3	406004.05
NPWB رز ش فعلی در آمده ها (\$)	-1087500	309990.8	270002	234976.11	204308.2	177468.11
NPWC رز ش فعلی هزینه ها (\$)	-1087500	0	0	0	0	0
بازگشت سرمایه (\$)	-1087500	-777509.1	-507506	-272530.5	-68222.2	109245.8
NPV رزش حال خالص در آمده ها		1111296.18				
PB بازگشت سرمایه (سال)		3.50816824				
IRR نرخ بازگشت سرمایه داخلی		28.5049042				

از جدول (۲۲-۴) می توان نتیجه گرفت که سیستم تولید هم زمان با ذخیره ساز کلی دارای بازگشت سرمایه ۳/۵ سال و نرخ بازگشت سرمایه ۲۸/۵ درصد می باشد.

۳-۷-۴ سیستم تولید هم زمان سه گانه با سیستم ذخیره ساز جزئی

در این سیستم سیکل ارگانیک رانکین حذف می شود و سیستم چیلر در فصل گرما به صورت ۲۴ ساعتی کار می کند و به همین دلیل نیاز به چیلر کوچکتر با ظرفیت ۲۰۰ تن تبرید و سیستم ذخیره ساز کوچکتر نسبت به سیستم ذخیره ساز با بار کلی نیاز است. موتور گاز سوز به دلیل این که بر اساس تامین نیاز کل حرارت ساختمان طراحی و انتخاب شده است باید همان موتور با ظرفیت الکتریکی ۱۲۵۳ کیلووات باشد.

جدول (۲۳-۴) تحلیل اقتصادی سیستم تولید هم زمان سه گانه با ذخیره ساز جزئی

سال	۰	۱	۲	۳	۴	۵
هزینه کل اولیه (\$)	887500					
سوخت گاز مصرفی سالیانه (m^3)		1756800	1756800	1756800	1756800	1756800
قیمت واحد گاز (\$)		0.09	0.0936	0.097344	0.1012377	0.1052872
هزینه سالیانه گاز (\$)		158112	164436.48	171013.93	177854.49	184968.67
هزینه تعمیر نگهداری (\$)		73375.6	80713.248	88784.572	97663.03	107429.33

هزینه کل (\$)	887500	231487	245149.72	259798.51	275517.52	292398
برق تولیدی سالیانه (Kwh)		7337568	7337568	7337568	7337568	7337568
قیمت فروش برق (\$/Kwhe)		0.07	0.0728	0.075712	0.0787404	0.0818900
قیمت برق تولیدی (\$)		513629	534174.95	555541.94	577763.62	600874.17
سوخت گاز صرفه جویی شده سالیانه بر اساس حرارت بازیافتی (m ³)		873129	873129.6	873129.6	873129.6	873129.6
هزینه سوخت صرفه جویی شده (\$)		78581.6	81724.930	84993.927	88393.684	91929.43
درآمد سالیانه ناشی از برق و حرارت (\$)		592211	615899.8	640535.8	666157.3	692803.6
درآمد A سالیانه ناشی	- 887500	360723	370750.1	380737.3	390639.7	400405.5

از برق و حرارت (\$)						
NPWB	-	305698	266266.9	231728.5	201487.6	175020.9
ش فعلی در آمد ها (\$)	887500					
NPWC	-	0	0	0	0	0
هزینه ها (\$)	887500					
بازگشت سرمایه (\$)	-	-581801	-315534.9	-83806.41	117681.24	292702.21
ارزش حال خالص در آمد ها		NPV				1279728.945
بازگشت سرمایه (سال)		PB				2.903191202
نرخ بازگشت سرمایه داخلی		IRR				34.444855

از جدول (۲۳-۴) می توان نتیجه گرفت که سیستم تولید هم زمان با ذخیره ساز جزئی دارای بازگشت

سرمایه ۲/۹ سال و نرخ بازگشت سرمایه ۳۴/۴۴ درصد می باشد.

۴-۷-۴ سیستم تولید هم زمان سه گانه

در این بخش سیستم تولید هم زمان سه گانه مورد ارزیابی اقتصادی قرار می گیرد. تجهیزات ذخیره سازی حذف شده و فقط سیستم تولید هم زمان سه گانه مورد استفاده قرار می گیرد.

سیستم شامل موتور با توان الکتریکی ۱۲۵۳ کیلو وات و چیلر جذبی با توان ۲۵۰ تن تبرید بوده و سیکل ارگانیک رانکین و سیستم ذخیره ساز حذف شده است.

البته لازم به ذکر است که ساعات کارکرد موتور سیستم تولید هم زمان بدون سیستم ذخیره برابر با کارکرد سیستم های قبلی در نظر گرفته شده است.

می توان ساعات کارکرد موتور را برای سیستم تولید هم زمان سه گانه بدون ذخیره ساز کمتر یا بیشتر در نظر گرفت.

جدول (۴-۲۴) تحلیل اقتصادی سیستم تولید هم زمان سه گانه بدون سیستم ذخیره ساز

سال	۰	۱	۲	۳	۴	۵
هزینه کل اولیه (\$)	825000					
سوخت گاز صرفی سالیانه (m^3)		175680 0	1756800	1756800	1756800	1756800
قیمت واحد گاز (\$)		0.09	0.0936	0.097344	0.1012377	0.1052872
هزینه سالیانه گاز (\$)		158112	164436.48	171013.93	177854.49	184968.67
هزینه تعمیر نگهداری (\$)		73375.6	80713.248	88784.572	97663.030	107429.33
هزینه کل (\$)	825000	231487	245149.72	259798.51	275517.52	292398.00
برق تولیدی سالیانه (Kwh)		733756	7337568	7337568	7337568	7337568

قیمت فروش برق (\$/Kwhe)		0.07	0.0728	0.075712	0.0787404	0.0818900
قیمت برق تولیدی (\$)		513629	534174.95	555541.94	577763.62	600874.17
سوخت گاز صرفه جویی شده سالیانه بر اساس حرارت بازیافتی (m ³)		873129	873129.6	873129.6	873129.6	873129.6
هزینه سوخت صرفه جویی شده (\$)		78581.6	81724.930	84993.927	88393.684	91929.432
درآمد سالیانه ناشی از برق و حرارت (\$)		592211	615899.88	640535.87	666157.31	692803.60
درآمد A سالیانه ناشی از برق و حرارت (\$)	-825000	360723	370750.15	380737.36	390639.78	400405.59

NPWB ش فعلی در آمد ها (\$)	-825000	305698	266266.98	231728.51	201487.65	175020.97
NPWC ش فعلی هزینه ها (\$)	-825000	0	0	0	0	0
بازگشت سرمایه (\$)	-825000	-519301	-253034.2	-21306.410	180181.24	355202.21
NPV ارزش حال خالص در آمد ها	1341772.625					
PB بازگشت سرمایه (سال)	2.698741118					
IRR نرخ بازگشت سرمایه داخلی	37.05431371					

از جدول (۴-۲۴) می توان نتیجه گرفت که سیستم تولید هم زمان بدون ذخیره ساز جزئی دارای بازگشت سرمایه ۶/۲ سال و نرخ بازگشت سرمایه ۰/۳۷ درصد می باشد.

۴-۵-۵ سیستم تولید هم زمان سه گانه بدون سیستم ذخیره ساز و ساعات کاری کمتر در این قسمت همان سیستم تولید هم زمان سه گانه بدون سیستم ذخیره ساز می باشد. در حالت کلی در روز نیاز به ۱۲ ساعت گرمایش و سرمایش نیاز داریم پس به همین دلیل هم موتور گاز سوز ۲ ساعت در روز روشن بوده و بقیه ساعت خاموش است زیرا اگر موتور تمام روز را روشن باشد برای فروش برق توجیه داریم ولی برای زمانی که نیاز به بار حرارتی کمتری است به عنوان مثال در نیمه شب برق تولید می شود و آن را به فروش می رسانیم ولی به حرارت کامل نیاز نداشته پس حرارت به هدر می رود و این کار توجیه اقتصادی ندارد.

حال نتایج اقتصادی این سیستم را برای ۴۳۲۰ ساعت کار کرد موتور در سال بررسی می کنیم، که زمان کار کرد یک سیستم در مکان های آموزشی می باشد.

جدول (۲۵-۴) تحلیل اقتصادی سیستم تولید هم زمان سه گانه بدون سیستم ذخیره ساز و ساعت کار کرد معقول

سال	۰	۱	۲	۳	۴	۵
هزینه کل اولیه (\$)	825000					
سوخت گاز مصرفی سالیانه (m^3)		1296000	1296000	1296000	1296000	1296000
قیمت واحد گاز (\$)		0.09	0.0936	0.097344	0.1012377	0.1052872 7
هزینه سالیانه گاز (\$)		116640	121305.6	126157.82	131204.13	136452.30
هزینه تعمیر نگهداری (\$)		54129.6	59542.56	65496.816	72046.497	79251.147 3
هزینه کل (\$)	825000	170769	180848.1	191654.64	203250.63	215703.44
برق تولیدی سالیانه (Kwh)		5412960	5412960	5412960	5412960	5412960
قیمت فروش برق		0.07	0.0728	0.075712	0.0787404	0.0818900

(\$ /Kwhe)						
قیمت برق تولیدی (\$)		378907	394063.4	409826.02	426219.06 8	443267.83 1
سوخت گاز صرفه جویی شده سالیانه بر اساس حرارت بازیافتی (m ³)		644112	644112	644112	644112	644112
هزینه سوخت صرفه جویی شده (\$)		57970.0	60288.88 3	62700.438	65208.456	67816.793
درآمد سالیانه ناشی از برق و حرارت (\$)		436877	454352.3	472526.46	491427.52	511084.62
درآمد A سالیانه ناشی از برق و حرارت (\$)	-825000	266107	273504.2	280871.82	288176.89	295381.19

ارز NPWB	ش فعلی در آمد ها (\$)	-825000	225514	196426.4	170947.26	148638.43	129113.83
ارز NPWC	ش فعلی هزینه ها (\$)	-825000	0	0	0	0	0
بازگشت سرمایه (\$)		-825000	-599485	-403058	-232111.2	-83472.85	45640.981
ارزش حال خالص در آمد ها NPV				775018.7372			
PB بازگشت سرمایه (سال)		3.658293515					
IRR نرخ بازگشت سرمایه داخلی		27.33514946					

از جدول (۲۵-۴) می توان نتیجه گرفت که سیستم تولید هم زمان بدون ذخیره ساز و با کارکرد سالانه معقول دارای بازگشت سرمایه $3/65$ سال و نرخ بازگشت سرمایه $27/33$ درصد می باشد.

۶-۷-۴ مقایسه نتایج کلی

حال برای درک بهتر ۴ سیستم در بخش های (۲-۷-۴) تا (۳-۷-۴) به مقایسه نتایج کلی بر حسب بازگشت سرمایه بر حسب سال (PB)، نرخ بازگشت سرمایه (IRR) و ارزش حال خالص در آمد ها (NPV) پردازیم.

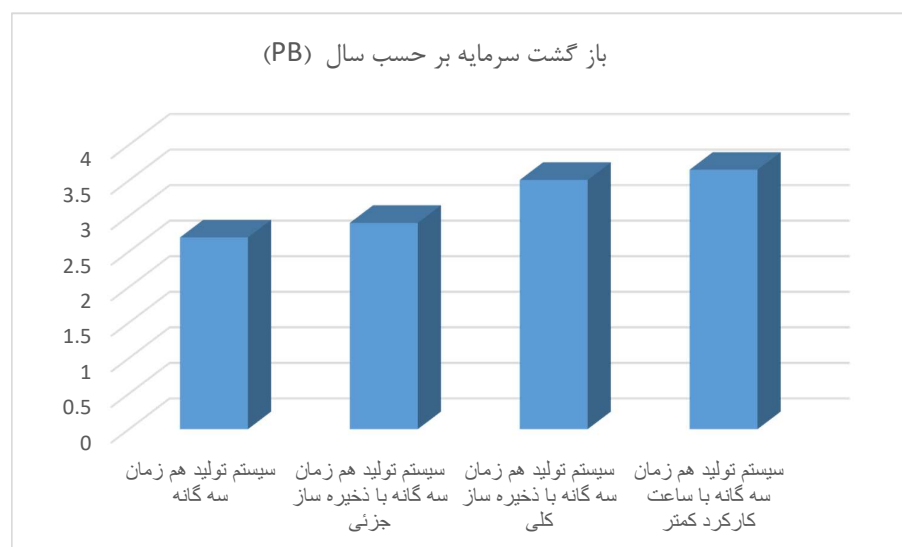
۱-۶-۷-۴ بازگشت سرمایه (PB)

با توجه به شکل (۳۱-۴) می توان نتیجه گرفت که بازگشت سرمایه تولید هم زمان سه گانه با حداکثر کارکرد موتور از همه بهتر بوده و $2/6$ سال می باشد. البته این در صورتی است که ساعات کارکرد موتور

برابر با ساعات کارکرد موتور در سیستم ذخیره ساز باشد در غیر این صورت سیستم تولید هم زمان سه گانه با سیستم ذخیره ساز جزئی دارای سرمایه کمتر، بر حسب سال می باشد و بهتر از سیستم های بررسی شده دیگر می باشد.

جدول (۲۶-۴) مقایسه بازگشت سرمایه سیستم ها

نوع سیستم	بازگشت سرمایه بر حسب سال (PB)
سیستم تولید هم زمان سه گانه	2.698
سیستم تولید هم زمان سه گانه با ذخیره ساز جزئی	2.903
سیستم تولید هم زمان سه گانه با ذخیره ساز کلی	3.506
سیستم تولید هم زمان سه گانه با ساعت کارکرد کمتر	3.65



شکل (۳۱-۴) مقایسه بازگشت سرمایه (PB) سیستم ها

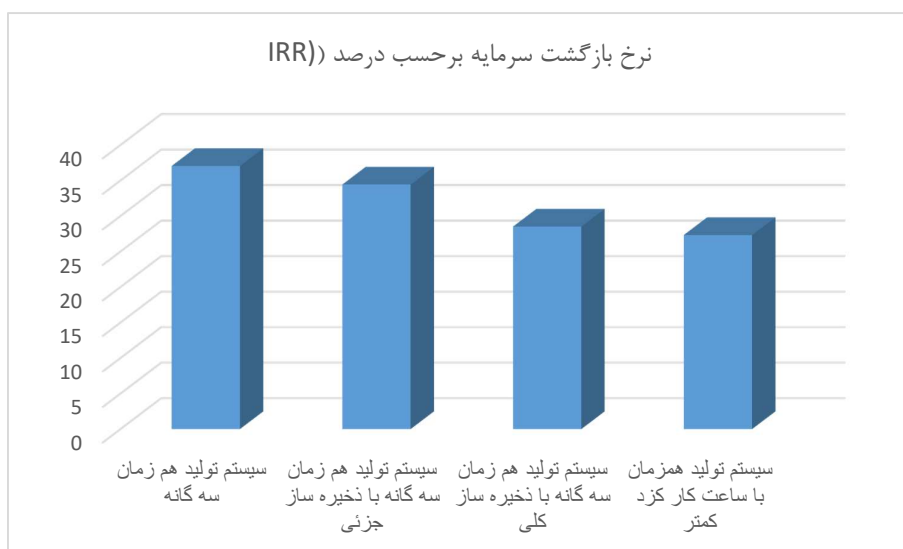
۴-۷-۶-۲ نرخ بازگشت سرمایه (IRR)

با توجه به شکل (۳۲-۴) می توان نتیجه گرفت که نرخ بازگشت سرمایه تولید هم زمان سه گانه با حداقل کارکرد موتور از همه بهتر بوده و ۳۷ درصد است البته این در صورتی است که ساعت کارکرد

موتور برابر با ساعات کارکرد موتور در سیستم ذخیره ساز باشد در غیر این صورت سیستم تولید هم زمان سه گانه با سیستم ذخیره ساز جزئی دارای نرخ بازگشت سرمایه بیشتر می باشد و بهتر از سیستم های بررسی شده دیگر می باشد.

جدول (۲۷-۴) مقایسه نرخ بازگشت سرمایه سیستم ها

نوع سیستم	نرخ بازگشت سرمایه بر حسب درصد(IRR)
سیستم تولید هم زمان سه گانه	37.05
سیستم تولید هم زمان سه گانه با ذخیره ساز جزئی	34.44
سیستم تولید هم زمان سه گانه با ذخیره ساز کلی	28.52
سیستم تولید هم زمان سه گانه با ساعت کارکرد کمتر	27.33



شکل (۳۲-۴) مقایسه بازگشت سرمایه (IRR) سیستم ها

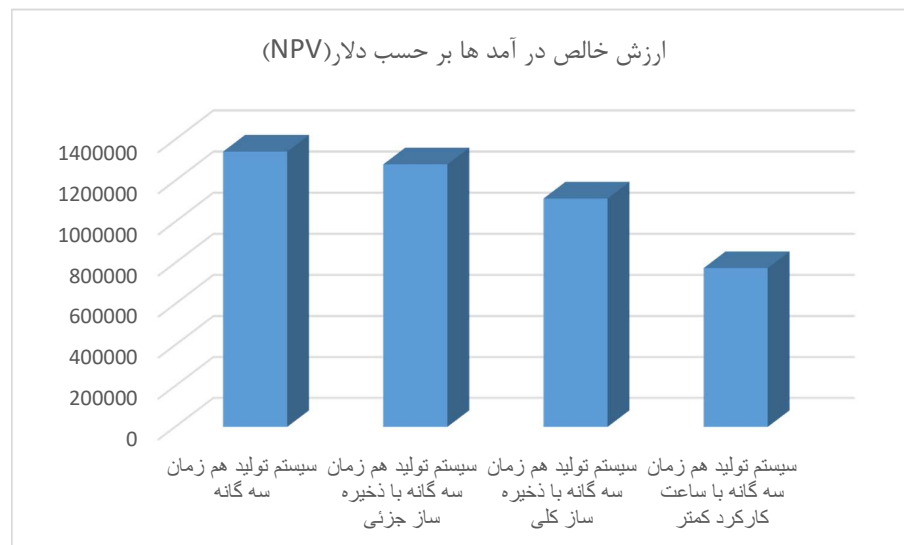
۳-۶-۷-۴ ارزش خالص در آمد ها (NPV)

با توجه به شکل (۳۳-۴) می توان نتیجه گرفت که ارزش خالص در آمد ها تولید هم زمان سه گانه با حداقل کارکرد موتور از همه بهتر است البته این در صورتی است که ساعات کارکرد موتور برابر با ساعت

کارکرد موتور در سیستم ذخیره ساز باشد در غیر این صورت سیستم تولید هم زمان سه گانه با سیستم ذخیره ساز جزئی دارای ارزش خالص در آمد ها بیشتر می باشد و بهتر از سیستم های بررسی شده دیگر می باشد.

جدول (۲۸-۴) مقایسه ارزش خالص در آمد ها سیستم ها

نوع سیستم	ارزش خالص در آمد ها بر حسب دلار (NPV)
سیستم تولید هم زمان سه گانه	1341772.625
سیستم تولید هم زمان سه گانه با ذخیره ساز جزئی	1279728.945
سیستم تولید هم زمان سه گانه با ذخیره ساز کلی	1113312.679
سیستم تولید هم زمان سه گانه با ساعت کارکرد کمتر	775018.568



شکل (۳۳-۴) مقایسه ارزش خالص در آمد ها (NPV) سیستم ها

فصل پنجم

ارائه نتایج و پیشنهادات

۱-۵ نتیجه گیری و جمع بندی

با توجه به افزایش تقاضا روز افزون انرژی، و همچنین افزایش آلودگی زیست محیطی در دنیا استفاده از سیستم های تهویه مطبوع مناسب ضروری است. یکی از نگرانی های قرن ۲۱ میزان محدود منابع سوخت فسیلی است. به علاوه مشکلاتی که این سوخت ها از لحاظ آلودگی محیط زیست ایجاد می کنند نیاز به یافتن راه حل هایی جهت مدیریت مصرف اینگونه منابع را دوچندان می کند. یکی از مهمترین راهکارهای بهینه سازی مصرف انرژی، با هدف افزایش بازده تولید انرژی، استفاده از سیستم های تولید همزمان برق، حرارت و سرما می باشد.

این تحقیق در دانشگاه صنعتی شاهروд صورت گرفته است و هدف از این تحقیق طراحی و مدل سازی یک سیستم تولید همزمان برق و حرارت و سرما با سیستم ذخیره ساز انرژی برای ساختمان دانشگاه می باشد، با طراحی سیستم ذخیره ساز علاوه بر بهبود عملکرد سیستم، مازاد انرژی تولیدی را ذخیره کرده و در موقع لزوم از انرژی ذخیره شده استفاده شود.

سیستم مورد استفاده در این پژوهش دارای پنج قسمت اصلی، شامل سیکل جذبی تک اثره، موتور احتراق داخلی گاز سوز، مبدل های حرارتی جهت بازیافت حرارت، سیستم ذخیره ساز آب سرد و سیکل ارگانیک رانکین می باشد.

طراحی و مدل سازی اجزاء مختلف سیستم با نرم افزار Aspen B-JAC و EES انجام شد. در نهایت موتور گازسوز با توجه به بار حرارتی ساختمان محاسبه و مبدل های حرارتی طراحی شد. سیستم چیلر جذبی و سیکل ارگانیک رانکین در دو نوع با مبدل و بدون مبدل حرارتی مدل سازی شده و سیستم ذخیره در سه بخش از نظر حجم ذخیره سازی طراحی شد.

نتایج نشان می دهد که موتور انتخابی دارای ظرفیت الکتریکی ۱۲۵۳ کیلووات، ظرفیت حرارتی ۱۴۹۱ کیلو وات و ظرفیت سرمایش چیلر جذبی ۲۵۰ تن تبرید است و راندمان سیستم تولید هم زمان سه

گانه ۸۵ درصد محاسبه گردید. سیکل ارگانیک رانکین با ۳ مبرد مدل سازی شد و مشخص شد که بیشترین راندمان مربوط به مبرد R141b می‌باشد.

برای ارزیابی سیستم، تحلیل اقتصادی برای ۴ سیستم که شامل سیستم تولید هم زمان سه گانه با ذخیره ساز کلی و سیکل ارگانیک رانکین، با سیستم ذخیره ساز جزئی، بدون سیستم ذخیره ساز و با ساعت کارکرد معقول مورد بررسی قرار گرفت. سیستم برای ۲۰ سال محاسبه شد و نتایج نشان می‌دهد که سیستم‌های ذخیره ساز با آب سرد نسبت به سیستم‌های تولید هم زمان سه گانه با ساعت کارکرد یکسان، زمان بازگشت سرمایه بیشتری داشته و سیستم‌های تولید هم زمان سه گانه بدون سیستم ذخیره ساز توجیه اقتصادی بهتری دارند. در بخش بعدی با ساعت کارکرد معقول برای سیستم آموزشی، مشخص شد که سیستم تولید هم زمان سه گانه با ذخیره ساز جزئی، دارای توجیه اقتصادی بهتر از سایر سیستم‌های دیگر حتی تولید هم زمان سه گانه بدون سیستم ذخیره ساز می‌باشد.

۲-۵ پیشنهادات

- طراحی و تحلیل سیستم تولید هم زمان با ذخیره ساز گرمایی و سرمایی با مواد تغییر فاز دهنده به صورت هم زمان و در صورت نیاز به صورت فصلی.
- طراحی و مدل سازی سیستم تولید هم زمان با سیستم ذخیره ساز یخ.
- طراحی و مدل سازی سیستم ذخیره ساز با انرژی زمین گرمایی.
- طراحی سیستم‌های تولید هم زمان با سیستم ذخیره ساز با انواع محرکه‌های اولیه نظری توربین گاز، موتور استرلینک و ...، و همچنین انواع چیلر‌های جذبی تک اثره و دو اثره و ...
- طراحی سیستم‌های ذخیره ساز گرمایی با انرژی خورشیدی همراه با سیستم ذخیره ساز با مواد تغییر فاز دهنده.

پیوست
پیوست-الف

جدول جریان متلاطم در مجراهای

نام رابطه	فرمول رابطه
کولبرن	$Nu_D = 0.023 Re_D^{0.8} Pr^{\frac{1}{3}}$
دیتوس-بولتز	$Nu_D = 0.023 Re_D^{0.8} Pr^n$ $0.6 \leq Pr \leq 160$ $\frac{L}{D} \geq 10$
سیدر و تیت	$Nu_D = 0.027 Re_D^{0.8} Pr^{\frac{1}{3}} \left(\frac{\mu}{\mu_s}\right)^{0.14}$ $0.7 \leq Pr \leq 16700$ $\frac{L}{D} \geq 10$ $Re_D \geq 10^4$
پتو خوف	$Nu_D = \frac{\frac{f}{2} Pe_D}{1.07 + 12.7 \left(\frac{f}{2}\right)^{0.5} \left(Pr^{\frac{2}{3}} - 1\right)}$ برای خطای ۵ تا ۶ درصد $0.5 \leq Pr \leq 200$ $10^4 \leq Re_D \geq 5 * 10^6$ برای خطای ۱۰ درصد

	$0.5 \leq Pr \leq 2000$ $10^4 \leq Re_D \geq 5 * 10^6$
اسلیکر و روس	$Nu_D = 5 + 0.015Re_D^m Pr^n$ $m = 0.88 - \frac{0.24}{4 + Pr}$ $n = \frac{1}{3} + 0.5\exp(-0.6Pr)$ $0.1 \leq Pr \leq 10^4$ $10^4 \leq Re_D \geq 10^6$
گنیلیسکی	$Nu_D = \frac{\left(\frac{f}{8}\right)(Re_D - 1000)Pr}{1 + 12.7\left(\frac{f}{8}\right)^{0.5} \left(Pr^{\frac{2}{3}} - 1\right)}$ $0.5 \leq Pr \leq 2000$ $3000 \leq Re_D \geq 5 * 10^6$

پیوست- ب

جدول ضریب انتقال حرارت سمت پوسته

نام روش	فرمول روش
کرن	$D_e = \frac{2\sqrt{3}P_T^2 - \pi d_o^2}{\pi d_o}$ $c = P_T - d_o$ $\alpha_s = \frac{D_s B c}{P_T}$ $G_s = \frac{\dot{m}_s}{\alpha_s}$

	$Re_{s,e} = \frac{G_s D_e}{\mu}$
	$\frac{h_s D_e}{k} = 0.36 Re_{s,e}^{0.55} Pr^{\frac{1}{3}} \left(\frac{\mu}{\mu_s} \right)^{0.14}$
تابعه ک بل-دلاور	$\frac{h_s d_o}{k} = 0.2 Re_{s,e}^{0.6} Pr_s^{0.4}$ $a = \frac{a_3}{1 + 0.14 Re_{s,d}^{a_4}}$ $j_i = a_1 \left(\frac{1.33}{\frac{P_T}{d_o}} \right)$ $h_{i,d} = j_i C_p G_s Pr^{-\frac{2}{3}} \left(\frac{\mu}{\mu_s} \right)^{0.14}$ $h_s = h_{i,d} J_c J_l J_b J_s J_r$

مراجع

- [1] Wang J.-J., Jing Y.-Y. and Zhang C.-F. (2010)"**Optimization of capacity and operation for CCHP system by genetic algorithm**" Applied Energy, 87, 4, pp 1325-1335
- [2] A. Keshavarz, M. Ebrahimi, "**Combined cooling, heating and power:decision-making, design and optimization**", pp. 35-89, Amsterdam, Elsevier,2015.
- [3] Kolanowski B.F. (2011), "**Small-scale Cogeneration handbook**",Reprinted from:The Fairmont Press, Inc., pp .
- [4] میری م. بیاتی غ.زین. بخش م ح (۱۳۸۳)، وزارت نیرو - سازمان بهره وری انرژی ایران "مقدمه ای بر سیستم های تولید مشترک برق و حرارت", شابک: ۹۶۴-۶۵۵۳-۱۳-۳
- [5] Heejin Cho, Amanda D. Smith, Pedro Mago. (2014)" **Combined cooling, heating and power: A review of performance improvement and optimization**" Applied Energy 136 (2014) 168–185.
- [6] American Society of Heating Refrigeration, and Air –conditioning Engineers,"**ASHRAE Handbook HVAC Application**, " June 1995.
- [7] Lucas B. Hyman, P.E., LEED AP.(2011),"**Sustainable Thermal Storage Systems Planning, Design, and Operations**" ISBN978-0-07-175298-5
- [8] شاه مردان م, رخshan ف. (۱۳۸۶), پایان نامه کارشناسی ارشد: "بهینه سازی سیستم تهویه با سیستم ذخیره سازی", دانشکده مکانیک, دانشگاه صنعتی شاهرود.
- [9] ASHRAE 1997 Handbook of Fundamentals Amerecan Society of Heating Refrigeration, and Air –conditioning Engineers, Inc 1997.
- [10] StevenLecompte, HenkHuisseune, MartijnvandenBroek. (2015) "**Review of organic Rankine cycle (ORC) architectures for waste heat recovery**" Renewable and Sustainable Energy Reviews 47(2015)448–461.

- [11] Lang Wang, Jianfeng Lu, Weilong Wang, Jing Ding. (2017) "**Feasibility analysis of CCHP system with thermal energy storage driven by micro turbine**" School of Engineering, Sun Yat-Sen University, Guangzhou 510006, PR China.
- [12] Masood Ebrahimi, Mohammad Soleimanpour. (2017) "**Design and evaluation of combined cooling, heating and power using micro gas turbine, adsorption chiller and a thermal damping tank in micro scale**" Applied Thermal Engineering, S1359-4311(17)31987-7.
- [13] Miao Li, Hailin Mu, Nan Li, Baoyu Ma. (2016) "**Optimal design and operation strategy for integrated evaluation of CCHP (combined cooling heating and power) system**" Energy 99 (2016) 202-220.
- [14] Wu D.W. and Wang R.Z. (2006)"**Combined cooling, heating and power: A review**" *Progress in Energy and Combustion Science*, 32, 5-6, pp 459-495.
- [15] Minzhi Li a, Xi Zhuo Jiang a, Danxing Zheng b, Guangbiao Zeng a, Lin Shi a. "**Thermodynamic boundaries of energy saving in conventional CCHP (Combined Cooling, Heating and Power) systems**" Energy 94 (2016) 243e249.
- [16] Huangfu Y., Wu J.Y., Wang R.Z. and Xia Z.Z. (2007) "**Experimental investigation of adsorption chiller for Micro-scale BCHP system application**" *Energy and Buildings*, 39, 2, pp 120-127.
- [17] Calva E.T., Núñez M.P. and Toral M.a.R.G. (2005) "**Thermal integration of trigeneration systems**" *Applied Thermal Engineering*, 25, 7, pp 973-984.
- [18] Hu Lin , Xin-hong Li, Peng-sheng Cheng, Bu-gong Xu" **Thermoeconomic evaluation of air conditioning system with chilled water storage**" Energy Conversion and Management 85 (2014) 328–332.
- [19] Luigi Mongibello, Nicola Bianco, Martina Calianob, Giorgio Graditi "**A new approach for the dimensioning of an air conditioning system with cold thermal energy storage**" Energy Procedia 105 (2017) 4295 – 4304.
- [20] Chi-Chun Lo, Shang-Ho Tsai and Bor-Shyh Lin. "**Ice Storage Air-Conditioning System Simulation with Dynamic Electricity Pricing: A Demand Response Study**", Energies 2016, 9, 113; 10.3390/en9020113.

- [21] Sepehr Sanaye*, Ali Shirazi. "Thermo-economic optimization of an ice thermal energy storage system for air-conditioning applications" Energy and Buildings 60 (2013) 100-109.
- [22] Fakhera Sehar*, Saifur Rahman, Manisa Pipattanasomporn. "Impacts of ice storage on electrical energy consumptions in office buildings" Energy and Buildings 51 (2012) 255–262.
- [23] Chen, H.J.; Wang, W.P.; Chen, S.L. "Optimization of an ice-storage air conditioning system using dynamic programming method" Appl. Therm. Eng. 2005, 25, 461–472.
- [24] G.Y. Fang, H. Li. "ECONOMIC ANALYSIS OF COOL STORAGE AIR-CONDITIONING SYSTEMS" International Journal on Architectural Science, Volume 5, Number 2, p.47-51.
- [25] Martina Calianoa, Nicola Biancoa, Giorgio Graditib, Luigi Mongibellob. "Design optimization and sensitivity analysis of a biomass-fired combined cooling, heating and power system with thermal energy storage systems" Energy Conversion and Management 149 (2017) 631–645
- [26] Xi Zhuo Jiang, Guangbiao Zeng, Minzhi Li, Lin Shi *. "Evaluation of combined cooling, heating and power (CCHP) systems with energy storage units at different locations" Applied Thermal Engineering 95 (2016) 204–210.
- [27] N Fumo*, P JMago, and LMChamra. "Hybrid-cooling, combined cooling, heating, and power systems" 10.1243/09576509JPE709
- [28] Wei Liua,b, Guanyi Chena,*1, Beibei Yana,c, Zhihua Zhoua, Haowei Dub, Jian Zuo. "Hourly operation strategy of a CCHP system with GSHP and thermal energy storage (TES) under variable loads: A case study" S0378-7788(15)00135-8.
- [29] Xu Song, Liuchen Liu, Tong Zhu, Tao Zhang, Zhu Wu. "Comparative analysis on operation strategies of CCHP system with cool thermal storage for a data center" Applied Thermal Engineering 108 (2016) 680–688.

- [30] Al-Sulaiman F.A., Hamdullahpur F. and Dincer I. (2011) "**Performance comparison of three trigeneration systems using organic rankine cycles**" *Energy*, 36, 9, pp 5741-5754.
- [31] Fang F., Wei L., Liu J., Zhang J. and Hou G. (2012) "**Complementary configuration and operation of a CCHP-ORC system**" *Energy*, 46, 1, pp 211-220.
- [32] A.J. Martyr M.A. Plint. (1995) "**Engine Testing Theory and Practice**" *Butterworth-Heinemann is an imprint of Elsevier*-978-0-7506-8439-2.
- [33] M.J. Abedin n, H.H.Masjuki,. (2013) "**Energy balance of internal combustion engines using alternative fuels**" *Renewable and Sustainable Energy Reviews*26(2013)20–33.
- [34] Chougui Mohamed Lamine, Zid Said. (2014) "**Energy analysis of single effect absorption chiller (LiBr/H₂O) in an industrial manufacturing of detergent**" *Energy Procedia* 50 (2014) 105 – 112.
- [35] Saeed. Sedigh *, Hamid. Saffari. (2011) "**Thermodynamic analysis of single effect and half effect absorption refrigeration systems**" *International Journal of Energy & Technology* 3 (25) (2011) 1-9.
- [36] Omer Kaynakli, Muhsin Kilic. (2007) "**Theoretical study on the effect of operating conditions on performance of absorption refrigeration system**" *Energy Conversion and Management* 48 (2007) 599–607.
- [37] Mehdi Aliehyaei*, Farideh Atabi. (2015) "**Exergy, Economic and Environmental Analysis for Simple and Combined Heat and Power IC Engines**" *Sustainability* 2015, 7, 4411-4424; doi:10.3390/su7044411.
- [38] Sadik Kakaç, Hongtan Liu. (2002) "**Heat Exchangers: Selection, Rating, and Thermal Design, Second Edition**" CRC Press. 0849309026, 9780849309021.
- [39] Bejan A. and Moran M.J. (1996), "**Thermal design and optimization**", Reprinted from: John Wiley & Sons, pp.

- [40] Cengel Y.A., Boles M.A. and Kanoğlu M.(2011), "Thermodynamics: an engineering approach", Vol. 5, Reprinted from: McGraw-Hill New York, pp.
- [41] Liu B.-T., Chien K.-H. and Wang C.-C. (2004) "Effect of working fluids on organic Rankine cycle for waste heat recovery" *Energy*, 29, 8, pp 1207-1217
- [42] HVAC Applications (2012) "Heating, Ventilating, And Air-conditioning SYSTEMS AND EQUIPMENT" chapter51, 2012 ASHRAE" HANDBOOK.
- [43] P. Zhao, J. Wang, L. Gao, Y. Dai,(2012) "Parametric analysis of a hybrid power system using organic Rankine cycle to recover waste heat from proton exchange membrane fuel cell " *International Journal of Hydrogen Energy*, Vol. 37, No. 4, pp. 3382-3391, 2012.
- [44] Sepehr Sanaye, Mohammad Mustafa Ghafurian,(2016) "Applying Relative Net Present or Relative Net Future Worth Benefit and exergy efficiency for optimum selection of a natural gas engine based CCHP system for a hotel building" *Journal of Natural Gas Science and Engineering* 34 (2016) 305e317.
- [45] S .Sanaye, and M. R. Ardali, (2009) "Estimating the power and number of microturbines in small-scale combined heat and power systems" *Applied Energy* 86(6): pp. 895-903, 2009.
- [46] M.M. Oskoonejad. Engineering Economy4th ed. Amirkabir University, Tehran, Iran, Amirkabir Publishing, pp. 179–417, 2007. (inPersian).
- [47] M. Maerefat, P. Shafie, Design of CCHP system for office buildings in Tehran and thermodynamical, environmental and economic evaluation In comparison to conventional system, Modares Mechanical Engineering Vol.14,No.6,pp.124-134,2014(InPersian).
- [48] www.gepower.com/gas/reciprocating-engines/waukesha/vhp.
- [49] aspentech.com/products/pages/aspen-shell-and-tube-exchanger.
- [50] Engineering Equation Solver. <http://www.fchart.com/ees/>.

- [51] Yamamoto T., Furuhata T., Arai N. and Mori K. (2001) "**Design and testing of the organic Rankine cycle**" *Energy*, 26, 3, pp 239-251.
 - [52] Dai Y., Wang J. and Gao L. (2009) "**Parametric optimization and comparative study of organic Rankine cycle (ORC) for low grade waste heat recovery**" *Energy Conversion and Management*, 50, 3, pp 576-582.
 - [53] Economic data in iran. <http://www.erenico.com/> (In Persian).
 - [54] Price of Fuel visited, <http://www.nigc-mpgc.ir/> (In Persian).
 - [55] Price of Electricity, http://bahaye_bargh.tavanir.org.ir/ (In Persian).
 - [56] Economic data in worth Accessed march 2014, <http://www.eia.gov>.
- چهار طاقی م، هاشمیان م، ملکیان ع. (۱۳۹۳)، پایان نامه کارشناسی ارشد: "بررسی و بهبود عملکرد سیستم [57]
- CCHP"، دانشکده مکانیک، دانشگاه صنعتی شاهرود.

Abstract

According the increasing demand for energy, and increasing environmental pollution in the world, proper air conditioning is essential. One of the concerns of the 21st century is the limited amount of fossil fuel resources. In addition, the problems caused by these fuels in terms of environmental pollution. The need to find solutions to manage the consumption of these resources is doubled. One of the most important ways to optimize energy consumption, with of the increasing energy efficiency, the use of combined heat and power generation systems, heat and cold.

This research was conducted at Shahrood University of Technology. The purpose of this research is to design and model a system for producing electricity, heat and cold simultaneously with an energy storage system for building the university. By designing a storage system, in addition to improving system performance, store energy surplus and use stored energy when needed.

In this research, EES and Aspen B-JAC software has been used to model and design various system equipment. The storage capacity of the tank was carried out in 3 different ways, including design with overall load, partial load and design with increasing chiller capacity. An organic rankine cycle was proposed and performance modeling was performed. Finally, the entire system was analyzed in four different sections from the economic point of view, and the system was investigated in terms of pay back (PB), Internal Rate of Return (IRR) and net present value of income (NPV).

The results show that the design of the reserve system with partial load, it has less storage capacity and also requires a smaller cooling chiller to 200 tons of refrigeration and this system is better in designing a system than two other systems.

Due to the heat load required for the building, which was powered by two heat exchangers from the waste energy generated from the jacket and the combustion gases of the engine and its amount is 1490 kW, the electric power is 1253 kW and the cooling capacity of the absorption chiller is 250 tons. The efficiency of the combined cooling, heat and power system was estimated at 85%, and the efficiency of the organic rankine cycle with R141B refrigerant was ultimately 24%. The system is divided into 4 sections, which include combined cooling, heat and power system with general storage and organic rankine cycle, partial storage, no storage system with the same clock function and evaluated with a reasonable hourly performance per year. The system was calculated for 20 years and the results show with cold water storage systems compared to triple time production systems with the same operating hours, the time to return the capital is greater, and triple production systems without a storage system have a better economic justification. In the next section, with a reasonable clock for the training system, it was determined that the combined cooling, heat and power system with a partial storage has a better economic justification than other systems, even the creation of a combined cooling, heat and power system without a storage system.

Keywords: combined cooling, heat and power system, Storage system, Economic Analysis.



Faculty of Mechanical and Mechatronics Engineering

M.Sc. Thesis in Energy Conversion Engineering

**Design and Modeling of a Combined Cooling, heating and Power (CCHP) system
with energy storage, for Mechanical and Construction Engineering Department of
Shahrood University of Technology , Campus 2**

By:

Hassan Gordan Esfiane

Supervisor:

En.Ahmad Madadi

Advisors:

Dr.Mahmood Chahartaghi

Dr.Majid Hashemian

January 2018